



INSTITUTO POLITÉCNICO NACIONAL

---

ESCUELA SUPERIOR DE CÓMPUTO

TRABAJO TERMINAL

LOS SISTEMAS DE ETIQUETAS Y SU DINÁMICA  
ESPACIAL EN AUTÓMATAS CELULARES

PRESENTA:

ALAN BARUCH CERNA GONZÁLEZ

DIRECTORES:

DOCTOR GENARO JUÁREZ MARTÍNEZ

Ciudad de México  
2021

INSTITUTO POLITÉCNICO NACIONAL



ESCOM



Instituto Politécnico Nacional  
Escuela Superior de Cómputo  
Subdirección Académica



No de TT: 2020 - B100

Ciudad de México, 08 de diciembre de 2021

Documento Técnico  
**Los Sistemas de Etiquetas y su Dinámica espacial en Autómatas  
Celulares**

*Presenta:*

**Alan Baruch Cerna González<sup>1</sup>**

*Directores:*

**Doctor Genaro Juárez Martínez**

## RESUMEN

Dentro del campo de la teoría de la computación hay cosas aún por descubrir que pueden sustentar cada vez más el conocimiento acerca de la computación. Una de ellas es la máquina de Post canónica normal mejor conocida como sistema de etiquetas (sistema tag) la cual, con un simple proceso de manipulación de caracteres, tiene el mismo potencial que una máquina de Turing. Mediante un análisis de la dinámica espacial en las cadenas de símbolos generadas por los sistemas tag es posible encontrar un autómata celular que simule un sistema tag. El análisis espacial de los sistemas tag ofrece un camino para entender mejor su espacio de soluciones. Este documento se conforma por el estado del arte donde se muestra una recopilación de algunos hallazgos realizados a lo largo del siglo pasado y presente, el marco teórico donde se definen en principio los principales conceptos de esta investigación, los hallazgos sobre sistemas tag, su representación gráfica y espacial así como la demostración del funcionamiento de algunos autómatas celulares, además el análisis, diseño e implementación del simulador junto con pantallas de la interfaz gráfica del mismo, y las exploraciones realizadas en algunos autómatas celulares que simulan sistemas tag.

**Palabras clave:** Sistema Tag, Autómata Celular, Teoría de la Computación, Sistemas Dinámicos, Matemáticas Discretas

---

<sup>1</sup>[acernag1500@alumno.ipn.mx](mailto:acernag1500@alumno.ipn.mx)

## Advertencia

*”Este documento contiene información desarrollada por la Escuela Superior de Cómputo del Instituto Politécnico Nacional, a partir de datos y documentos con derecho de propiedad y por lo tanto, su uso quedará restringido a las aplicaciones que explícitamente se convengan.”*

La aplicación no convenida exime a la escuela su responsabilidad técnica y da lugar a las consecuencias legales que para tal efecto se determinen.

Información adicional sobre este reporte técnico podrá obtenerse en: La Subdirección Académica de la Escuela Superior de Cómputo del Instituto Politécnico Nacional, situada en Av. Juan de Dios Bátiz s/n Teléfono: 57296000, extensión 52000.

# Índice general

<b>Introducción</b>	<b>XIII</b>
<b>1. Estado del Arte</b>	<b>1</b>
1.1. La Computación Universal y los Sistemas Tag . . . . .	1
1.2. Dinámica Espacial de Modelos Computacionales por Wolfram . . . . .	2
1.3. Sistemas Tag Cíclicos . . . . .	2
1.4. Sistemas Tag en la Computación . . . . .	3
1.5. Sistemas Tag Generalizados . . . . .	3
1.6. Máquinas de Turing como Autómatas Celulares . . . . .	3
1.7. Tabla Comparativa . . . . .	4
<b>2. Marco Teórico</b>	<b>5</b>
2.1. Sistemas Tag . . . . .	5
2.2. Sistemas Tag Cíclicos . . . . .	6
2.3. Sistemas Dinámicos Discretos . . . . .	8
2.4. Autómatas Celulares . . . . .	9
<b>3. Planteamiento del Problema</b>	<b>12</b>
3.1. Objetivos . . . . .	13
3.1.1. Objetivo General . . . . .	13
3.1.2. Objetivos Específicos . . . . .	13

3.2. Justificación . . . . .	14
<b>4. Sistemas Tag y Autómatas Celulares</b>	<b>16</b>
4.1. Autómatas Celulares Unidimensionales . . . . .	16
4.2. Autómatas Celulares Elementales . . . . .	17
4.3. Clasificación de los Autómatas Celulares . . . . .	20
4.4. Funcionamiento de un Sistema Tag . . . . .	24
4.5. Visualización Espacial de los Sistemas Tag . . . . .	25
4.6. Sistemas Tag y la Función de Collatz . . . . .	26
4.7. Sistema Tag que simula una Máquina de Turing Universal . . . . .	29
4.8. El Problema de la Etiqueta . . . . .	32
4.9. Análisis sobre los Sistemas Tag . . . . .	34
<b>5. Autómatas Celulares que Simulan Sistemas Tag</b>	<b>40</b>
5.1. Sistema Tag de la Sucesión de Thue-Morse . . . . .	40
5.1.1. Análisis del Sistema Tag de la Sucesión de Thue-Morse . . . . .	43
5.1.2. Reglas para el Borrado . . . . .	45
5.1.3. Reglas para el Desplazamiento de los Símbolos . . . . .	46
5.1.4. Reglas para Concatenar la Cadena Adjunta . . . . .	47
5.1.5. Reglas de Estabilidad . . . . .	50
5.1.6. Pruebas de Simulación del Autómata Celular Unidimensional . . . . .	54
5.2. Sistema Tag del Problema de la Etiqueta . . . . .	59
5.2.1. Método Heurístico para encontrar el Autómata Celular Equiva- lente . . . . .	61
5.2.2. Borrado y Bloqueo . . . . .	63
5.2.3. Envío de Señal . . . . .	65
5.2.4. Reglas para Concatenar la Cadena Adjunta . . . . .	66
5.2.5. Desbloqueo . . . . .	67

5.2.6.	Reglas de Estabilidad . . . . .	68
5.2.7.	Pruebas de Simulación del Autómata Celular Unidimensional . . . . .	68
5.3.	Algoritmo basado en el método heurístico . . . . .	73
5.3.1.	Ejemplo de aplicación del algoritmo . . . . .	75
<b>6.</b>	<b>Desarrollo de un simulador</b>	<b>80</b>
6.1.	Análisis . . . . .	81
6.1.1.	Requerimientos . . . . .	81
6.1.2.	Reglas de Negocio . . . . .	82
6.1.3.	Arquitectura del simulador . . . . .	82
6.1.4.	Tecnologías utilizadas . . . . .	83
6.2.	Diseño . . . . .	84
6.2.1.	Diagrama de clases . . . . .	84
6.2.2.	Diagrama de Casos de Uso . . . . .	86
6.3.	Implementación . . . . .	88
6.3.1.	Pantalla inicial . . . . .	88
6.3.2.	Panel de Pestañas . . . . .	90
6.3.3.	Mensaje principal . . . . .	93
6.3.4.	Caja de introducción de cadena inicial . . . . .	94
6.3.5.	Configuración de escala . . . . .	94
6.3.6.	Configuración de visualización de bordes . . . . .	95
6.3.7.	Configuración del espacio de celdas y evoluciones . . . . .	95
6.3.8.	Casilla para activar la visualización solo de cadenas del sistema tag . . . . .	95
6.3.9.	Grupo de botones de simulación . . . . .	96
<b>7.</b>	<b>Exploración de los Autómatas Celulares que simulan Sistemas Tag</b>	<b>100</b>
7.1.	Exploración . . . . .	100

7.1.1. Sistema Tag de las Cadenas de Fibonacci . . . . .	100
7.1.2. Sistemas Tag con $P = 2$ y Tres Símbolos . . . . .	105
7.1.3. Sistema Tag de la Máquina de Turing Universal de Wolfram más pequeña . . . . .	109
7.2. Propiedades . . . . .	114
7.2.1. Computación Paralela . . . . .	114
7.2.2. Gráficas de Frecuencia y Entropía de Shannon . . . . .	117
7.2.3. Computación No Convencional . . . . .	122
<b>8. Conclusiones y Trabajo futuro</b>	<b>124</b>
8.1. Conclusiones . . . . .	124
8.2. Trabajo Futuro . . . . .	126
<b>9. Glosario</b>	<b>130</b>
<b>10. Anexos</b>	<b>133</b>
10.1. Clase del Sistema Tag . . . . .	133
10.2. Clase del Autómata Celular . . . . .	140
10.3. Código de la Interfaz Gráfica . . . . .	146

# Índice de figuras

2.1. Ejemplo con la cadena inicial 1011011011. . . . .	6
2.2. Ejemplo con la cadena inicial 101010 $((10)^3)$ . . . . .	8
2.3. Ejemplo de simulación del <i>Juego de la Vida</i> de John Conway. . . . .	10
2.4. Ejemplo de simulación de la regla 110, un <i>Autómata Celular Elemental</i> de Stephen Wolfram. . . . .	11
4.1. Simulación del autómata celular de la regla 110 con una cadena inicial aleatoria . . . . .	19
4.2. Simulación del autómata celular de la regla 40 que pertenece a la clase I con una cadena inicial aleatoria . . . . .	20
4.3. Simulación del autómata celular de la regla 51 que pertenece a la clase II con una cadena inicial aleatoria . . . . .	21
4.4. Simulación del autómata celular de la regla 30 que pertenece a la clase III con una cadena inicial aleatoria . . . . .	22
4.5. Simulación del autómata celular de la regla 54 que pertenece a la clase IV con una cadena inicial aleatoria . . . . .	23
4.6. Visualización gráfica de los primeros 12 pasos del sistema $\text{tag } 0 \rightarrow$ $01, 1 \rightarrow 0$ ; $P = 1$ con la cadena inicial 0. . . . .	26
4.7. Sistema $\text{tag } 0 \rightarrow 12, 1 \rightarrow 0, 2 \rightarrow 000$ con la cadena inicial $0000000 = 0^7$ en 128 evoluciones. . . . .	28

4.8. Máquina de Turing Universal de dos estados y tres colores. [11] . . . . . 29

4.9. Sistema tag que simula la máquina de Turing universal de dos estados y tres colores con la cadena inicial  $00^i$  en 175 evoluciones. . . . . 31

4.10. Simulación del sistema tag  $0 \rightarrow 00, 1 \rightarrow 1101$  con una cadena inicial aleatoria en 700 evoluciones. . . . . 33

4.11. Simulación del sistema tag de la sección 4.7, se notan los corrimientos y los bloques de subcadenas con patrones. . . . . 35

4.12. Simulación del sistema tag de la sección 4.8 que converge a un ciclo. . . . . 36

4.13. Simulación del sistema tag de la sección 4.8, se nota que no hay un patrón determinado al final de cada cadena generada por este. . . . . 38

5.1. Visualización de las primeras 16 evoluciones del sistema tag  $0 \rightarrow 01, 1 \rightarrow 10; P = 1$  . . . . . 43

5.2. Primeras 51 evoluciones del autómata celular que simula el sistema tag de la sucesión de Thue-Morse con la cadena inicial  $N0NNNNNNNNNNNN$ . 57

5.3. Primeras 500 evoluciones del autómata celular que simula el sistema tag de la sucesión de Thue-Morse con una cadena inicial aleatoria. . . . . 58

5.4. Primeras 18 transiciones del sistema tag  $0 \rightarrow 00, 1 \rightarrow 1101; P = 3$  con la cadena inicial 1001001001. . . . . 61

5.5. Primeras 47 evoluciones del autómata celular que simula el sistema tag del Problema de la Etiqueta con la cadena inicial  $N100011100NNNNNNNNNN$ . 71

5.6. Primeras 500 evoluciones del autómata celular que simula el sistema tag del Problema de la Etiqueta con una cadena inicial aleatoria. . . . . 72

5.7. Algoritmo que, dado un sistema tag cualquiera, resulta en un autómata celular equivalente. . . . . 74

5.8. Primeras 275 evoluciones con la cadena inicial 00000 en un arreglo de 45 celdas. . . . . 78

---

5.9. Primeras 500 evoluciones con una cadena inicial aleatoria en un arreglo de 300 celdas. . . . .	79
6.1. Diagrama de bloques del simulador. . . . .	83
6.2. Diagrama de clases de TagSystem (Sistema Tag) y CellularAutomata (Autómata Celular). . . . .	85
6.3. Diagrama de clases del simulador. . . . .	86
6.4. Diagrama de casos de uso del simulador. . . . .	87
6.5. Pantalla principal del simulador GTS2CA. . . . .	89
6.6. Pestaña “File” del simulador GTS2CA. . . . .	90
6.7. Ventana “New” del simulador GTS2CA. . . . .	91
6.8. Estructura del archivo JSON guardado. . . . .	92
6.9. Pestaña “Export” del simulador GTS2CA. . . . .	93
6.10. Pestaña “Zoom” del simulador GTS2CA. . . . .	93
6.11. Mensaje principal cuando hay un sistema tag cargado. . . . .	94
6.12. Simulación cuando está activada la visualización solo de cadenas del sistema tag. . . . .	96
6.13. Ventana “Colors” del simulador GTS2CA. . . . .	97
6.14. Ventana de estadísticas del simulador GTS2CA. . . . .	98
6.15. Ventana de simulación. . . . .	99
7.1. Autómata celular equivalente con cadena inicial 00101 en un arreglo de 30 celdas y 100 evoluciones. . . . .	102
7.2. Simulación sin pasos intermedios de la cadena inicial 00101 en un arreglo de 100 celdas, 16017 evoluciones y 152 cadenas generadas. . . . .	103
7.3. Condiciones iniciales aleatorias en el autómata celular equivalente en un arreglo de 300 celdas y 500 evoluciones. . . . .	104

7.4. Autómatas celulares equivalentes con cadena inicial 2100211002 en un arreglo de 30 celdas y 100 evoluciones. . . . . 106

7.5. Cadenas generadas de cada sistema tag con la cadena inicial 2100211002 en un arreglo de 30 celdas: a) 4452 evoluciones y 95 cadenas, b) 4281 evoluciones y 100 cadenas, c) 2661 evoluciones y 100 cadenas. . . . . 107

7.6. Cada autómata celular comparte las mismas condiciones iniciales aleatorias en un arreglo de 200 celdas y 300 evoluciones. . . . . 108

7.7. Autómata celular equivalente con cadena inicial 00i en un arreglo de 50 celdas y 300 evoluciones. . . . . 110

7.8. Cadenas generadas del sistema tag con la cadena inicial 00i en un arreglo de 100 celdas y 300 cadenas generadas en 29897 evoluciones. . . . . 111

7.9. Condiciones iniciales aleatorias en el autómata celular equivalente en un arreglo de 300 celdas y 500 evoluciones. . . . . 113

7.10. Autómata celular equivalente al sistema tag de la sección 4.8 calculando paralelamente 6 cadenas (0101101011, 0101010101010101, 1101111000000111, 000101011010101, 011101010101110101010, 11110101010010100010). . . . . 115

7.11. Autómata celular de la subsección 7.1.3 calculando paralelamente 5 cadenas (*c8ref6o7lg*, *5o557fq76s*, *lkcd02r9eq*, *0npe73200i*, *gfbjtienh9*). . . . . 116

7.12. Gráficas de las evoluciones mostradas en la figura 7.1. . . . . 118

7.13. Gráficas de las cadenas del sistema tag generadas en la simulación de la figura 7.1. . . . . 119

7.14. Gráficas de las evoluciones mostradas en la figura 7.7. . . . . 120

7.15. Gráficas de las evoluciones mostradas en la figura 7.10. . . . . 121

7.16. Gráficas de las evoluciones mostradas en la figura 7.11. . . . . 122

# Índice de tablas

1.1. Tabla comparativa de trabajos similares . . . . .	4
4.1. Vecindad de un autómata celular unidimensional. . . . .	16
4.2. Reglas de transición del autómata celular elemental de la regla 110. . .	18
4.3. Primeras 12 transiciones del sistema tag $0 \rightarrow 01, 1 \rightarrow 0; P = 1$ . . . . .	25
4.4. Transiciones de la máquina de Turing universal de Wolfram[11]. . . . .	29
5.1. Primeras 16 transiciones del sistema tag de la sucesión de Thue-Morse con la cadena inicial 0. . . . .	42
5.2. Reglas de transición para el borrado del sistema tag $0 \rightarrow 01, 1 \rightarrow 10; P =$ $1$ . . . . .	46
5.3. Reglas de desplazamiento a la derecha para los símbolos auxiliares $\{a, b\}$ . . .	47
5.4. Reglas de desplazamiento a la izquierda para la bandera $U$ . . . . .	47
5.5. Reglas de estabilidad para el espacio vacío. . . . .	51
5.6. Reglas de estabilidad para los unos y ceros. . . . .	53
5.7. Regla para cualquier otro caso. . . . .	54
5.8. Primeras 51 evoluciones del autómata celular que simula el sistema tag de la sucesión de Thue-Morse con la cadena inicial $N0NNNNNNNNNN$ . . . . .	56
5.9. Primeras 18 transiciones del sistema tag $0 \rightarrow 00, 1 \rightarrow 1101; P = 3$ con la cadena inicial 1001001001. . . . .	60

5.10. Reglas de transición para el borrado del sistema tag  $0 \rightarrow 00, 1 \rightarrow 1101; P = 3$ . . . . . 65

5.11. Reglas de transición para el envío de señal del sistema tag  $0 \rightarrow 00, 1 \rightarrow 1101; P = 3$ . . . . . 66

5.12. Reglas para la concatenación de la cadena 00. . . . . 67

5.13. Reglas para la concatenación de la cadena 1101. . . . . 67

5.14. Reglas de para el desbloqueo. . . . . 68

5.15. Reglas de estabilidad para el espacio vacío. . . . . 68

5.16. Reglas de estabilidad para los ceros y unos. . . . . 68

5.17. Primeras 47 evoluciones del autómata celular que simula el sistema tag del Problema de la Etiqueta con la cadena inicial  $N100011100NNNNNNNNN$ . 71

5.18. Reglas de transición del autómata celular equivalente al sistema tag  $0 \rightarrow 12, 1 \rightarrow 0, 2 \rightarrow 000; P = 2$ . . . . . 77

# Introducción

En la teoría de la computación se tienen modelos que han sido fundamentales para la tecnología y avance científico que hay hasta la actualidad, algunos ejemplos son: la máquina de Turing, la máquina de Post y los autómatas celulares.

En 1920 Emil Post había desarrollado un modelo computacional logístico de re-escritura de cadenas que es una forma simple de la máquina de Post canónica normal, este modelo consiste en que, dada una cadena, lee el primer símbolo, borra un número constante (definido por un número de borrado  $P$ ) de símbolos al principio y agrega, según el símbolo encontrado al principio, una cadena de símbolos al final (llamada regla de producción), esto sucede hasta que ya no hay un número suficiente de símbolos a borrar o se llegó a un símbolo de parada. Post no lo había publicado hasta 1943 para resolver una reducción del problema de la parada el cual ya había embozado en su escrito de 1921 que no publicó. Este es el sistema conocido como sistema de etiquetas (sistema tag), es determinista y comprende un modelo universal de computación.

En la segunda mitad del siglo XX, John von Neumann desarrolla los autómatas celulares cuyo funcionamiento se describe como: una rejilla llena de celdas con ciertos valores, cada celda es influenciada por las celdas cercanas y dependiendo del valor en estas, la celda en cuestión cambiará de valor. Von Neumann los ideó como sistemas de dos dimensiones sin explorarlos en una dimensión, algo que posteriormente hizo Stephen Wolfram al crear los autómatas celulares elementales que se basan en

la misma dinámica, pero en un espacio unidimensional.

Los sistemas dinámicos son conjuntos de elementos que se relacionan entre sí y a su vez van cambiando con el tiempo. De esta forma se pueden encontrar muchos sistemas dinámicos en muchas áreas de conocimiento y el estudio teórico de estos ha llevado a resultados muy importantes en la biología, la física, la sociología, la computación, entre otros. El estudio de los sistemas dinámicos está soportado por las matemáticas, hecho por el cual su nivel de abstracción es muy elevado. Así, es posible estudiar cualquier sistema que cambie con el tiempo como muchos modelos de computación, y en el sentido de este trabajo, a los sistemas tag. Es decir, para observar la dinámica espacial de los sistemas tag, se aplicaran métodos y conceptos de sistemas dinámicos.

Los autómatas celulares han sido utilizados para modelado discreto de sistemas dinámicos y complejos, el análisis de estos ha resultado sumamente importante para observar el comportamiento de este tipo de sistemas. Su capacidad de computación paralela y la simplicidad que los caracteriza los convierte en una herramienta funcional y eficiente por lo que su aplicación para este trabajo terminal es conveniente.

# Capítulo 1

## Estado del Arte

### 1.1. La Computación Universal y los Sistemas Tag

En teoría de la computación se dice que un sistema de reglas de manipulación de datos es computacionalmente universal o Turing-completo cuando este puede simular una máquina de Turing universal, esto debido a que una máquina de Turing universal es capaz de realizar cualquier cálculo, tal como todos los lenguajes de programación actuales.

Los sistemas tag simulan máquinas de Turing universales, esto fue demostrado por Hao Wang en 1963 [10] y por John Cooke con Marvin Minsky en el mismo año [1], su demostración fue para sistemas tag con número de borrado  $P = 2$ . Además, se ha hecho lo inverso para demostrar que una máquina de Turing es universal se ha simulado con un sistema tag universal como lo hizo Yu Rogozhin en 1996 [15].

## 1.2. Dinámica Espacial de Modelos Computacionales por Wolfram

En el 2002, Stephen Wolfram hace un análisis de la dinámica espacial de varios modelos computacionales poniendo cada transición de la simulación debajo de otra para observar su evolución, en este análisis incluye brevemente a los sistemas tag entre otras máquinas de computación, en cuyo análisis plantea un sistema tag que simula el autómata celular elemental de la regla 30 [11].

Con esta investigación Wolfram abrió el paso al análisis espacial y sistemático de modelos computacionales como se hace usualmente para el estudio de los autómatas celulares, algo que metodológicamente será importante para este Trabajo Terminal.

## 1.3. Sistemas Tag Cíclicos

Matthew Cook, en 2004, diseñó los sistemas tag cíclicos para su demostración de la universalidad en el autómata celular elemental de la regla 110 con el que simuló un sistema tag cíclico Turing-completo. Probando así que al menos un autómata celular elemental es computacionalmente universal [2].

Para este modelo Cook convirtió el número de borrado  $P$  por un número de ciclos  $P$  y el alfabeto de símbolos a uno binario  $(0, 1)$  para que, por cada transición, el primer carácter de la cadena es 1 añada la cadena al final correspondiente al ciclo en el que esta (regla de producción) y si es 0 no lo hará, borrando solo un carácter por ciclo. Este modelo es equivalente al clásico.

## 1.4. Sistemas Tag en la Computación

Algunas investigaciones del siglo actual han incrementado lo que se sabe sobre los sistemas tag como los de Liesbeth De Mol que ha conseguido simplificar algunos sistemas tag usándolos para simular funciones de Collatz y algunos problemas de decidibilidad [3].

También, Turlough Neary encontrando máquinas de Turing universales cada vez más pequeñas aplicando sistemas tag en sus demostraciones, gracias a esto encontró la máquina de Turing universal de 3 colores y 11 estados, la de 6 colores y 6 estados entre otras, el uso de los sistemas tag implicó una reducción en costo computacional de sus demostraciones haciéndolas más eficientes [6].

## 1.5. Sistemas Tag Generalizados

En el 2018, Turlough Neary y Matthew Cook encontraron una generalización de sistemas tag, este modelo además de simplificar su aplicación también dio la apertura para configurar de otra manera sistemas tag ya existentes y simularlos en tiempo lineal [7].

Para su modelo utilizaron el concepto de ciclo P, pero a diferencia de un sistema tag cíclico ya no agregaría la cadena al final únicamente si el carácter es 1, sino que el alfabeto puede variar en número símbolos y cada símbolo puede agregar una cadena al final según el ciclo de la máquina. Así con un solo modelo incluyeron los dos ya existentes y expandir las posibles configuraciones.

## 1.6. Máquinas de Turing como Autómatas Celulares

En una investigación similar a la de este trabajo que se produjo en el 2017 por Sergio Eduardo Juárez Martínez y César Iván Manzano Mendoza en el trabajo termi-

nal titulado “Máquinas de Turing y el problema de la universalidad como sistemas dinámicos discretos”, establecieron un algoritmo que convierte una máquina de Turing dada en un autómata celular equivalente [13].

En este trabajo terminal se propone el uso del modelo de sistemas tag, así como los autómatas celulares unidimensionales para encontrar un algoritmo tal que, al introducir una configuración de sistema tag, devuelve un autómata celular que lo simule y caracterizar a los sistemas tag como sistemas dinámicos discretos.

## 1.7. Tabla Comparativa

Título	Autor	Año	Máquina que Simula	Herramienta disponible
A New Kind of Science	Stephen Wolfram	2002	Varias máquinas de computación	Si
Universality in Elementary Cellular Automata	Matthew Cook	2004	Sistema Tag en Autómata de la Regla 110	No
Máquinas de Turing y el problema de la universalidad como sistemas dinámicos discretos	Sergio Eduardo Juárez Martínez y César Iván Manzano Mendoza	2017	Máquinas de Turing con Autómatas Celulares	Si

Tabla 1.1: Tabla comparativa de trabajos similares

# Capítulo 2

## Marco Teórico

### 2.1. Sistemas Tag

Los sistemas de tag fueron introducidos por Emil Post a principios de la década de 1920 buscando representar las expresiones del *Principia Mathematica* de Bertrand Russell y Alfred North Whitehead en transformaciones de cadenas. Pero fue más allá para lograr que un problema de lógica-matemática se convierta en un problema de computación porque, al tratar de formalizar las transformaciones teóricamente, llegó a lo que llamó él *problema de la etiqueta*. Los sistemas tag se definen como:

Un sistema tag  $T$  es una tupla  $(\Sigma, H, R, P)$  donde,

- $\Sigma$  es un conjunto finito de símbolos.
- $H$  es un conjunto finito de símbolos de parada, tales que  $\Sigma \cap H = \emptyset$ .
- $R$  es un conjunto de reglas  $R : \Sigma \rightarrow \{\Sigma \cup H\}^*$  con una regla para cada símbolo de  $\Sigma$ .
- $P$  es un número de borrado  $P \in \mathbb{N}$  con  $P \geq 1$ .

La configuración de un sistema tag es una cadena de símbolos  $W = w_1w_2\dots w_n$  donde  $w_i \in \Sigma \cup H$ . Cuando se aplica la regla de la forma  $w_1 \rightarrow A_1 \in \{\Sigma \cup H\}^*$  para

$w_1$ , se borra la subcadena  $w_1w_2\dots w_P$  y se adjunta la cadena  $A_1$  en la parte derecha de la cadena  $W$ . Así, pues, cada paso de un sistema tag es determinístico y se expresa como:

$$w_1w_2w_3\dots w_n \vdash w_{P+1}\dots w_n A_i$$

El sistema tag se detiene cuando  $|W| < P$  o cuando el símbolo más a la izquierda de la cadena es un símbolo de parada ( $w_1 \in H$ ).

Como ejemplo, el sistema tag que Emil Post encontró con este problema fue  $R : 0 \rightarrow 00, 1 \rightarrow 1101$  con número de borrado  $P = 3$ .

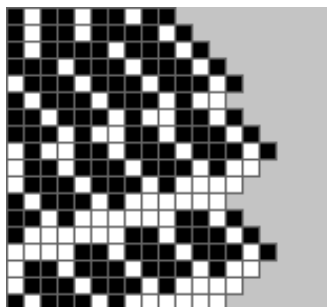


Figura 2.1: Ejemplo con la cadena inicial 1011011011.

## 2.2. Sistemas Tag Cíclicos

Los sistemas tag cíclicos fueron presentados por Matthew Cook en el 2004, fueron utilizados en su investigación sobre la universalidad de los autómatas celulares elementales, en específico de la regla 110. Es equivalente a un sistema tag, pero con un alfabeto binario  $\{0, 1\}^*$ , un número de borrado  $P = 1$  y todas las cadenas adjuntas se añaden solo si el primer símbolo del lado izquierdo es 1. Se puede formalizar de la siguiente manera:

Un sistema tag cíclico  $C$  es una lista ordenada de cadenas  $A_i \in \{0, 1\}^*$  llamadas adjuntas y un número  $\beta$  que se refiere a la cardinalidad del conjunto  $C$ .

Una configuración de un sistema tag cíclico es un par  $(k, W)$  donde  $k$  es el número que apunta a la cadena adjunta  $A_k$  y la cadena binaria  $W = w_1w_2\dots w_n$ . En cada transición se borra  $w_1$ , se calcula  $k = ((k + 1) \bmod \beta)$  y, si  $w_1 = 1$ , se adjunta la cadena  $A_k$  en el lado derecho de la cadena  $W$ . Así, las transiciones del sistema tag cíclico se pueden expresar como:

$$(k, 1w_2w_3\dots w_n) \vdash (((k + 1) \bmod \beta), w_2w_3\dots w_n A_k)$$

$$(k, 0w_2w_3\dots w_n) \vdash (((k + 1) \bmod \beta), w_2w_3\dots w_n)$$

El sistema tag cíclico  $C = \{0100, 10, \epsilon, 101010\}$  simula las iteraciones de la función de Collatz  $((3n + 1)/2$  si  $n$  es impar,  $n/2$  si  $n$  es par) con cadenas de  $(10)^n$ .

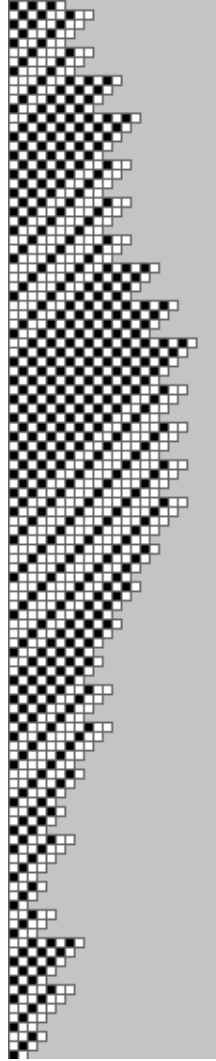


Figura 2.2: Ejemplo con la cadena inicial 101010  $((10)^3)$ .

### 2.3. Sistemas Dinámicos Discretos

Un sistema dinámico es un conjunto de elementos que interactúan entre sí consiguiendo evolucionar con el tiempo. Los sistemas dinámicos discretos se pueden formalizar matemáticamente como:

$$x_{k+1} = f(x_k), \quad k = 0, 1, 2, 3, \dots$$

Donde  $f$  es una función  $f : X \rightarrow X$  definida en el espacio de estados  $X$ . Desde el siglo XX se han utilizado los métodos de estudio de sistemas dinámicos junto con los de análisis computacional en la investigación de modelos computacionales, algo que ha aumentado el conocimiento que se tiene de estos. Algunos de estos métodos son:

- Morfología Matemática
- Diagramas de Atractores
- Entropía de Shannon
- Diagramas de De Bruijn

## 2.4. Autómatas Celulares

Los autómatas celulares fueron ideados por John von Neumann en la segunda mitad del siglo XX como sistemas de computación paralela en los que él buscaba estudiar sistemas físicos. Estos sistemas computacionales realizan los cálculos basados en una rejilla donde cada celda representa un valor y cambia según el comportamiento de sus celdas vecinas. Formalmente, se pueden definir como:

Sea  $A_C = (\Sigma, L, u, f)$  un autómata celular donde,

- $\Sigma$  es un conjunto finito de estados posibles para cada celda.
- $L$  es un arreglo de dimensión  $d \in \mathbb{N}$ , es decir, la rejilla del autómata celular.
- $u$  es una vecindad donde se relacionan localmente las celdas de la rejilla de manera que,  $u : L \rightarrow L^n, n \in \mathbb{N}$ .
- $f$  es una función de transición definida como  $f : \Sigma^n \rightarrow \Sigma$ .

El cual actualiza el estado de cada celda  $x \in \Sigma$  en un tiempo discreto  $t$  haciendo uso de la regla  $x^{t+1} = f(u(x)^t)$  de manera simultánea a las demás. Una transición global  $G$  del  $A_C$  se expresa como  $G : \Sigma^L \rightarrow \Sigma^L$  que mapea cualquier estado global o configuración  $c^t$  a otra  $c^{t+1}$ ,  $G(c^t) = c^{t+1}$ . Así las configuraciones del  $A_C$  desde la configuración inicial se pueden expresar como:

$$c^0 \vdash c^1 \vdash \dots \vdash c^t \vdash c^{t+1}$$

Convencionalmente en un  $A_C$  una vecindad se define según un radio  $r$  de celdas que se encuentren alrededor de una celda. Ejemplos de esto son los *Automatas Celulares Elementales* de Stephen Wolfram y el *Juego de la Vida* de John Conway. Donde se usa  $r = 1$  en ambos casos, es decir, la vecindad es un conjunto de celdas donde cada celda vecina esta solo a una posición de distancia de la celda central.

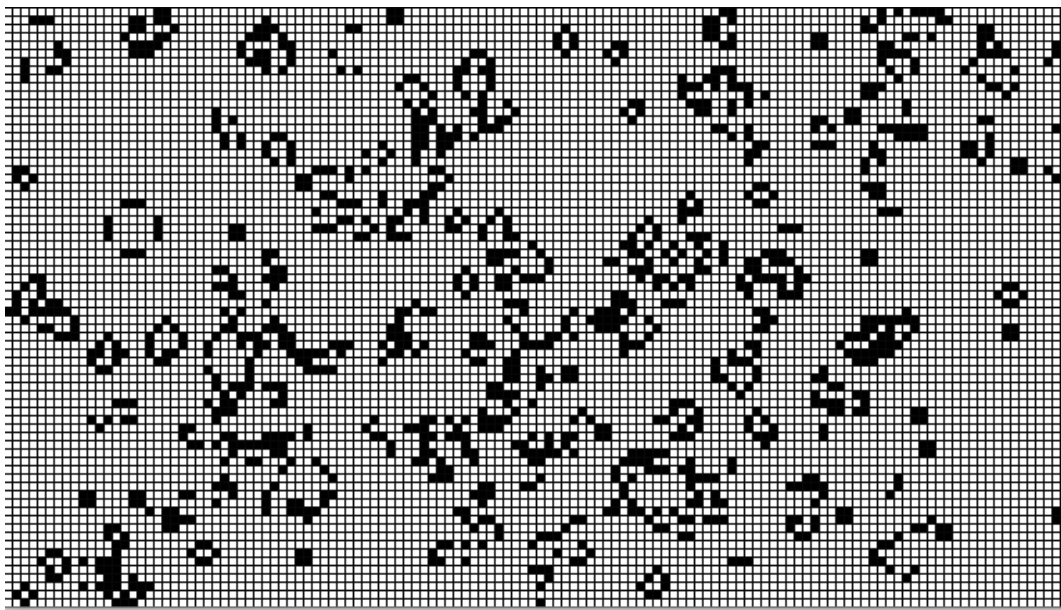


Figura 2.3: Ejemplo de simulación del *Juego de la Vida* de John Conway.

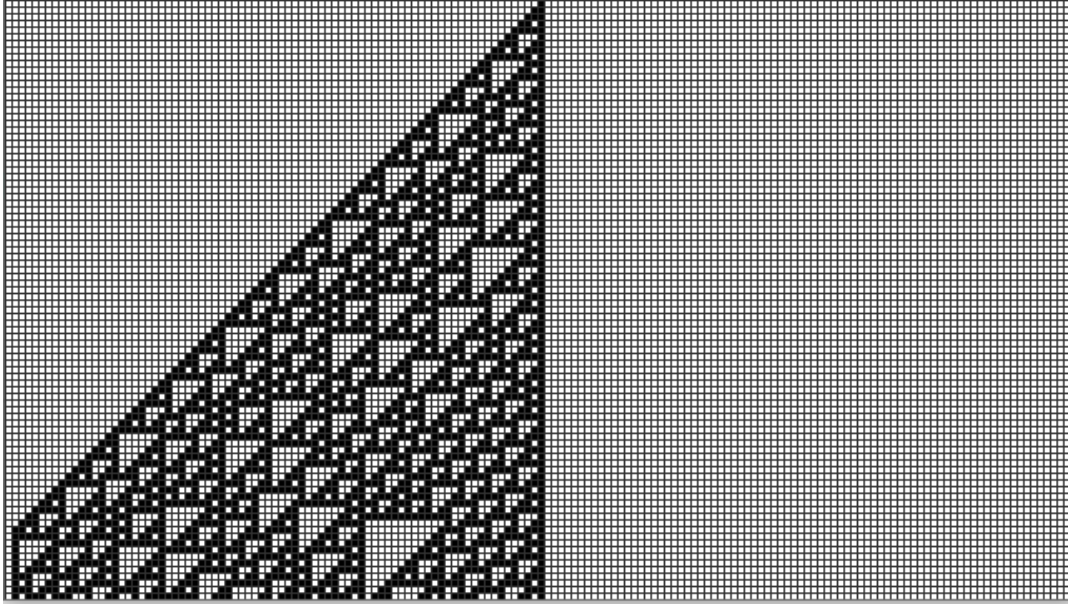


Figura 2.4: Ejemplo de simulación de la regla 110, un *Autómata Celular Elemental* de Stephen Wolfram.

# Capítulo 3

## Planteamiento del Problema

El estudio de modelos computacionales como sistemas dinámicos discretos comenzó a ser tendencia en los últimos años, la principal característica de estos es que cambian con el tiempo y muchos modelos de computación tienen esta característica porque al aplicar las reglas del modelo en los datos de entrada estos van cambiando por cada transición o iteración hasta llegar a un resultado final o de salida como los aplicó Wolfram en [11]. Otra cosa que caracteriza a los sistemas dinámicos es que sus elementos interactúan unos con otros y en este sentido algunos modelos computacionales no cumplen con esta característica totalmente como los sistemas tag que tienen reglas logísticas en donde no hay una relación evidente entre los elementos de una cadena.

Hasta el momento los sistemas tag son estudiados en su aplicación como programas para calcular funciones y simulando otras máquinas, usualmente el análisis se hace con formalismos matemáticos como en [3][6]. En este trabajo terminal se emplearán métodos sistemáticos que se utilizan para el estudio de sistemas dinámicos discretos y así incluir a los sistemas tag entre los modelos que son estudiados de esta forma.

La hipótesis principal es que existe un algoritmo que convierta la configuración de

un sistema tag en un autómata celular aprovechando su potencial de computación. En la búsqueda de este algoritmo se quieren resolver las siguientes preguntas:

- ¿Qué configuraciones de sistemas tag se pueden convertir en reglas de autómatas celulares?
- ¿Cómo sería el proceso de conversión?
- ¿Qué características se pueden obtener del análisis de sistemas tag como sistemas dinámicos discretos?
- ¿Qué características tienen los autómatas celulares que simulan sistemas tag?

Con base en estas cuestiones los objetivos de esta investigación aparecen a continuación.

## **3.1. Objetivos**

### **3.1.1. Objetivo General**

Analizar sistemas tag como sistemas dinámicos con su simulación en autómatas celulares.

### **3.1.2. Objetivos Específicos**

- Desarrollar una herramienta para la simulación de la dinámica espacial de los sistemas tag.
- Analizar el comportamiento de los sistemas tag en su dinámica espacial.
- Analizar autómatas celulares unidimensionales que simulen sistemas tag.
- Contribuir al estudio de los sistemas tag como sistemas dinámicos.

## 3.2. Justificación

La herramienta computacional con la que se estudiarán los sistemas tag como sistemas dinámicos son los autómatas celulares. Estos no han tenido tantas aplicaciones en la industria tecnológica, su uso común se relaciona con el ámbito científico y de investigación de otras áreas aparte de la computación como los sistemas complejos gracias a que pueden simular sistemas dinámicos con modelado discreto y su comportamiento se puede analizar desde varias perspectivas fenotípicas, genotípicas y morfológicas como se muestra en [14]. Gracias a la variedad de métodos que se tienen en la actualidad y su simplicidad, pueden cumplir con los requerimientos de esta investigación. Algunos de estos son:

- Morfología Matemática
- Diagramas de Atractores
- Entropía de Shannon
- Diagramas de De Bruijn

Hasta el momento no se han relacionado de esta manera a los sistemas tag con los autómatas celulares por lo que en este trabajo terminal se busca presentar esta relación y la caracterización en su dinámica espacial acrecentando el conocimiento de estos al esbozar algún nuevo método para su estudio que puede ayudar a la comunidad científica y estudiantil del área para futuras aplicaciones e investigaciones y proveyendo de un simulador como herramienta. Pero, aunque se tengan varias formas de analizar un sistema dinámico discreto esta tarea no será trivial por tres razones:

- Se trata de aumentar el conocimiento de los sistemas tag que hasta el momento es subestimado y no ha sido tan vasto como con otros modelos, pero ha mejorado varios aspectos de la computación [2][3].

- No hay hasta el momento un método para encontrar una configuración en autómatas celulares que pueda simularlos espacialmente.
- La herramienta propuesta como simulador de sistemas tag y su dinámica espacial en autómatas celulares debe optimizar la simulación cuando la demanda en memoria o tiempo de computación sean altos además debe ser fácil de utilizar.

La motivación principal para este trabajo terminal es aportar al estudio de los sistemas tag porque su universalidad computacional ha quedado demostrada en varios trabajos como [1][2][6][10].

La dificultad que se presenta no es despreciable los métodos para el desarrollo de la investigación ya fueron previamente estudiados en las unidades de aprendizaje de la carrera en curso.

# Capítulo 4

## Sistemas Tag y Autómatas Celulares

### 4.1. Autómatas Celulares Unidimensionales

Los primeros autómatas celulares habían sido bidimensionales, es decir, que estaban definidos en un espacio bidimensional. En los autómatas celulares unidimensionales la celda central es influenciada por las celdas laterales respecto a un rango constante y definido  $r$ , este parámetro suele ser entero en un espacio discreto, pero es posible que sea fraccionario. Si el alfabeto del autómata celular es  $\Sigma = \{\sigma_1, \dots, \sigma_n\}$  la representación de la regla de transición es:

$$w_{i-r} \dots w_{i-2} w_{i-1} w_i w_{i+1} w_{i+2} \dots w_{i+r} \rightarrow \sigma_k$$

$w_{i-r}$	...	$w_{i-2}$	$w_{i-1}$	$w_i$	$w_{i+1}$	$w_{i+2}$	...	$w_{i+r}$
				$\sigma_k$				

Tabla 4.1: Vecindad de un autómata celular unidimensional.

y el número de configuraciones posibles se calcula como:

$$C_T = |\Sigma|^{2r+1}$$

Como consecuencia de esto mientras más rango tenga el autómata celular hay un número mayor de configuraciones. Y el número de reglas posibles estará dado por:

$$R_T = |\Sigma|^{C_T}$$

Si se toma en cuenta un alfabeto binario  $\Sigma = \{0, 1\}$  y un radio  $r = 2$  se obtienen:

$$C_T = 2^{2(2)+1} = 32$$

$$R_T = 2^{32} = 4\,294\,967\,296$$

## 4.2. Autómatas Celulares Elementales

Los autómatas celulares elementales son autómatas celulares unidimensionales de alfabeto  $\Sigma = \{0, 1\}$  y radio  $r = 1$ . Por tanto, las posibles configuraciones y reglas son:

$$C_T = 2^{2(1)+1} = 8$$

$$R_T = 2^8 = 256$$

Como el alfabeto es binario se puede utilizar un código que simplifica la definición de un autómata celular elemental por la regla que utiliza es decir, según el estado de las dos celdas que tiene a cada lado y su estado actual, las posibles configuraciones son: 111, 110, 101, 100, 011, 010, 001, 000 en ese orden y el siguiente estado de la celda central en cada una de estas se da con la representación binaria de un número entre el 0 y el 255 como el  $110_d = 01101110_b$  cuya configuración es:

111	→	0
110	→	1
101	→	1
100	→	0
011	→	1
010	→	1
001	→	1
000	→	0

Tabla 4.2: Reglas de transición del autómata celular elemental de la regla 110.

Así, este autómata celular elemental es llamado el autómata de la regla 110 y a continuación se muestra una simulación de dicho autómata con una cadena de entrada aleatoria.

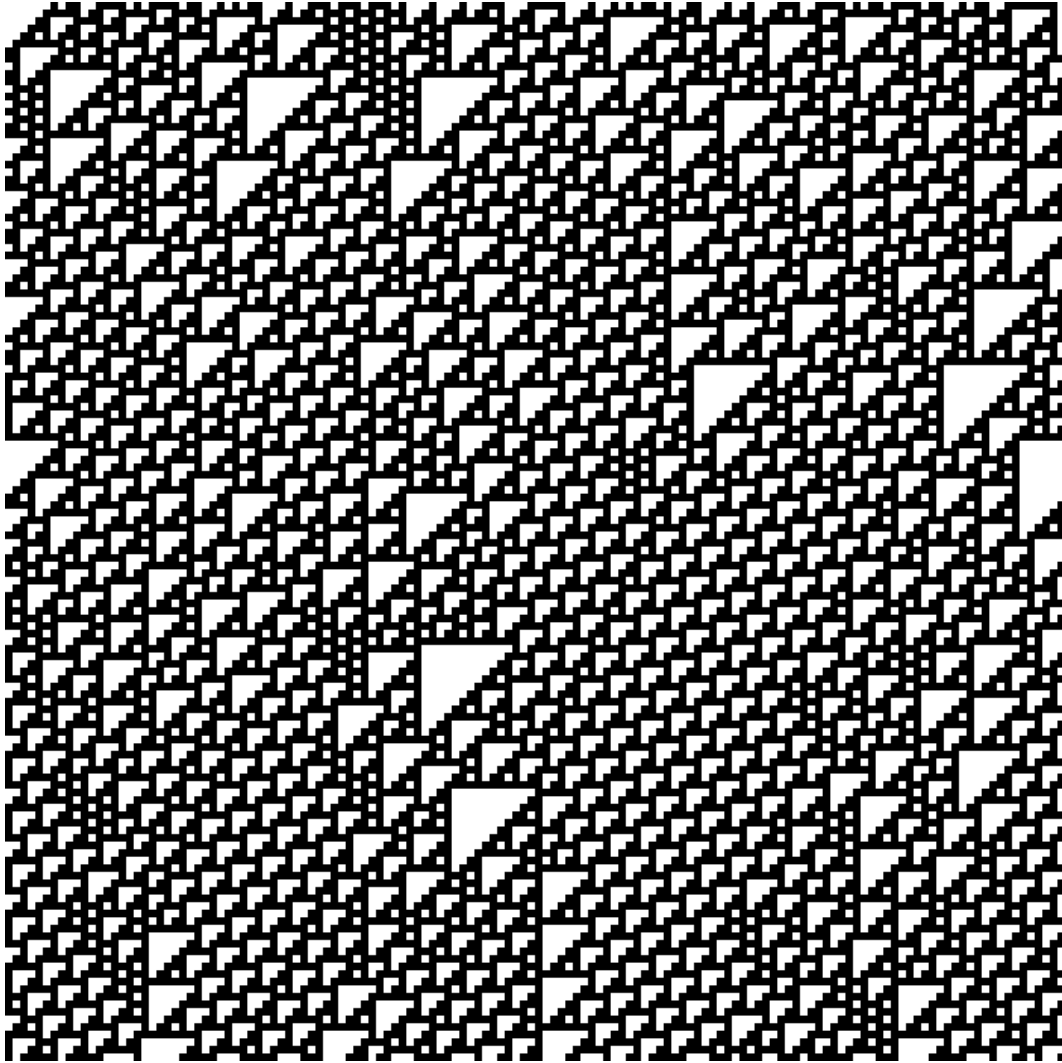


Figura 4.1: Simulación del autómata celular de la regla 110 con una cadena inicial aleatoria

Por su comportamiento complejo se ha encontrado que el autómata celular elemental de la regla 110 es capaz de hacer computación universal, la demostración fue dada por Matthew Cook en la cual simula dentro del autómata un sistema tag universal [2].

### 4.3. Clasificación de los Autómatas Celulares

El estudio del comportamiento de los autómatas celulares ha llevado a plantear diferentes formas de clasificarlos. La clasificación de Wolfram ha sido más utilizada por su descripción basada en la complejidad y comportamiento. Consta de cuatro clases.

- Clase I. Evolución a un estado uniforme. Se le asigna esta clase a los autómatas celulares que convergen a un estado homogéneo y ordenado después de unas cuantas evoluciones.



Figura 4.2: Simulación del autómata celular de la regla 40 que pertenece a la clase I con una cadena inicial aleatoria

- Clase II. Evolución a estados periódicos. Caracteriza a autómatas celulares que

presentan una evolución cíclica, es decir, que a través de un número constante (periodo) de estados se repiten.

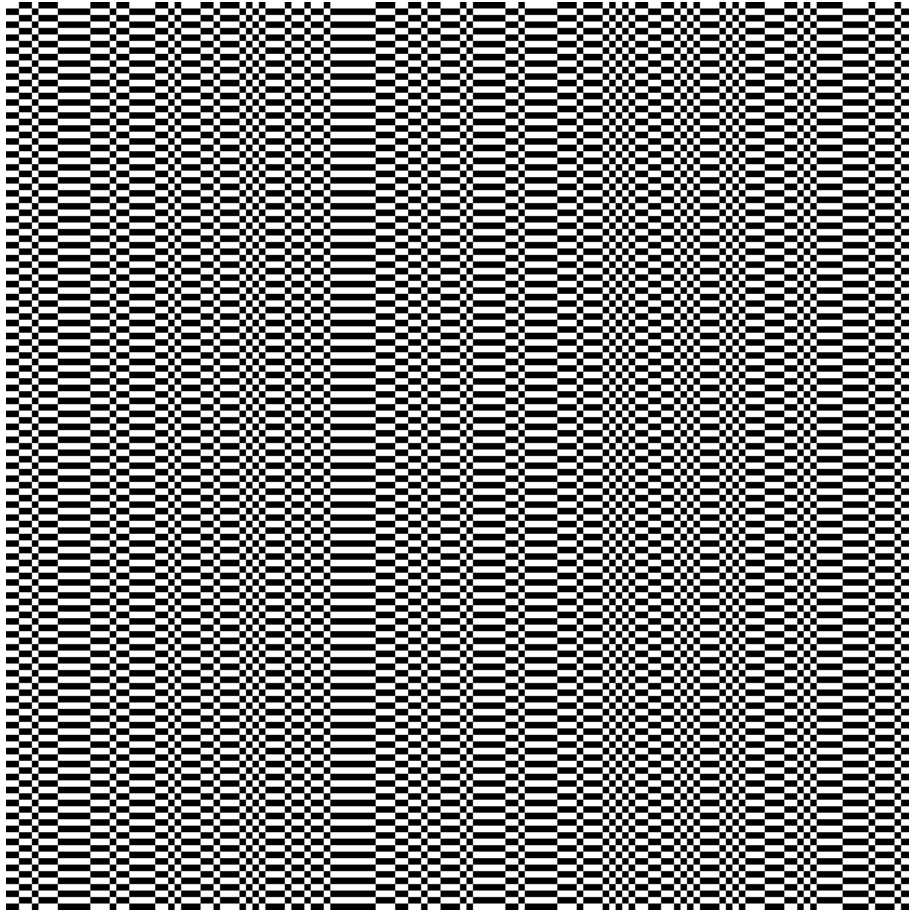


Figura 4.3: Simulación del autómata celular de la regla 51 que pertenece a la clase II con una cadena inicial aleatoria

- Clase III. Evolución caótica. Está caracterizada por un comportamiento aleatorio en el cual aparecen patrones periódicos aislados que forman triángulos.

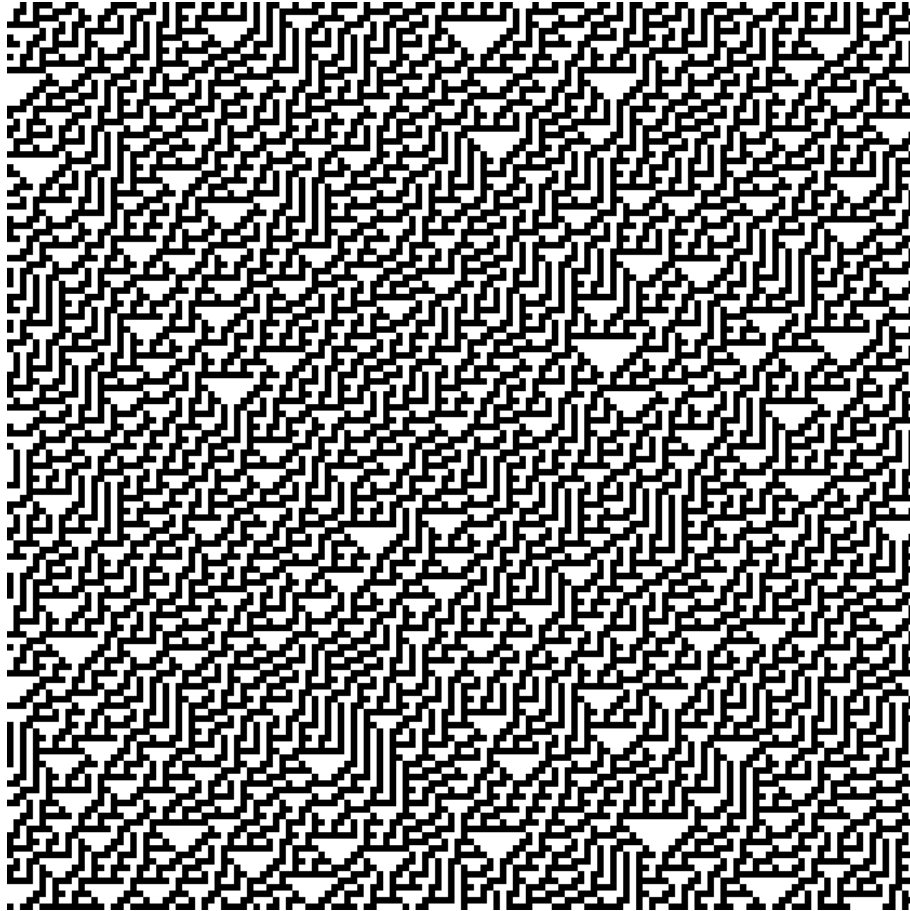


Figura 4.4: Simulación del autómata celular de la regla 30 que pertenece a la clase III con una cadena inicial aleatoria

- Clase IV. Evolución con un comportamiento complejo. Los autómatas celulares que pertenecen a esta clase presentan un comportamiento que incluye a todos los anteriores de manera que emergen patrones complejos.

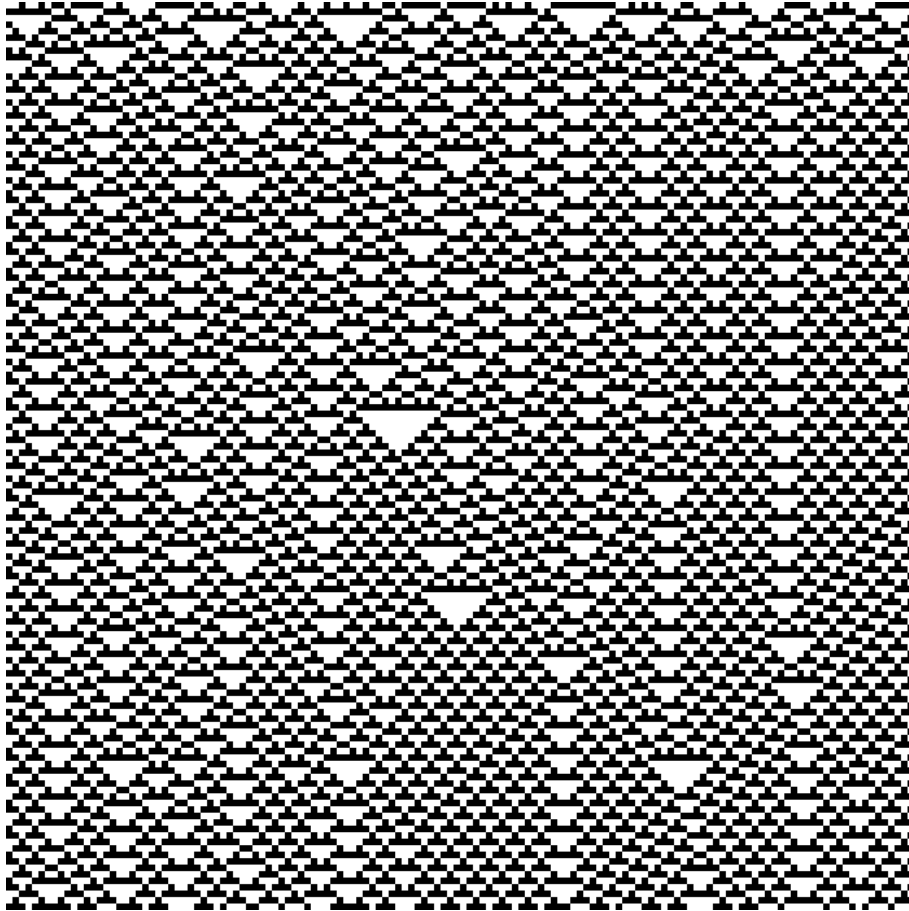


Figura 4.5: Simulación del autómata celular de la regla 54 que pertenece a la clase IV con una cadena inicial aleatoria

Estas clases están enumeradas de manera ascendente según el aumento de la complejidad, el autómata celular elemental universal de la regla 110 pertenece a la clase IV, hecho que relaciona el comportamiento complejo con la universalidad de los sistemas.

En esta clasificación se pueden incluir toda clase de autómatas celulares porque provee de una clasificación simple y fenotípica, es decir, que se puede percibir de manera gráfica.

## 4.4. Funcionamiento de un Sistema Tag

En la práctica, al definir un sistema tag, basta con proporcionar las reglas de producción y el número de borrado.

Por ejemplo, el sistema tag que genera cadenas de Fibonacci. Las cadenas de Fibonacci, como la sucesión de Fibonacci, genera una palabra concatenando las dos palabras anteriores mediante:

$$f(0) = 0$$

$$f(1) = 01$$

$$f(n) = f(n-1) + f(n-2)$$

Hasta  $n = 4$  las cadenas de Fibonacci son las siguientes:

$$f(0) = 0$$

$$f(1) = 01$$

$$f(2) = f(1) + f(0) = 010$$

$$f(3) = f(2) + f(1) = 01001$$

$$f(4) = f(3) + f(2) = 01001010$$

Para poder generar las cadenas de Fibonacci se utiliza el sistema tag [11]

$$0 \rightarrow 01, 1 \rightarrow 0$$

$$P = 1$$

Cuya definición se describe como: cada vez que encuentre un 0 en el extremo izquierdo de la cadena se agrega la cadena 01 en el extremo derecho y cuando encuen-

tre un 1 se agrega la cadena 0, por cada transición se borra 1 carácter del extremo izquierdo de la cadena. Para mostrar este funcionamiento se introduce la cadena 0 con la que después de 12 pasos de computación se obtiene  $f(4)$ .

$$\begin{aligned}
 & \mathbf{0} \vdash \mathbf{01} \vdash 101 \vdash \mathbf{010} \vdash 1001 \vdash 0010 \vdash \mathbf{01001} \\
 & \vdash 100101 \vdash 001010 \vdash 0101001 \vdash 10100101 \vdash \mathbf{01001010}
 \end{aligned}$$

### 4.5. Visualización Espacial de los Sistemas Tag

Definida la manera de funcionar de un sistema tag se puede observar de manera visual y analizar los patrones que surgen a través de sus transiciones. Se propone que se tome cada cadena generada por cada transición y se ubiquen cada una debajo de la otra. Tomando el ejemplo del sistema tag que genera cadenas de Fibonacci se obtiene:

<b>0</b>								
<b>0</b>	<b>1</b>							
1	0	1						
<b>0</b>	<b>1</b>	<b>0</b>						
1	0	0	1					
0	0	1	0					
<b>0</b>	<b>1</b>	<b>0</b>	<b>0</b>	<b>1</b>				
1	0	0	1	0	1			
0	0	1	0	1	0			
0	1	0	1	0	0	1		
1	0	1	0	0	1	0	1	
<b>0</b>	<b>1</b>	<b>0</b>	<b>0</b>	<b>1</b>	<b>0</b>	<b>1</b>	<b>0</b>	

Tabla 4.3: Primeras 12 transiciones del sistema tag  $0 \rightarrow 01, 1 \rightarrow 0; P = 1$ .

Como cada cadena ocupa un espacio unidimensional y la sucesión de estas, una debajo de la otra, se vuelve bidimensional entonces se utiliza un plano bidimensional para verlo gráficamente asignando a cada carácter un color como el blanco para los

0s y el negro para los 1s. Se obtiene la siguiente figura:

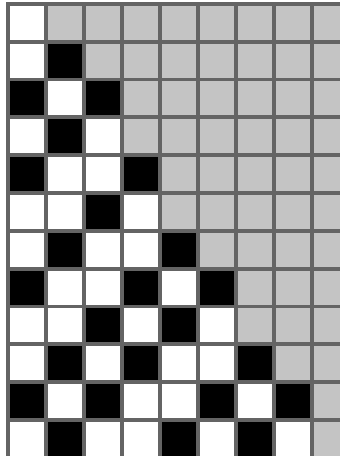


Figura 4.6: Visualización gráfica de los primeros 12 pasos del sistema tag  $0 \rightarrow 01, 1 \rightarrow 0$ ;  $P = 1$  con la cadena inicial 0.

Así es posible obtener una descripción de las instantáneas del sistema por cada paso o evolución de este. Este método fue promovido principalmente por Wolfram en su libro *A New Kind of Science* [11].

## 4.6. Sistemas Tag y la Función de Collatz

Existen algunos sistemas tag que pueden simular funciones matemáticas de manera sencilla. Tal es el caso de la función de Collatz definida de esta forma:

$$f(n) = \begin{cases} \frac{3n+1}{2}, & \text{si } n \text{ es impar} \\ \frac{n}{2}, & \text{si } n \text{ es par} \end{cases}$$

Esta función es recursiva, es decir,  $f(n_{i+1}) = f(n_i)$  hasta que tienda a 1. Para  $n = 7$  obtenemos la serie:

$$f(7) = 11, f(11) = 17, f(17) = 26, f(26) = 13, f(13) = 20, f(20) = 10,$$

$$f(10) = 5, f(5) = 8, f(8) = 4, f(4) = 2, f(2) = 1$$

Esta función puede ser simulada con el sistema tag  $0 \rightarrow 12, 1 \rightarrow 0, 2 \rightarrow 000$  con número de borrado  $P = 2$ . En el cual al introducir una cadena de la forma  $0^n$  esta producirá las cadenas donde se cumpla la función  $f(n)$ . A continuación un ejemplo con la cadena  $0000000 = 0^7$ .

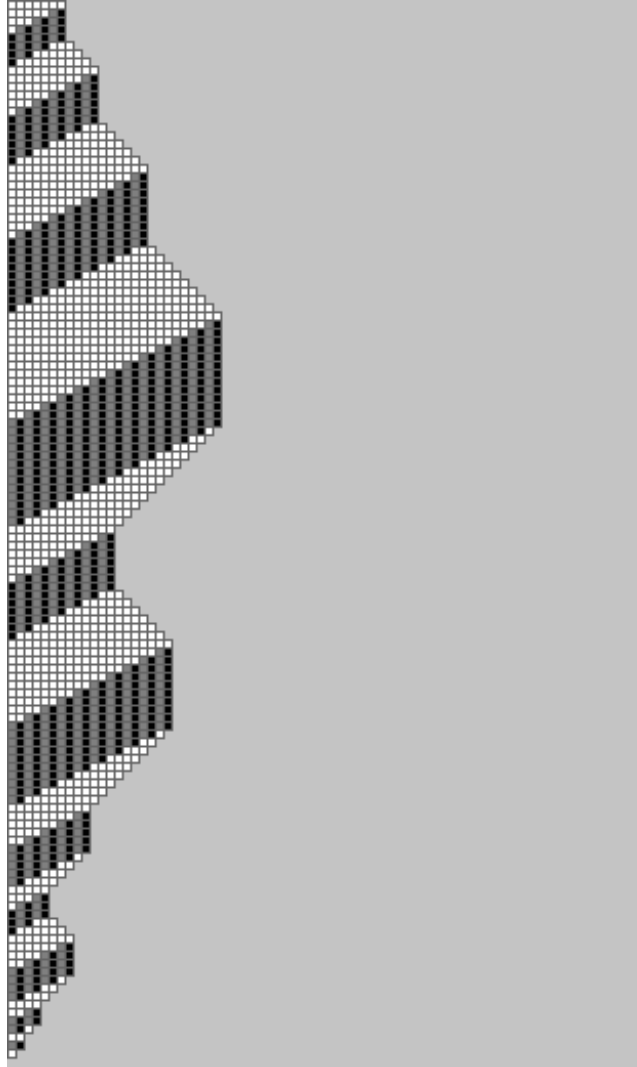


Figura 4.7: Sistema tag  $0 \rightarrow 12, 1 \rightarrow 0, 2 \rightarrow 000$  con la cadena inicial  $0000000 = 0^7$  en 128 evoluciones.

Gracias a la visualización espacial se nota la evolución en tiempo lineal  $O(n)$  que genera cada cadena  $0^n$ . Este sistema tag fue diseñado por De Mol en 2008 [3] donde provee de una forma de encontrar sistemas tag que simulen la familia de funciones de Collatz.

## 4.7. Sistema Tag que simula una Máquina de Turing Universal

Una de las máquinas de Turing universales más pequeñas es la que tiene dos estados y tres colores, sugerida por Wolfram en 2002 [11] y efectuada la demostración de su universalidad por Alex Smith en 2007 [18] para lo cual utilizó sistemas tag cíclicos.

	A	B
0	P1,R,B	P2,L,A
1	P2,L,A	P2,R,B
2	P1,L,A	P0,R,A

Tabla 4.4: Transiciones de la máquina de Turing universal de Wolfram[11].



Figura 4.8: Máquina de Turing Universal de dos estados y tres colores. [11]

El sistema tag que se define a continuación puede simular la máquina de Turing universal simple (de dos estados y tres colores) [11].

$$\begin{aligned}
 0 \rightarrow 32, 1 \rightarrow 65, 2 \rightarrow 11, 3 \rightarrow 0, 4 \rightarrow, 5 \rightarrow 00, 6 \rightarrow 11, 7 \rightarrow 00, 8 \rightarrow ba, 9 \rightarrow ed, a \rightarrow 9999, \\
 b \rightarrow 8, c \rightarrow 8, d \rightarrow 8, e \rightarrow 9999, f \rightarrow 8888, g \rightarrow ji, h \rightarrow ml, i \rightarrow 99hh, j \rightarrow ggoooo, k \rightarrow ggoo, \\
 l \rightarrow ggoooo, m \rightarrow 9999h, n \rightarrow, o \rightarrow rq, p \rightarrow ut, q \rightarrow p, r \rightarrow oooo, s \rightarrow oooo, t \rightarrow oooo, \\
 u \rightarrow p, v \rightarrow o; \quad P = 2
 \end{aligned}$$

Este sistema tag produce los movimientos del cabezal de la máquina de Turing de

Wolfram. Porque los movimientos del cabezal son una de las principales características de esta máquina.

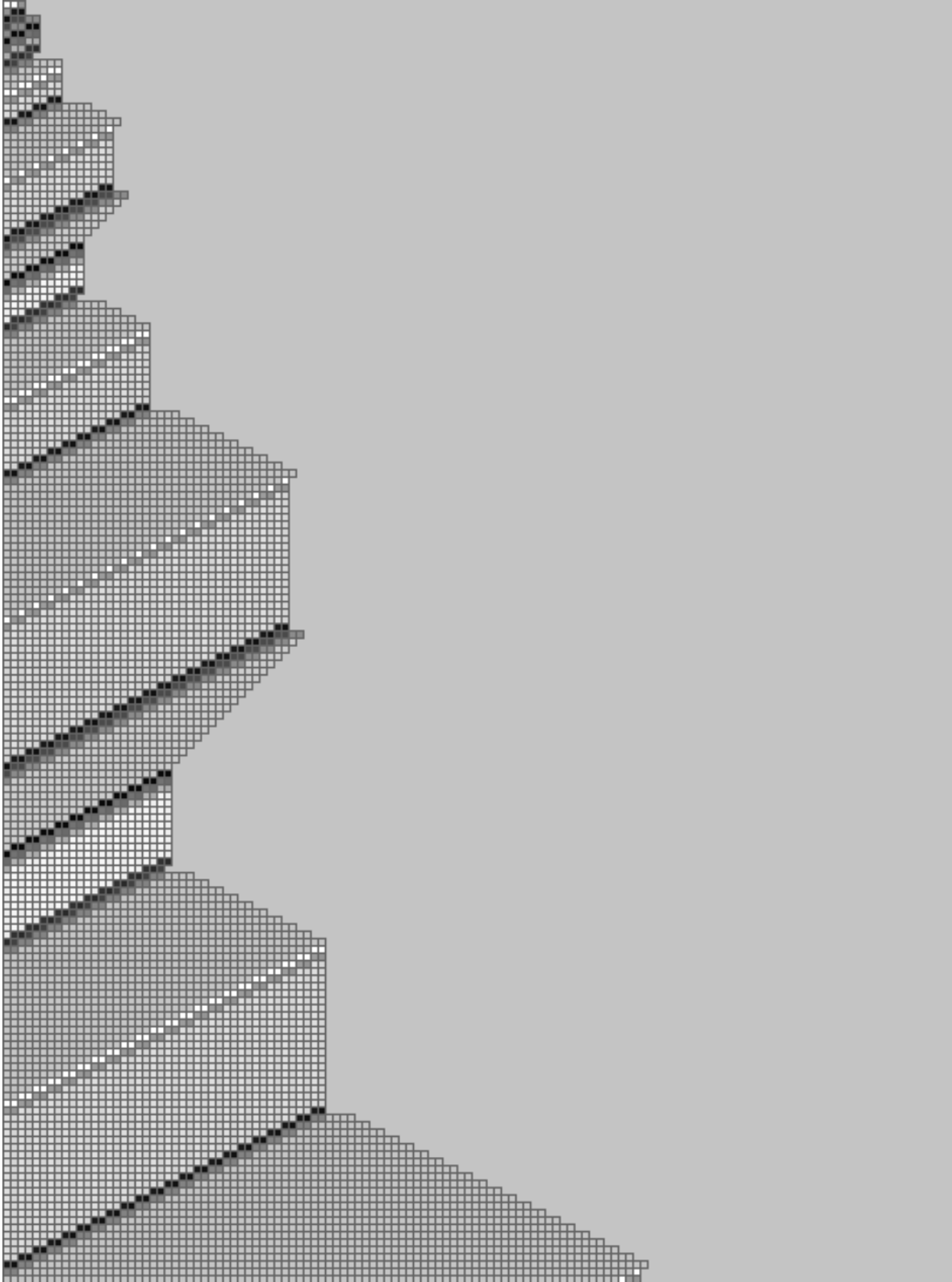


Figura 4.9: Sistema tag que simula la máquina de Turing universal de dos estados y tres colores con la cadena inicial  $00i$  en 175 evoluciones.

## 4.8. El Problema de la Etiqueta

Cuando Emil Post ideó sus sistemas tag se encontró con uno en particular que le causó mucho tiempo de análisis. Este sistema de alfabeto binario  $\Sigma = \{0, 1\}$  número de borrado  $P = 3$  y las reglas de producción  $0 \rightarrow 00, 1 \rightarrow 1101$  cuyo comportamiento le hacía preguntarse si para algunas cadenas este no pararía sino que seguiría infinitamente, sin que necesariamente entre en un bucle [8].

Stephen Wolfram retomó la investigación de Emil Post para comprobar su *Principio de Equivalencia Computacional* que significa que *todos los procesos, ya sean producidos por el esfuerzo humano o que ocurren espontáneamente en la naturaleza, pueden verse como computaciones* que pueden reproducirse en los sistemas computacionales más simples (por ejemplo las máquinas de Turing o los autómatas celulares) y existe una equivalencia entre ellos. Aunque aún no ha llegado a la conclusión satisfactoria sobre los sistemas tag simples, ha utilizado una metodología sistemática para el análisis en la cual busca la reducción de los problemas y la simulación de las transiciones de cada configuración.

Si tomamos el sistema tag anteriormente definido con una cadena aleatoria, se produce una simulación visual de sus configuraciones por cada transición poniendo una debajo de la otra se obtiene su evolución en un espacio bidimensional con la cual es posible saber de manera gráfica si existe un patrón por cada paso de computación. En la figura 4.10 se encuentra un ejemplo con la cadena inicial aleatoria de longitud 65.

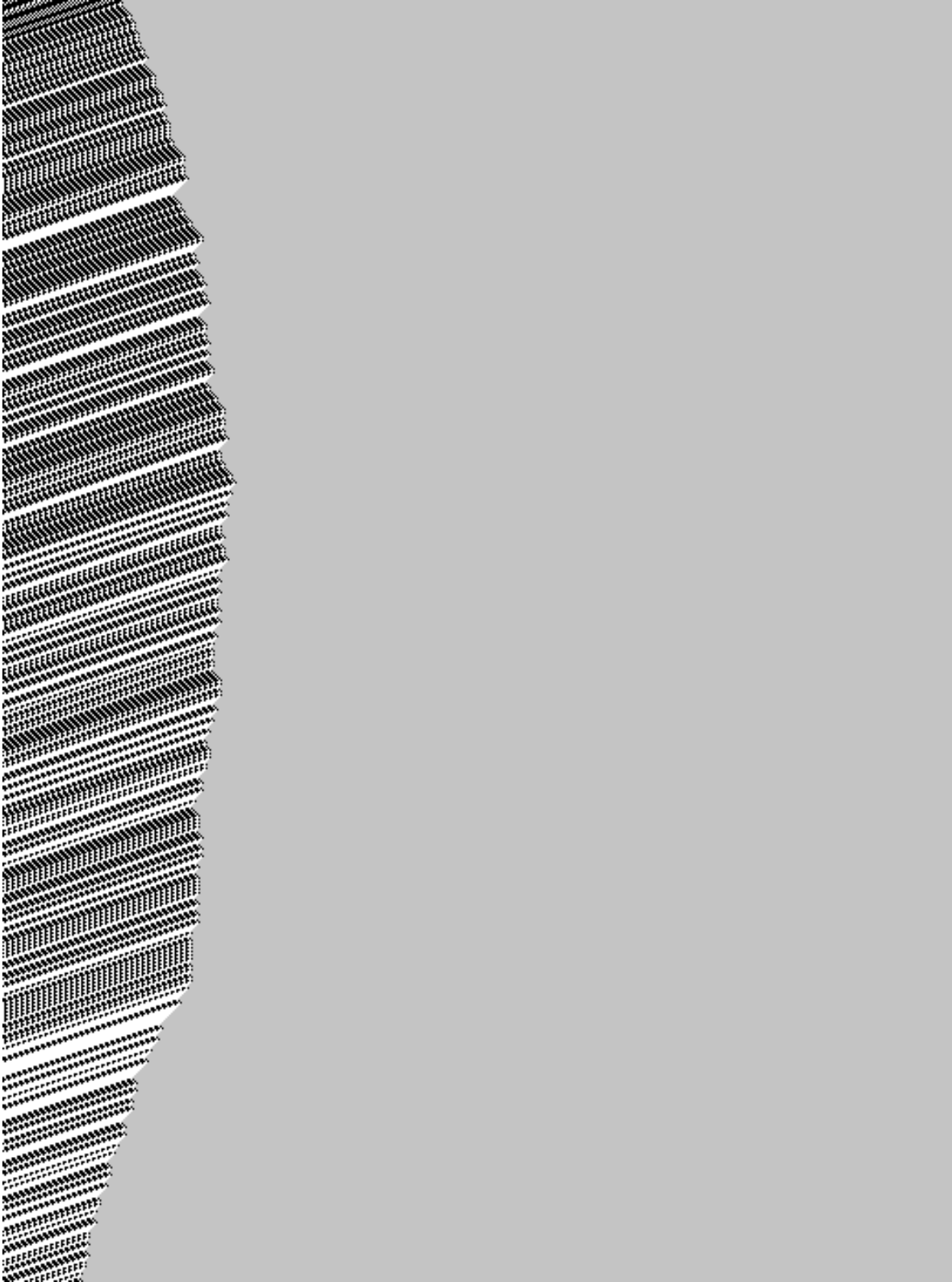


Figura 4.10: Simulación del sistema  $0 \rightarrow 00, 1 \rightarrow 1101$  con una cadena inicial aleatoria en 700 evoluciones.

Como se puede observar para que el sistema pare pueden necesitarse un número más extenso de pasos el cual puede tener el orden de los millones según las aportaciones de Stephen Wolfram.

El sistema tag  $0 \rightarrow 00, 1 \rightarrow 1101$  todavía es estudiado debido a que aún no se ha encontrado una cadena con la que este siga calculando de manera infinita aunque se conjetura que existe, el análisis de esta sección no se enfocará en encontrar un método para obtener esa cadena sino en las características del sistema.

## 4.9. Análisis sobre los Sistemas Tag

Al haber probado algunos sistemas tag con características variadas y de diferentes orígenes, es posible observar algunas cosas referentes al futuro diseño de autómatas celulares equivalentes. Los dos mecanismos fundamentales de un sistema tag son: el borrado y la concatenación de la cadena adjunta mediante la verificación del primer carácter de la cadena.

De manera fenotípica se observan patrones los sistemas tag tales como corrimientos hacia la izquierda dependientes del número de borrado, ciclos y bloques de subcadenas que tienen algún patrón de símbolos repetitivos.



Figura 4.11: Simulación del sistema tag de la sección 4.7, se notan los corrimientos y los bloques de subcadenas con patrones.

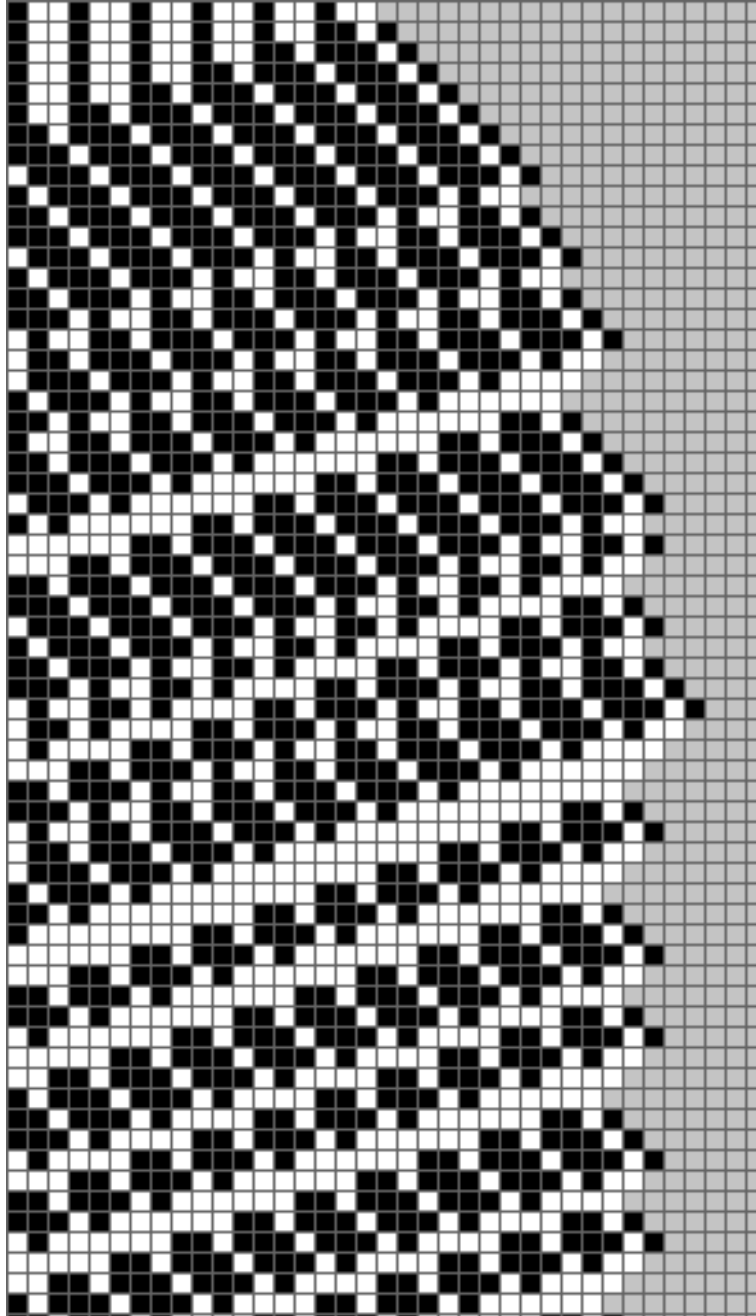


Figura 4.12: Simulación del sistema tag de la sección 4.8 que converge a un ciclo.

Aunque es de primera instancia según lo que se observa que existe un problema abierto a resolver: ¿se pueden encontrar las reglas de transición de un autómata celular unidimensional que simulen dicho comportamiento? Una primera respuesta a esta pregunta es: no. Debido a que la naturaleza del sistema tag viene de la verifi-

cación del primer carácter que encuentra en el extremo izquierdo para decidir qué cadena se adjuntará en el extremo derecho y un autómata celular tiene un radio específico y constante en el que se define la vecindad de este y, en consecuencia, sus reglas de transición y se desenvuelven en un espacio infinito de celdas así que no puede verificar el extremo izquierdo de la cadena cuando esta tenga una extensión mayor al radio. Por lo tanto, es indeterminado que una regla de transición simule el comportamiento de la regla de producción o el patrón fenotípico del sistema tag.

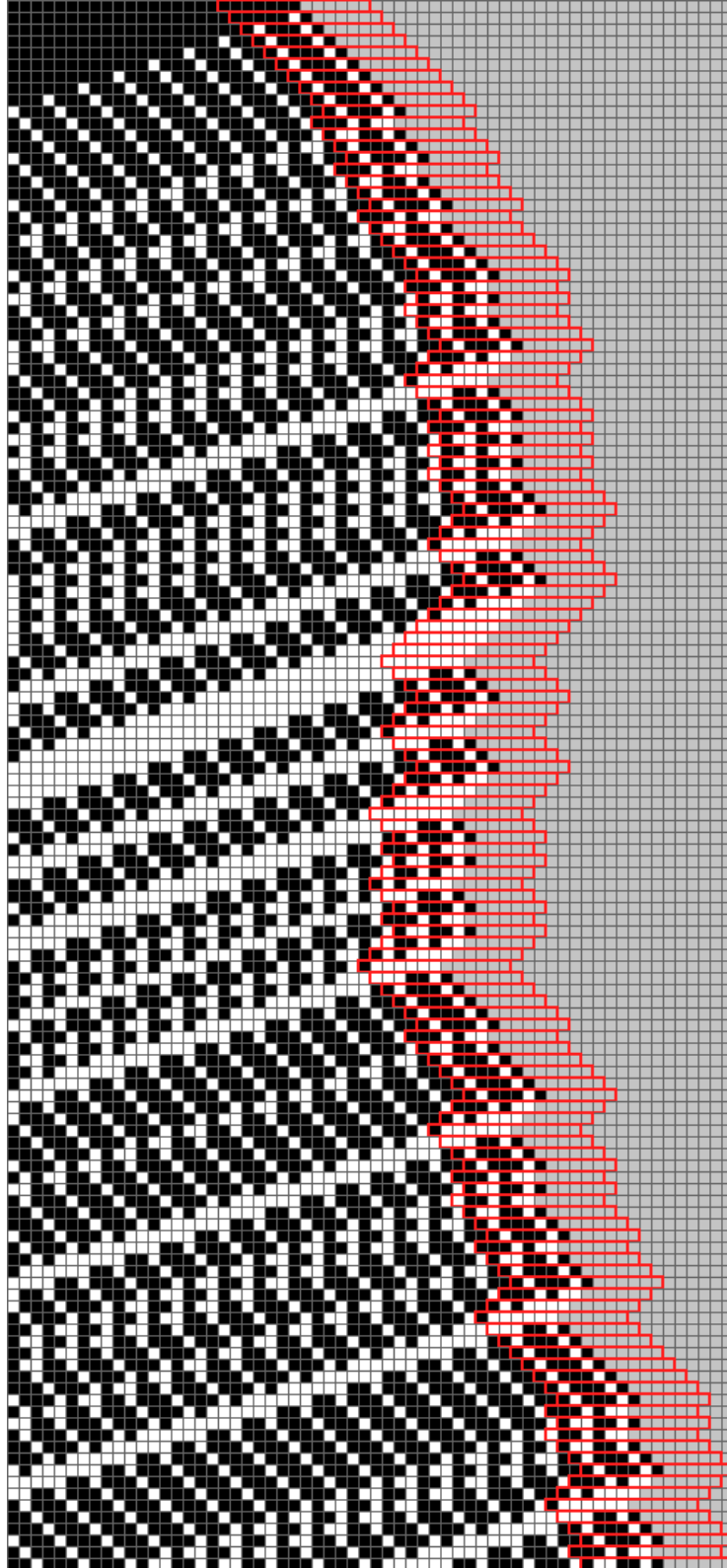


Figura 4.13: Simulación del sistema tag de la sección 4.8, se nota que no hay un patrón determinado al final de cada cadena generada por este.

Debido a esta observación sería difícil encontrar un autómata celular que equivalga de manera directa al patrón fenotípico de un sistema tag, pero esa no es la única manera de resolver el problema de la conversión. Se podría establecer un mecanismo expresado en las reglas de transición del autómata celular que permita borrar y añadir las cadenas adjuntas y en ese caso se obtendría cada cadena del sistema tag dada una cadena inicial, pero habría pasos intermedios de tal manera que el autómata celular manipule la cadena con dicho mecanismo para obtener la siguiente y este mecanismo debería estar bien conformado para que en cualquier caso realice la tarea en cuestión.

Como se vio en la sección 4.1 el radio en el que se define la vecindad de un autómata celular aumenta exponencialmente el número de configuraciones posibles  $C_T$  y, en consecuencia, el número de reglas posibles  $R_T$ . El número de símbolos en el alfabeto realmente no tiene un impacto exponencial sino lineal en esto. Así como parte un funcionamiento óptimo es necesario establecer el menor radio posible, aunque signifique aumentar el número de símbolos en el alfabeto de este, incluso se conjetura que un autómata celular con vecindad de radio  $r = 1$  es suficiente aunque el número de símbolos del alfabeto será diferente en cada caso.

Ahora bien, un sistema tag no se desenvuelve en un espacio de celdas infinito como el autómata celular, de hecho, la longitud de cada cadena es variable a través del proceso así que para permitir la compatibilidad en cuanto al espacio infinito del autómata celular se añadirá un símbolo al alfabeto de este porque el alfabeto autómata celular contendrá el alfabeto del sistema tag y además un símbolo que represente al espacio vacío o nulo para abarcar el espacio infinito del autómata celular y extenderse a los laterales de cada cadena del sistema tag y de todas las cadenas intermedias delimitando el inicio y final de estas.

# Capítulo 5

## Autómatas Celulares que Simulan Sistemas Tag

### 5.1. Sistema Tag de la Sucesión de Thue-Morse

La sucesión de Thue-Morse es una sucesión de dígitos binarios que se obtiene al concatenar el complemento booleano de cada cadena empezando desde el cero. Se puede plantear de la siguiente forma:

$$T_0 = 0$$

$$T_n = T_{n-1} \neg T_{n-1}$$

La sucesión hasta  $n = 6$  es:

$$T_0 = 0$$

$$T_1 = 01$$

$$T_2 = 0110$$

$$T_3 = 01101001$$

$$T_4 = 0110100110010110$$

$$T_5 = 01101001100101101001011001101001$$

$$T_6 = 0110100110010110100101100110100110010110011010010110100110010110$$

Se nota que la cadena crece de manera exponencial a razón de  $2^n$ . El sistema tag que simula dicha sucesión es [11] :

$$0 \rightarrow 01, 1 \rightarrow 10$$

$$P = 1$$

Las primeras transiciones de este sistema tag hasta que generan  $T_4$  son:

<b>0</b>															
<b>0</b>	<b>1</b>														
1	0	1													
<b>0</b>	<b>1</b>	<b>1</b>	<b>0</b>												
1	1	0	0	1											
1	0	0	1	1	0										
0	0	1	1	0	1	0									
<b>0</b>	<b>1</b>	<b>1</b>	<b>0</b>	<b>1</b>	<b>0</b>	<b>0</b>	<b>1</b>								
1	1	0	1	0	0	1	0	1							
1	0	1	0	0	1	0	1	1	0						
0	1	0	0	1	0	1	1	0	1	0					
1	0	0	1	0	1	1	0	1	0	0	1				
0	0	1	0	1	1	0	1	0	0	1	1	0			
0	1	0	1	1	0	1	0	0	1	1	0	0	1		
1	0	1	1	0	1	0	0	1	1	0	0	1	0	1	
<b>0</b>	<b>1</b>	<b>1</b>	<b>0</b>	<b>1</b>	<b>0</b>	<b>0</b>	<b>1</b>	<b>1</b>	<b>0</b>	<b>0</b>	<b>1</b>	<b>0</b>	<b>1</b>	<b>1</b>	<b>0</b>

Tabla 5.1: Primeras 16 transiciones del sistema tag de la sucesión de Thue-Morse con la cadena inicial 0.

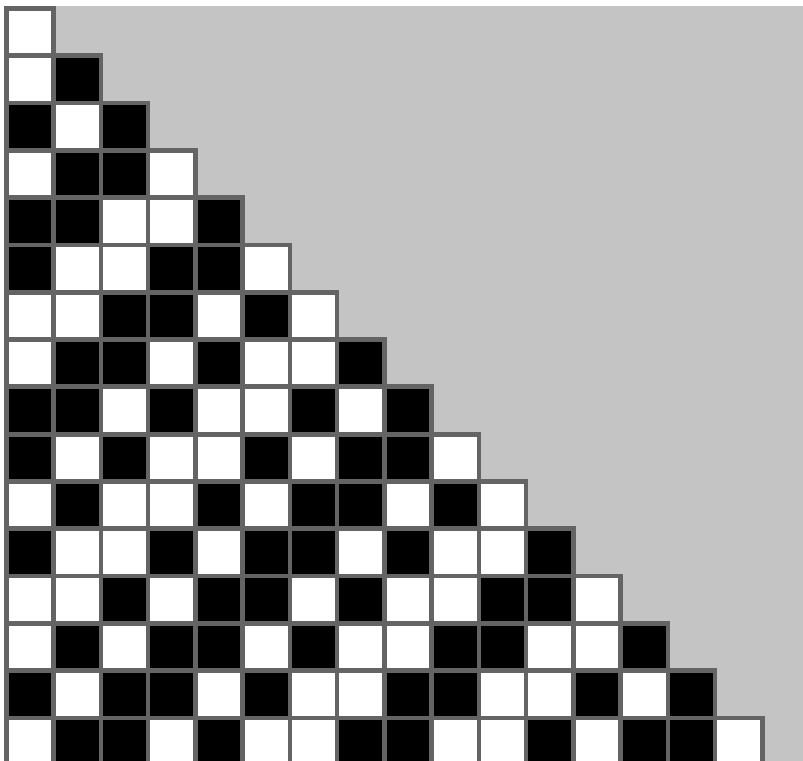


Figura 5.1: Visualización de las primeras 16 evoluciones del sistema tag  $0 \rightarrow 01, 1 \rightarrow 10; P = 1$

Este sistema tag necesita de  $2^n$  transiciones para llegar a la cadena  $T_n$  y tiene una definición simple, así que se puede proponer un autómata celular que lo simule.

Como cada transición del sistema tag producen una cadena unidimensional, un autómata celular unidimensional será óptimo para simularlo. Aunque es necesario realizar un análisis de los patrones que se encuentran en el sistema tag.

### 5.1.1. Análisis del Sistema Tag de la Sucesión de Thue-Morse

De manera fenotípica se observa un patrón en el sistema tag, gracias a que su número de borrado es  $P = 1$  se nota un corrimiento a la izquierda de un carácter por transición y aumenta uno a la izquierda.

Aunque es de primera instancia según lo que se observa que existe un problema

abierto a resolver: ¿se pueden encontrar las reglas de transición de un autómata celular unidimensional que simulen dicho comportamiento? Una primera respuesta a esta pregunta es: no. Debido a que la naturaleza del sistema tag viene de la verificación del primer carácter que encuentra en el extremo izquierdo para decidir que cadena se adjuntará en el extremo derecho y un autómata celular tiene un rango específico y constante en el que se basan sus reglas de transición y se desenvuelven en un espacio infinito de celdas así que no puede verificar el extremo izquierdo de la cadena cuando esta tenga una extensión mayor al radio. Por lo tanto, es indeterminado que una regla de transición simule el comportamiento de la regla de producción o el patrón fenotípico del sistema tag.

Cabe señalar que la capacidad de computación y memoria de una computadora actual no permite disponer del espacio infinito de celdas, pero se soluciona de la siguiente manera: sea  $L$  un arreglo de celdas de longitud  $n$  la vecindad para la celda  $w_1$  es  $w_n w_1 w_2$  y la vecindad para la última celda  $w_n$  es  $w_{n-1} w_n w_1$ . De modo que los extremos del arreglo de celdas están conectados para dar continuidad espacial, esto soluciona muchos problemas sobre la limitación computacional.

Un autómata celular cuyas reglas generen un mecanismo capaz de simular el borrado y la adición de la cadena adjunta de cada regla de producción es posible. Así que definiremos al autómata celular unidimensional como:

$$A_C = (\Sigma_{AC}, L, u, f)$$

Donde:

- $\Sigma_A$  es el alfabeto del autómata celular
- $L$  es un arreglo de dimensión  $d = 1$
- $u$  es la vecindad que está conformada por una celda central y las celdas a sus laterales con un radio  $r = 1$

- $f$  es la función de transición que está conformada por las reglas de transición que se describen a continuación.

### 5.1.2. Reglas para el Borrado

En primer lugar, el sistema tag no tiene un número infinito de celdas donde desenvolverse, así que la extensión a los laterales de la cadena inicial se rellenará con un símbolo vacío o nulo  $N$ .

Luego es necesario simular el borrado del sistema tag, esta tarea se realizará mediante la adición de algunos símbolos de su alfabeto. Los símbolos adicionales y su aplicación son los siguientes:

- Para sustituir el primer carácter de la cadena y posteriormente saber que cadena se añadirá al final se necesita un número de símbolos auxiliares igual al número de símbolos que hay en el alfabeto del sistema tag. Como son dos  $\{0, 1\}$  se utilizarán los símbolos auxiliares  $a, b$  cada uno va a corresponder al que sustituirán  $a \rightarrow 0$  y  $b \rightarrow 1$ .
- Posteriormente, los símbolos auxiliares  $\{a, b\}$  tienen que desplazarse al final de la cadena y mientras esto sucede hay que evitar que vuelvan a generarse en cada evolución si no hasta que termine de añadirse la cadena correspondiente en el extremo derecho, para lograr dicho bloqueo se utilizará el símbolo  $L$ . Este símbolo permanecerá en el extremo izquierdo de la cadena hasta que termine la concatenación de la cadena adjunta correspondiente.
- Para finalizar con el borrado debe haber un símbolo que sirva como bandera para el desbloqueo, que se elimine junto con el símbolo  $L$  y que pueda generarse otro de los símbolos auxiliares  $\{a, b\}$  este símbolo será  $U$ . Así el conjunto de símbolos  $\{L, U\}$  serán los símbolos de control o banderas.

Hasta el momento, para el borrado del sistema tag, el autómata celular usará el abecedario:

$$\Sigma_{AC} = \{N, 0, 1, a, b, L, U\}$$

Estas descripciones se tienen que expresar en reglas de transición. El símbolo  $X$  puede sustituirse con un símbolo cualquiera del abecedario del autómata celular.

N	0	X	→	a
N	1	X	→	b
X	N	a	→	L
X	N	b	→	L
X	L	0	→	L
X	L	1	→	L
L	U	0	→	N
L	U	1	→	N
X	L	U	→	N

Tabla 5.2: Reglas de transición para el borrado del sistema tag  $0 \rightarrow 01, 1 \rightarrow 10; P = 1$

### 5.1.3. Reglas para el Desplazamiento de los Símbolos

Para determinar la cadena adjunta que se concatenará al final de la cada cadena según su primer carácter los símbolos auxiliares deben desplazarse a través de la cadena hasta el lado derecho de esta. Así mismo cuando se ha añadido la cadena adjunta es necesario desplazar la bandera  $U$  para desbloquear o eliminar la bandera  $L$ , todo esto entre los símbolos del alfabeto del sistema tag  $\{0, 1\}$ .

a	0	X	→	a
a	1	X	→	a
b	0	X	→	b
b	1	X	→	b
X	a	0	→	0
X	b	0	→	0
X	a	1	→	1
X	b	1	→	1

Tabla 5.3: Reglas de desplazamiento a la derecha para los símbolos auxiliares  $\{a, b\}$ .

L	0	U	→	U
0	0	U	→	U
1	0	U	→	U
L	1	U	→	U
0	1	U	→	U
1	1	U	→	U
0	U	X	→	0
1	U	X	→	1

Tabla 5.4: Reglas de desplazamiento a la izquierda para la bandera  $U$ .

#### 5.1.4. Reglas para Concatenar la Cadena Adjunta

Como se ha visto hay un símbolo auxiliar por cada símbolo del alfabeto del sistema tag ( $0 \rightarrow a$  y  $1 \rightarrow b$ ) y se desplazarán desde el extremo izquierdo al extremo derecho de la cadena. Una vez que esto sucede se debe comenzar a concatenar la cadena adjunta, para lograr esto se necesitan otros símbolos auxiliares, el número de

estos símbolos auxiliares será dado por la longitud de cada cadena adjunta, es decir, en el caso de este sistema tag se tienen: 01, 10. Por si solos, los símbolos  $a, b$  pueden añadir un carácter de la cadena adjunta que le corresponde a cada uno debido al alcance que tiene el autómata celular por el radio  $r = 1$ .

Por lo tanto, se deben añadir otros dos símbolos auxiliares  $\{c, d\}$  porque cada cadena auxiliar es de longitud: 2. Así, cada uno de estos dos símbolos terminará de concatenar la cadena adjunta y generará la bandera de desbloqueo  $U$ . Tienen su correspondencia con los símbolos  $\{a, b\}$  respectivamente ( $a \rightarrow c$  y  $b \rightarrow d$ ). Dicho funcionamiento se puede describir como:

- Cuando  $a$  llegue al final de la cadena de ceros y unos deberá realizar dos cosas:
  - 1) agregar el símbolo 0 y 2) agregar el símbolo auxiliar  $c$ .

0	a	N	→	0
1	a	N	→	0
0	a	L	→	0
1	a	L	→	0
a	N	X	→	c
a	N	X	→	c
a	L	X	→	c
a	L	X	→	c

- Las funciones para el símbolo auxiliar  $c$  son: 1) agregar el símbolo 1 y 2) agregar la bandera  $U$ .

0	c	N	→	1
1	c	N	→	1
0	c	L	→	1
1	c	L	→	1
c	N	X	→	U
c	N	X	→	U
c	L	X	→	N
c	L	X	→	N

- Cuando  $b$  llegue al final de la cadena de ceros y unos deberá realizar dos cosas:  
1) agregar el símbolo 1 y 2) agregar el símbolo auxiliar  $d$ .

0	b	N	→	1
1	b	N	→	1
0	b	L	→	1
1	b	L	→	1
b	N	X	→	d
b	N	X	→	d
b	L	X	→	d
b	L	X	→	d

- Las funciones para el símbolo auxiliar  $d$  son: 1) agregar el símbolo 0 y 2) agregar la bandera  $U$ .

0	d	N	→	0
1	d	N	→	0
0	d	L	→	0
1	d	L	→	0
d	N	X	→	U
d	N	X	→	U
d	L	X	→	N
d	L	X	→	N

De esta manera se habrán agregado otros dos símbolos auxiliares al alfabeto del autómata celular. Estos son los últimos símbolos así que el alfabeto completo es el siguiente:

$$\Sigma_{AC} = \{N, 0, 1, a, b, c, d, L, U\}$$

### 5.1.5. Reglas de Estabilidad

Mientras cada una de las reglas anteriormente definidas dan lugar al mecanismo del sistema tag es necesario identificar las reglas de transición capaces de estabilizar el funcionamiento del autómata celular. Como se mencionó existen símbolos de control o banderas que permiten controlar la generación de los símbolos auxiliares, pero hay que permitir que existe estabilidad en cada evolución. Es decir, para los símbolos  $\{N, 1, 0\}$  se deben establecer reglas que especifiquen un espacio estable. Estas reglas son:

N	N	N	→	N
N	N	L	→	N
N	N	0	→	N
N	N	1	→	N
0	N	N	→	N
0	N	L	→	N
1	N	N	→	N
1	N	L	→	N
U	N	N	→	N
U	N	L	→	N

Tabla 5.5: Reglas de estabilidad para el espacio vacío.

0	0	0	→	0
0	0	1	→	0
0	0	N	→	0
0	0	L	→	0
0	0	a	→	0
0	0	b	→	0
0	0	c	→	0
0	0	d	→	0
1	0	0	→	0
1	0	1	→	0
1	0	N	→	0
1	0	L	→	0

1	0	a	→	0
1	0	b	→	0
1	0	c	→	0
1	0	d	→	0
L	0	0	→	0
L	0	1	→	0
L	0	N	→	0
L	0	L	→	0
L	0	a	→	0
L	0	b	→	0
L	0	c	→	0
L	0	d	→	0
U	0	0	→	0
U	0	1	→	0
U	0	N	→	0
U	0	L	→	0
U	0	a	→	0
U	0	b	→	0
U	0	c	→	0
U	0	d	→	0
0	1	0	→	1
0	1	1	→	1
0	1	N	→	1
0	1	L	→	1
0	1	a	→	1
0	1	b	→	1
0	1	c	→	1
0	1	d	→	1

1	1	0	→	1
1	1	1	→	1
1	1	N	→	1
1	1	L	→	1
1	1	a	→	1
1	1	b	→	1
1	1	c	→	1
1	1	d	→	1
L	1	0	→	1
L	1	1	→	1
L	1	N	→	1
L	1	L	→	1
L	1	a	→	1
L	1	b	→	1
L	1	c	→	1
L	1	d	→	1
U	1	0	→	1
U	1	1	→	1
U	1	N	→	1
U	1	L	→	1
U	1	a	→	1
U	1	b	→	1
U	1	c	→	1
U	1	d	→	1

Tabla 5.6: Reglas de estabilidad para los unos y ceros.

En este autómata celular y en los posteriores se establece una regla general pa-

ra cualquier otro caso en el que no exista una regla para la vecindad  $w_{n-1}w_nw_{n+1}$ ,  $w_{n-1}, w_n, w_{n+1} \in \Sigma_{AC}$ .

$$\boxed{w_{n-1} \quad w_n \quad w_{n+1}} \rightarrow \boxed{w_{n-1}}$$

Tabla 5.7: Regla para cualquier otro caso.

### 5.1.6. Pruebas de Simulación del Autómata Celular Unidimensional

Una vez modelado el autómata celular unidimensional que simulará el sistema tag de la sucesión de Thue-Morse se obtienen las evoluciones para comprobar que el modelo se estableció correctamente. De esta manera se obtienen las primeras 51 evoluciones del autómata con una cadena inicial  $N0NNNNNNNNNNNN$  que es equivalente a la cadena 0 en el sistema tag. Posteriormente, se utilizarán colores para observar la dinámica de manera sencilla.

En la siguiente tabla se tienen los valores de cada celda donde la longitud del espacio de las celdas es de 14. En las primeras 51 evoluciones de este autómata se obtienen 6 de las cadenas resultantes en el sistema tag de la sucesión de Thue-Morse. De manera gráfica está en la Figura 5.2 y en la Figura 5.3 se presentan 500 evoluciones con una configuración inicial aleatoria.

N	0	N	N	N	N	N	N	N	N	N	N	N
N	a	N	N	N	N	N	N	N	N	N	N	N
L	0	c	N	N	N	N	N	N	N	N	N	N
L	0	1	U	N	N	N	N	N	N	N	N	N
L	0	U	1	N	N	N	N	N	N	N	N	N
L	U	0	1	N	N	N	N	N	N	N	N	N
N	N	0	1	N	N	N	N	N	N	N	N	N
N	N	a	1	N	N	N	N	N	N	N	N	N
N	L	1	a	N	N	N	N	N	N	N	N	N
N	L	1	0	c	N	N	N	N	N	N	N	N
N	L	1	0	1	U	N	N	N	N	N	N	N
N	L	1	0	U	1	N	N	N	N	N	N	N
N	L	1	U	0	1	N	N	N	N	N	N	N
N	N	N	1	0	1	N	N	N	N	N	N	N
N	N	N	b	0	1	N	N	N	N	N	N	N
N	N	L	0	b	1	N	N	N	N	N	N	N
N	N	L	0	1	b	N	N	N	N	N	N	N
N	N	L	0	1	1	d	N	N	N	N	N	N
N	N	L	0	1	1	0	U	N	N	N	N	N
N	N	L	0	1	1	U	0	N	N	N	N	N
N	N	L	0	1	U	1	0	N	N	N	N	N
N	N	L	0	U	1	1	0	N	N	N	N	N
N	N	L	U	0	1	1	0	N	N	N	N	N
N	N	N	N	0	1	1	0	N	N	N	N	N
N	N	N	N	a	1	1	0	N	N	N	N	N
N	N	N	L	1	a	1	0	N	N	N	N	N

N	N	N	L	1	1	a	0	N	N	N	N	N
N	N	N	L	1	1	0	a	N	N	N	N	N
N	N	N	L	1	1	0	0	c	N	N	N	N
N	N	N	L	1	1	0	0	1	U	N	N	N
N	N	N	L	1	1	0	0	U	1	N	N	N
N	N	N	L	1	1	0	U	0	1	N	N	N
N	N	N	L	1	1	U	0	0	1	N	N	N
N	N	N	L	1	U	1	0	0	1	N	N	N
N	N	N	L	U	1	1	0	0	1	N	N	N
N	N	N	N	N	1	1	0	0	1	N	N	N
N	N	N	N	N	b	1	0	0	1	N	N	N
N	N	N	N	L	1	b	0	0	1	N	N	N
N	N	N	N	L	1	0	b	0	1	N	N	N
N	N	N	N	L	1	0	0	b	1	N	N	N
N	N	N	N	L	1	0	0	1	b	N	N	N
N	N	N	N	L	1	0	0	1	1	d	N	N
N	N	N	N	L	1	0	0	1	1	0	U	N
N	N	N	N	L	1	0	0	1	1	U	0	N
N	N	N	N	L	1	0	0	1	U	1	0	N
N	N	N	N	L	1	0	0	U	1	1	0	N
N	N	N	N	L	1	0	U	0	1	1	0	N
N	N	N	N	L	1	U	0	0	1	1	0	N
N	N	N	N	L	U	1	0	0	1	1	0	N
N	N	N	N	N	N	1	0	0	1	1	0	N

Tabla 5.8: Primeras 51 evoluciones del autómata celular que simula el sistema tag de la sucesión de Thue-Morse con la cadena inicial  $N0NNNNNNNNNN$ .

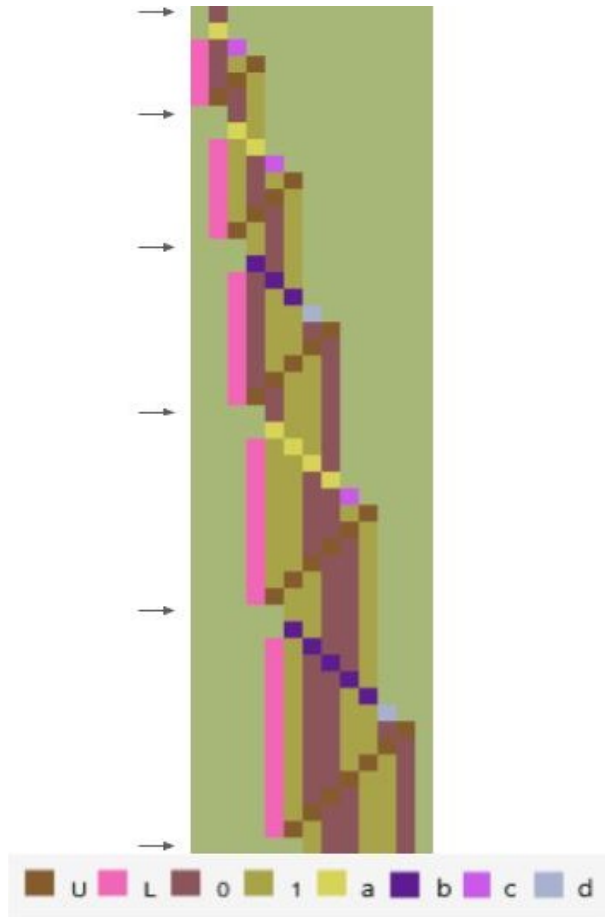


Figura 5.2: Primeras 51 evoluciones del autómata celular que simula el sistema tag de la sucesión de Thue-Morse con la cadena inicial *N0NNNNNNNNNN*.



Figura 5.3: Primeras 500 evoluciones del autómata celular que simula el sistema tag de la sucesión de Thue-Morse con una cadena inicial aleatoria.

## 5.2. Sistema Tag del Problema de la Etiqueta

Como se vio en el capítulo 3 el sistema tag del problema de la etiqueta ha sido objeto de estudio para investigadores como Emil Post [8], Marvin Minsky [5] y Stephen Wolfram [12]. Emil Post lo catalogó como un problema intratable, Marvin Minsky encontró que en general los sistemas tag son indecidibles y Stephen Wolfram, a pesar de intentar reducirlo, lo ha encontrado irreductible aún.

En esta ocasión se propone un autómata celular unidimensional capaz de simular el famoso sistema tag:

$$0 \rightarrow 00, 1 \rightarrow 1101$$

$$P = 3$$

De antemano, en la tabla 5.9 y la figura 5.4 se observan las primeras transiciones de dicho sistema tag.

1	0	0	1	0	0	1	0	0	1						
1	0	0	1	0	0	1	1	1	0	1					
1	0	0	1	1	1	0	1	1	1	0	1				
1	1	1	0	1	1	1	0	1	1	1	0	1			
0	1	1	1	0	1	1	1	0	1	1	1	0	1		
1	0	1	1	1	0	1	1	1	0	1	0	0			
1	1	0	1	1	1	0	1	0	0	1	1	0	1		
1	1	1	0	1	0	0	1	1	0	1	1	1	0	1	
0	1	0	0	1	1	0	1	1	1	0	1	1	1	0	1
0	1	1	0	1	1	1	0	1	1	1	0	1	0	0	
0	1	1	1	0	1	1	1	0	1	0	0	0	0		
1	0	1	1	1	0	1	0	0	0	0	0	0			
1	1	0	1	0	0	0	0	0	0	1	1	0	1		
1	0	0	0	0	0	0	1	1	0	1	1	1	0	1	
0	0	0	0	1	1	0	1	1	1	0	1	1	1	0	1
0	1	1	0	1	1	1	0	1	1	1	0	1	0	0	
0	1	1	1	0	1	1	1	0	1	0	0	0	0		
1	0	1	1	1	0	1	0	0	0	0	0	0			

Tabla 5.9: Primeras 18 transiciones del sistema  $0 \rightarrow 00, 1 \rightarrow 1101$ ;  $P = 3$  con la cadena inicial 1001001001.

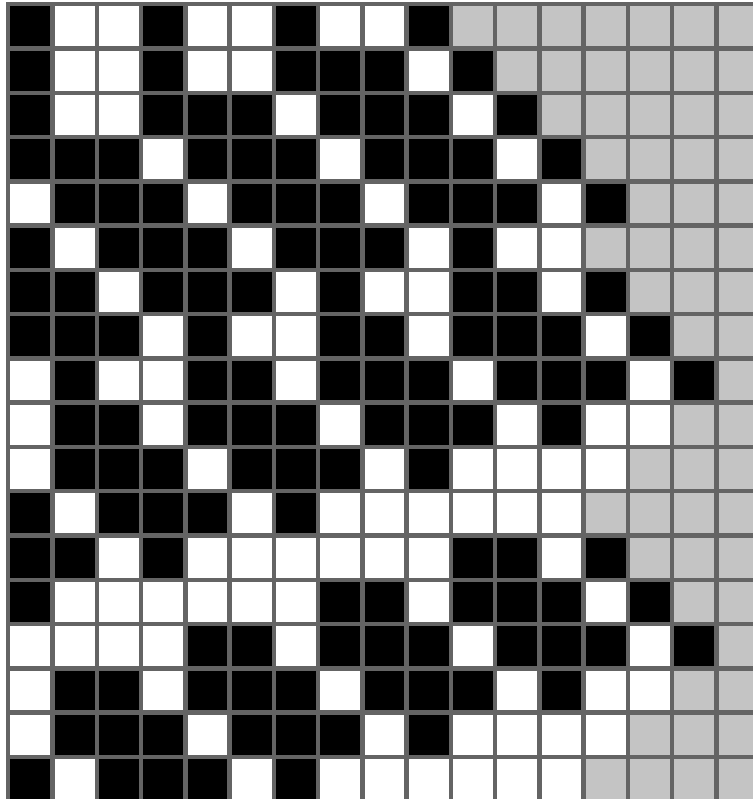


Figura 5.4: Primeras 18 transiciones del sistema  $tag\ 0 \rightarrow 00, 1 \rightarrow 1101$ ;  $P = 3$  con la cadena inicial 1001001001.

### 5.2.1. Método Heurístico para encontrar el Autómata Celular Equivalente

Un autómata celular cuyas reglas generen un mecanismo capaz de simular el borrado y la adición de la cadena adjunta de cada regla de producción es posible. Así que definiremos al autómata celular unidimensional como:

$$A_C = (\Sigma_{AC}, L, u, f)$$

Donde:

- $\Sigma_{AC}$  es el alfabeto del autómata celular

- $L$  es un arreglo de dimensión  $d = 1$
- $u$  es la vecindad que está conformada por una celda central y las celdas a sus laterales con un radio  $r = 1$
- $f$  es la función de transición que está conformada por las reglas de transición que se describen a continuación.

Al utilizar los datos que se pueden obtener de la definición de este sistema tag tales como:

- El abecedario como  $\Sigma_{TS} = \{0, 1\}$ .
- El conjunto de reglas de producción como  $R_{TS} = \{0 \rightarrow 00, 1 \rightarrow 1101\}$ .
- El conjunto de cadenas adjuntas como  $A_{TS} = \{00, 1101\}$ .
- El número de borrado  $P = 3$ .

El alfabeto  $\Sigma_{AC}$  se obtiene por:

$$\Sigma_{AC} = \{N\} \cup \Sigma_{CT} \cup \Sigma_{TS} \cup \Sigma_P \cup \Sigma_S \cup \Sigma_A$$

Donde:

- $\{N\}$  es el símbolo del espacio nulo.
- $\Sigma_{CT} = \{L, U\}$  el conjunto de símbolos de control o banderas.
- $\Sigma_{TS} = \{0, 1\}$  el alfabeto del sistema tag.
- $\Sigma_P$  es el conjunto de símbolos para borrado.
- $\Sigma_S$  es el conjunto de símbolos para envío de señal.
- $\Sigma_A$  es el conjunto de símbolos para adjuntar cadenas.

### 5.2.2. Borrado y Bloqueo

En la subsección 4.1.2 se definió un mecanismo y reglas para hacer el borrado de un sistema tag con  $P = 1$  y gracias a esa característica fue posible el funcionamiento, pero para un sistema tag con  $P = 3$  no es posible aplicar al menos en parte este funcionamiento, pero existe una compatibilidad entre el modelo de este autómata celular y el anterior.

Como se hizo para el autómata celular de la sección anterior el alfabeto del sistema tag  $\Sigma_{TS} = \{0, 1\}$  se necesita un símbolo auxiliar por cada uno perteneciente al alfabeto  $\Sigma_S$  para representar un envío de señal que se detallará en la siguiente subsección. Para esta sección el alfabeto  $\Sigma_S$  se utilizará también en el borrado, y se obtiene de:

$$|\Sigma_S| = |\Sigma_{TS}| = 2$$

De manera arbitraria se utilizarán:

$$\Sigma_S = \{a, b\}$$

Como es necesario saber cuál es el primer símbolo de la cadena y enviar una señal diferente para cada  $\sigma_i \in \Sigma_{TS}$ , se tienen que utilizar símbolos diferentes para el borrado en cada caso contando los de  $\Sigma_S$ .  $\Sigma_P$  es el alfabeto que tiene exclusivamente símbolos auxiliares de borrado. Los cuales se obtienen de:

$$|\Sigma_P| = |\Sigma_{TS}|(P - 1) = 2(3 - 1) = 2(2) = 4$$

De manera arbitraria se utilizarán:

$$\Sigma_P = \{w, x, y, z\}$$

Es importante sustituir los primeros tres caracteres de la cadena por el símbolo  $N$  para simular el borrado  $P = 3$  pero el autómata celular debe poder diferenciar cuál era el primer símbolo para saber que cadena concatenar al final,  $\{a, b\}$  como ya vimos, ayudan a borrar un carácter y para borrar los otros dos se usaran los símbolos de  $\Sigma_P$ , dos para cada caso. Si el primer símbolo es 0 entonces los símbolos auxiliares del borrado serán  $\{w, y\}$  y si el primer símbolo es 1 los símbolos auxiliares del borrado serán  $\{x, z\}$ . De manera que cuando el primer carácter de la cadena sea 0 se sustituirá por  $w$  y el siguiente carácter se sustituirá por  $y$  y finalmente el siguiente por  $a$  gracias a que como en el autómata anterior el símbolo auxiliar  $a$  corresponde al 0 para que se desplace al final de la cadena y saber que cadena adjunta se concatenará. Las sucesiones entre cada símbolo auxiliar de borrado se aplicarán según el primer carácter de la cadena, cada dos  $p_i \in \Sigma_P$  pertenecerán al borrado de cada  $\sigma_i \in \Sigma_{TS}$ .

$$0 \rightarrow w \rightarrow y \rightarrow a \rightarrow L$$

$$1 \rightarrow x \rightarrow z \rightarrow b \rightarrow L$$

Para finalizar el borrado sucederá exactamente de la misma manera que el autómata celular de la sección 4.1 en el cual se eliminan  $L$  y  $U$  cuando están a un lado del otro.

Estas descripciones se tienen que expresar en reglas de transición, simplificándolas con expresiones regulares. El símbolo  $X$  puede sustituirse con un símbolo cualquiera del abecedario del autómata celular.

N	0	$\Sigma_{AC}^+$	$\rightarrow$	w
N	1	$\Sigma_{AC}^+$	$\rightarrow$	x
w	$\Sigma_{AC}^+$	$\Sigma_{AC}^+$	$\rightarrow$	y
x	$\Sigma_{AC}^+$	$\Sigma_{AC}^+$	$\rightarrow$	z
y	$\Sigma_{AC}^+$	$\Sigma_{AC}^+$	$\rightarrow$	a
z	$\Sigma_{AC}^+$	$\Sigma_{AC}^+$	$\rightarrow$	b
N	$(w + x + y + z)$	$\Sigma_{AC}^+$	$\rightarrow$	N
$\Sigma_{AC}^+$	N	$(a + b)$	$\rightarrow$	L
$\Sigma_{AC}^+$	L	$(0 + 1)$	$\rightarrow$	L
L	U	$(0 + 1)$	$\rightarrow$	N
X	L	U	$\rightarrow$	N

Tabla 5.10: Reglas de transición para el borrado del sistema tag  $0 \rightarrow 00, 1 \rightarrow 1101; P = 3$ .

### 5.2.3. Envío de Señal

El alfabeto  $\Sigma_S$  definido para contener los símbolos auxiliares que se encargarán de ser la señal que llegará del principio de la cadena hasta el final para saber que cadena adjunta se concatenará. Cada  $s_i \in \Sigma_S$  corresponde a un  $\sigma_i \in \Sigma_{TS}$ .

$$0 \rightarrow a$$

$$1 \rightarrow b$$

La compatibilidad de esta definición de autómata celular con el anterior permite que las mismas reglas de desplazamiento del autómata celular anterior puedan aplicarse a este, finalmente se tienen que desplazar los símbolos  $\{a, b\}$  a la derecha. En esta ocasión se muestran las reglas simplificadas por expresiones regulares.

a	(0 + 1)	$\Sigma_{AC}^+$	→	a
b	(0 + 1)	$\Sigma_{AC}^+$	→	b
$\Sigma_{AC}^+$	(a + b)	0	→	0
$\Sigma_{AC}^+$	(a + b)	1	→	1

Tabla 5.11: Reglas de transición para el envío de señal del sistema tag  $0 \rightarrow 00, 1 \rightarrow 1101$ ;  $P = 3$ .

#### 5.2.4. Reglas para Concatenar la Cadena Adjunta

El último alfabeto  $\Sigma_A$  que es el que contendrá los símbolos auxiliares para concatenar la cadena adjunta. El número de símbolos a utilizar se calcula con la suma de cada  $|A_i| > 0$  donde  $A_i \in A_{TS}$ .

$$|\Sigma_A| = \sum_{i=1}^{|A_{TS}|} |A_i| - 1, |A_i| > 0$$

$$|\Sigma_A| = 4$$

Gracias a que se tienen los símbolos auxiliares  $\{a, b\}$  que corresponden con  $0 \rightarrow a$  y  $1 \rightarrow b$  y estos dos a su vez pueden añadir un símbolo de su respectiva  $A_i$ . Es decir, que para la cadena adjunta  $A_1 = 00$  se necesita 1 símbolo auxiliar y para  $A_2 = 1101$  son 3 símbolos auxiliares, estos son:  $\{c\}$  y  $\{d, e, f\}$  respectivamente.

$$00 \Rightarrow a \rightarrow c \rightarrow U$$

$$1101 \Rightarrow b \rightarrow d \rightarrow e \rightarrow f \rightarrow U$$

Cuyas reglas con expresiones regulares son las siguientes:

a	(N + L)	$\Sigma_{AC}^+$	→	c
(N + 0 + 1)	a	(N + L)	→	0
c	(N + L)	$\Sigma_{AC}^+$	→	U
(N + 0 + 1)	c	(N + L)	→	0

Tabla 5.12: Reglas para la concatenación de la cadena 00.

b	(N + L)	$\Sigma_{AC}^+$	→	d
(N + 0 + 1)	b	(N + L)	→	1
d	(N + L)	$\Sigma_{AC}^+$	→	e
(N + 0 + 1)	d	(N + L)	→	1
e	(N + L)	$\Sigma_{AC}^+$	→	f
(N + 0 + 1)	e	(N + L)	→	0
f	(N + L)	$\Sigma_{AC}^+$	→	U
(N + 0 + 1)	f	(N + L)	→	1

Tabla 5.13: Reglas para la concatenación de la cadena 1101.

Las reglas anteriormente descritas en realidad funcionan de la misma manera para cada caso y a partir de este punto se obtiene el alfabeto del autómata celular  $A_C$ .

$$\Sigma_{CA} = \{N, 0, 1, w, x, y, z, a, b, c, d, e, f, L, U\}$$

### 5.2.5. Desbloqueo

Cuando la bandera  $U$  está al final de la cadena se desplazará al principio de esta para quitar la bandera  $L$  para comenzar el proceso de nuevo. Este comportamiento se expresa en las siguientes reglas:

0	U	$\Sigma_{AC}^+$	$\rightarrow$	0
1	U	$\Sigma_{AC}^+$	$\rightarrow$	1
$(L + 0 + 1)$	$(0 + 1)$	U	$\rightarrow$	U

Tabla 5.14: Reglas de para el desbloqueo.

### 5.2.6. Reglas de Estabilidad

Mientras cada una de las reglas anteriormente definidas dan lugar al mecanismo del sistema tag es necesario identificar las reglas de transición capaces de estabilizar el funcionamiento del autómata celular. Es decir, para los símbolos  $\{N, 1, 0\}$  se deben establecer reglas que especifiquen un espacio estable. Estas reglas son:

N	N	$(N + L + 0 + 1 + w + x + y + z)$	$\rightarrow$	N
$(U + 0 + 1 + w + x + y + z)$	N	$(N + L)$	$\rightarrow$	N

Tabla 5.15: Reglas de estabilidad para el espacio vacío.

$(L + U + 0 + 1)$	0	$(N + L + 0 + 1 + a + b + c + d + e + f)$	$\rightarrow$	0
$(L + U + 0 + 1)$	1	$(N + L + 0 + 1 + a + b + c + d + e + f)$	$\rightarrow$	1

Tabla 5.16: Reglas de estabilidad para los ceros y unos.

### 5.2.7. Pruebas de Simulación del Autómata Celular Unidimensional

Para comprobar que el modelo de autómata celular unidimensional realmente simula el Sistema Tag del Problema de la Etiqueta es necesario hacer una prueba de escritorio. De esta manera se obtienen las primeras 47 evoluciones del autómata

con una cadena inicial  $N100011100NNNNNNNNNN$  que es equivalente a la cadena  $100011100$  en el sistema tag. Posteriormente, se utilizarán colores para observar la dinámica de manera sencilla.

En la siguiente tabla se tienen los valores de cada celda donde la longitud del espacio de las celdas es de 20. En las primeras 47 evoluciones de este autómeta se obtienen 3 de las cadenas resultantes en el sistema tag. De manera gráfica está en la Figura 5.5 y en la Figura 5.6 se encuentran las primeras 500 evoluciones de una cadena inicial aleatoria.

N	1	0	0	0	1	1	1	0	0	N	N	N	N	N	N	N	N	N	N
N	x	0	0	0	1	1	1	0	0	N	N	N	N	N	N	N	N	N	N
N	N	z	0	0	1	1	1	0	0	N	N	N	N	N	N	N	N	N	N
N	N	N	b	0	1	1	1	0	0	N	N	N	N	N	N	N	N	N	N
N	N	L	0	b	1	1	1	0	0	N	N	N	N	N	N	N	N	N	N
N	N	L	0	1	b	1	1	0	0	N	N	N	N	N	N	N	N	N	N
N	N	L	0	1	1	b	1	0	0	N	N	N	N	N	N	N	N	N	N
N	N	L	0	1	1	1	b	0	0	N	N	N	N	N	N	N	N	N	N
N	N	L	0	1	1	1	0	b	0	N	N	N	N	N	N	N	N	N	N
N	N	L	0	1	1	1	0	0	b	N	N	N	N	N	N	N	N	N	N
N	N	L	0	1	1	1	0	0	1	d	N	N	N	N	N	N	N	N	N
N	N	L	0	1	1	1	0	0	1	1	e	N	N	N	N	N	N	N	N
N	N	L	0	1	1	1	0	0	1	1	0	f	N	N	N	N	N	N	N
N	N	L	0	1	1	1	0	0	1	1	0	1	U	N	N	N	N	N	N
N	N	L	0	1	1	1	0	0	1	1	0	U	1	N	N	N	N	N	N
N	N	L	0	1	1	1	0	0	1	1	U	0	1	N	N	N	N	N	N
N	N	L	0	1	1	1	0	0	1	U	1	0	1	N	N	N	N	N	N

N	N	L	0	1	1	1	0	0	U	1	1	0	1	N	N	N	N	N	N
N	N	L	0	1	1	1	0	U	0	1	1	0	1	N	N	N	N	N	N
N	N	L	0	1	1	1	U	0	0	1	1	0	1	N	N	N	N	N	N
N	N	L	0	1	1	U	1	0	0	1	1	0	1	N	N	N	N	N	N
N	N	L	0	1	U	1	1	0	0	1	1	0	1	N	N	N	N	N	N
N	N	L	0	U	1	1	1	0	0	1	1	0	1	N	N	N	N	N	N
N	N	L	U	0	1	1	1	0	0	1	1	0	1	N	N	N	N	N	N
N	N	N	N	0	1	1	1	0	0	1	1	0	1	N	N	N	N	N	N
N	N	N	N	w	1	1	1	0	0	1	1	0	1	N	N	N	N	N	N
N	N	N	N	N	y	1	1	0	0	1	1	0	1	N	N	N	N	N	N
N	N	N	N	N	N	a	1	0	0	1	1	0	1	N	N	N	N	N	N
N	N	N	N	N	L	1	a	0	0	1	1	0	1	N	N	N	N	N	N
N	N	N	N	N	L	1	0	a	0	1	1	0	1	N	N	N	N	N	N
N	N	N	N	N	L	1	0	0	a	1	1	0	1	N	N	N	N	N	N
N	N	N	N	N	L	1	0	0	1	1	a	0	1	N	N	N	N	N	N
N	N	N	N	N	L	1	0	0	1	1	0	a	1	N	N	N	N	N	N
N	N	N	N	N	L	1	0	0	1	1	0	1	a	N	N	N	N	N	N
N	N	N	N	N	L	1	0	0	1	1	0	1	0	c	N	N	N	N	N
N	N	N	N	N	L	1	0	0	1	1	0	1	0	0	U	N	N	N	N
N	N	N	N	N	L	1	0	0	1	1	0	1	0	U	0	N	N	N	N
N	N	N	N	N	L	1	0	0	1	1	0	1	U	0	0	N	N	N	N
N	N	N	N	N	L	1	0	0	1	1	0	U	1	0	0	N	N	N	N
N	N	N	N	N	L	1	0	0	1	1	U	0	1	0	0	N	N	N	N
N	N	N	N	N	L	1	0	0	1	U	1	0	1	0	0	N	N	N	N
N	N	N	N	N	L	1	0	0	U	1	1	0	1	0	0	N	N	N	N

N	N	N	N	N	L	1	0	U	0	1	1	0	1	0	0	N	N	N	N
N	N	N	N	N	L	1	U	0	0	1	1	0	1	0	0	N	N	N	N
N	N	N	N	N	L	U	1	0	0	1	1	0	1	0	0	N	N	N	N
N	N	N	N	N	N	N	1	0	0	1	1	0	1	0	0	N	N	N	N

Tabla 5.17: Primeras 47 evoluciones del autómata celular que simula el sistema tag del Problema de la Etiqueta con la cadena inicial  $N100011100NNNNNNNNNN$ .

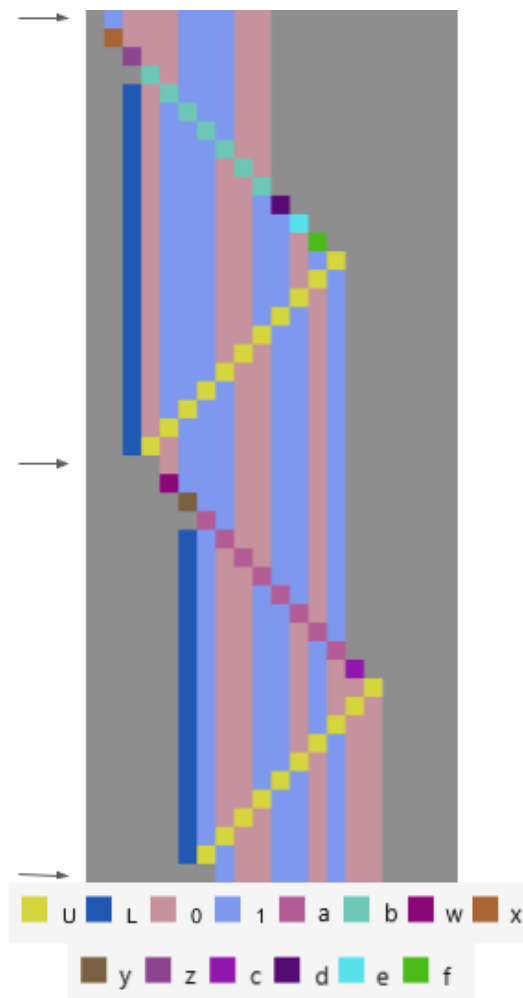


Figura 5.5: Primeras 47 evoluciones del autómata celular que simula el sistema tag del Problema de la Etiqueta con la cadena inicial  $N100011100NNNNNNNNNN$ .

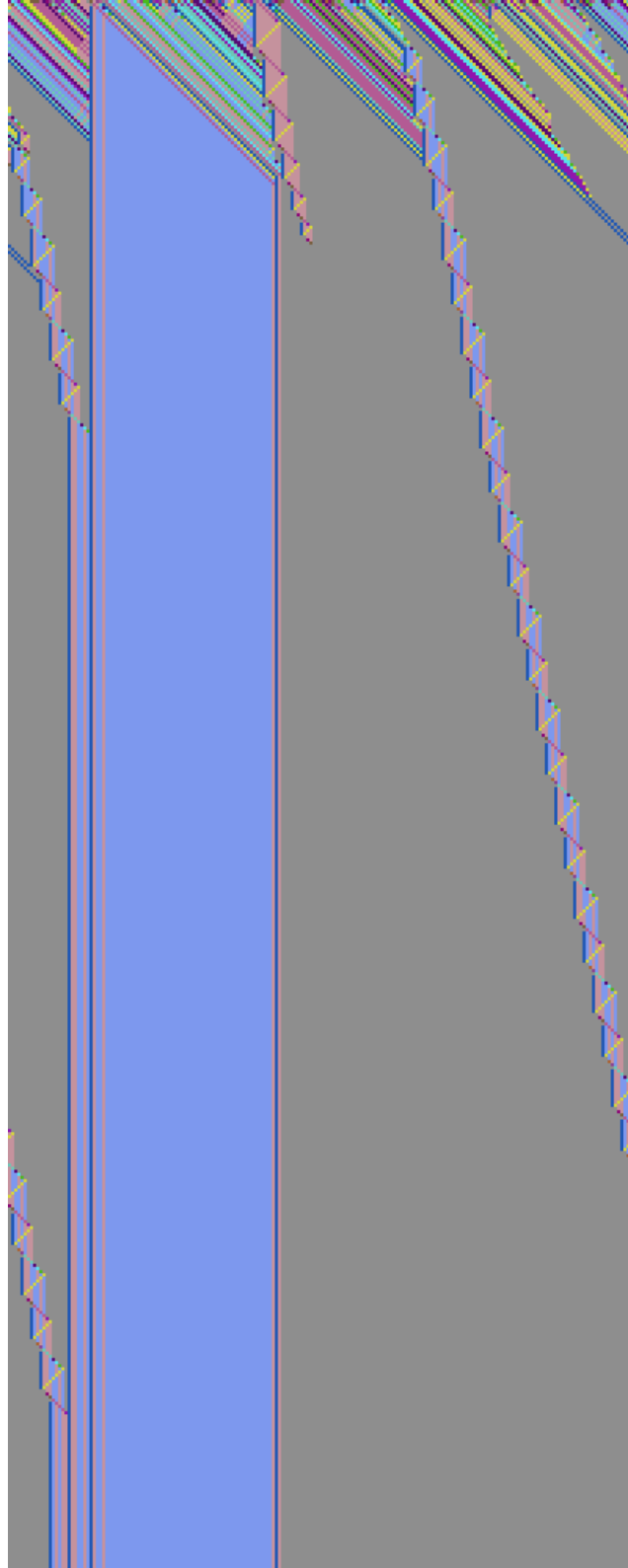


Figura 5.6: Primeras 500 evoluciones del autómata celular que simula el sistema tag del Problema de la Etiqueta con una cadena inicial aleatoria.

### 5.3. Algoritmo basado en el método heurístico

El establecimiento de un algoritmo capaz de calcular el autómata celular equivalente a un sistema tag arbitrario se considera de suma importancia para explorar la dinámica espacial de los sistemas tag en autómatas celulares y proporciona muchas posibilidades en relación con los sistemas tag como sistemas dinámicos discretos como dotarlos de la capacidad de computación paralela.

Por lo tanto, basado en el método heurístico de la sección 5.2 para el sistema tag del problema de la etiqueta, se puede determinar un algoritmo que, dado un sistema tag cualquiera, resulte en un autómata celular equivalente.

Sean  $T = (\Sigma_{TS}, H, R_{TS}, P)$  un sistema tag y  $A_C = (\Sigma_{AC}, L, u, f)$  un autómata celular unidimensional cuya vecindad  $u$  será de un radio  $r = 1$ . El algoritmo se expresa a continuación:

$\Sigma_{CT} = \{L, U\}, \Sigma_P = \emptyset, \Sigma_S = \emptyset, \Sigma_A = \emptyset$   
 Añadir  $|\Sigma_{TS}|(P - 1)$  símbolos auxiliares a  $\Sigma_P$   
 Añadir  $|\Sigma_{TS}|$  símbolos auxiliares a  $\Sigma_S$   
 $i = 1$   
 Para cada  $A_i$  en  $R_{TS}$ :  
     Si  $|A_i| > 0$  entonces, añadir  $|A_i| - 1$  símbolos auxiliares a  $\Sigma_A$   
      $i++$   
 $\Sigma_{AC} = \{N\} \cup \Sigma_{TS} \cup \Sigma_{CT} \cup \Sigma_S \cup \Sigma_P \cup \Sigma_A$   
 Si  $|\Sigma_P| > 0$  entonces, añadir  $N(\Sigma_P^+)(\Sigma_{AC}^+) \rightarrow N$  a  $f$   
 Añadir  $(\Sigma_{AC}^+)N(\Sigma_S^+) \rightarrow L$  a  $f$   
 Añadir  $(\Sigma_{AC}^+)L(\Sigma_{TS}^+) \rightarrow L$  a  $f$   
 Añadir  $NN(N + L + \Sigma_{TS}^+ + \Sigma_P^+) \rightarrow N$  a  $f$   
 Añadir  $(U + \Sigma_{TS}^+ + \Sigma_{TS}^P)N(N + L) \rightarrow N$  a  $f$   
 Añadir  $(L + \Sigma_{TS}^+)(\Sigma_{TS}^+)U \rightarrow U$  a  $f$   
 Añadir  $LU(\Sigma_{TS}^+) \rightarrow N$  a  $f$   
 Añadir  $(\Sigma_{CA}^+)LU \rightarrow N$  a  $f$   
 $i = 1$   
 Para cada  $\sigma_i, s_i, p_i$  en  $\Sigma_{TS}, \Sigma_S, \Sigma_P$ :  
     Añadir  $(L + U + \Sigma_{TS}^+)\sigma_i(N + L + \Sigma_{TS}^+ + \Sigma_S^+ + \Sigma_A^+) \rightarrow \sigma_i$  a  $f$   
     Añadir  $(\Sigma_{AC}^+)(\Sigma_S^+)\sigma_i \rightarrow \sigma_i$  a  $f$   
     Añadir  $\sigma_i U(\Sigma_{AC}^+) \rightarrow \sigma_i$  a  $f$   
     Añadir  $s_i(\Sigma_{TS}^+)(\Sigma_{AC}^+) \rightarrow s_i$  a  $f$   
     Si  $|\Sigma_P| > 0$  entonces, añadir  $N\sigma_i(\Sigma_{AC}^+) \rightarrow p_i$  a  $f$   
     Si no, añadir  $N\sigma_i(\Sigma_{AC}^+) \rightarrow s_i$  a  $f$   
      $i++$   
 $i = 1$   
 $\Sigma_{PS} = \Sigma_P \cup \Sigma_S$   
 Para cada  $p_i, ps_i$  en  $\Sigma_P, \Sigma_{PS}$ :  
     Añadir  $ps_i(\Sigma_{AC}^+)(\Sigma_{AC}^+) \rightarrow ps_{i+1}$  a  $f$   
      $i++$   
 $i = 1$   
 $k = 1$   
 Para cada  $A_i, s_i$  en  $R_{TS}, \Sigma_S$ :  
      $j = 1$   
     Si  $|A_i| > 0$  entonces,  
         Para cada  $\omega_j, a_k$  en  $A_i, \Sigma_A$ :  
             Si  $j = 1$  entonces,  
                 Si  $j = |A_i|$  entonces, añadir  $s_i(N + L)(\Sigma_{AC}^+) \rightarrow U$  a  $f$   
                 Si no, añadir  $s_i(N + L)(\Sigma_{AC}^+) \rightarrow a_k$  a  $f$   
                 Añadir  $(N + \Sigma_{TS}^+)s_i(N + L) \rightarrow \omega_j$  a  $f$   
             Si no,  
                 Si  $j = |A_i|$  entonces, añadir  $a_k(N + L)(\Sigma_{AC}^+) \rightarrow U$  a  $f$   
                 Si no, añadir  $a_k(N + L)(\Sigma_{AC}^+) \rightarrow a_{k+1}$  a  $f$   
                 Añadir  $(N + \Sigma_{TS}^+)a_k(N + L) \rightarrow \omega_j$  a  $f$   
                  $k++$   
              $j++$   
         Si no,  
             Añadir  $(N + \Sigma_{TS}^+)s_i(\Sigma_{AC}^+) \rightarrow U$  a  $f$   
             Añadir  $s_i(N + L)(\Sigma_{AC}^+) \rightarrow N$  a  $f$   
      $i++$

Figura 5.7: Algoritmo que, dado un sistema tag cualquiera, resulta en un autómata celular equivalente.

### 5.3.1. Ejemplo de aplicación del algoritmo

Para el sistema tag de la función de Collatz de la sección 4.6 se tiene

$$T = (\Sigma_{TS} = \{0, 1, 2\}, H = \emptyset, R_{TS} = \{0 \rightarrow 12, 1 \rightarrow 0, 2 \rightarrow 000\}, P = 2)$$

que resulta en un autómata celular  $A_C = (\Sigma_{AC}, L, u, f)$  donde,

- $\Sigma_{AC} = \{N, U, L, 0, 1, 2, A, B, C, D, E, F, G, H, I\}$
- $L$  es un arreglo de dimensión  $d = 1$
- $u$  es la vecindad que está conformada por una celda central y las celdas a sus laterales con un radio  $r = 1$
- $f$  es la función de transición que está conformada por las reglas de transición que se describen a continuación.

N	N	$(N+L+0+1+2+D+E+F)$	→	N
$(U+0+1+2+D+E+F)$	N	$(N+L)$	→	N
N	$(D+E+F)$	$\Sigma_{AC}^+$	→	N
$\Sigma_{AC}^+$	N	$(A+B+C)$	→	L
$\Sigma_{AC}^+$	L	$(0+1+2)$	→	L
D	$\Sigma_{AC}^+$	$\Sigma_{AC}^+$	→	A
E	$\Sigma_{AC}^+$	$\Sigma_{AC}^+$	→	B
F	$\Sigma_{AC}^+$	$\Sigma_{AC}^+$	→	C
A	$(0+1+2)$	$\Sigma_{AC}^+$	→	A
B	$(0+1+2)$	$\Sigma_{AC}^+$	→	B
C	$(0+1+2)$	$\Sigma_{AC}^+$	→	C
$\Sigma_{AC}^+$	$(A+B+C)$	0	→	0
$\Sigma_{AC}^+$	$(A+B+C)$	1	→	1
$\Sigma_{AC}^+$	$(A+B+C)$	2	→	2
N	0	$\Sigma_{AC}^+$	→	D
N	1	$\Sigma_{AC}^+$	→	E
N	2	$\Sigma_{AC}^+$	→	F
0	U	$\Sigma_{AC}^+$	→	0
1	U	$\Sigma_{AC}^+$	→	1
2	U	$\Sigma_{AC}^+$	→	2
L	U	$(0+1+2)$	→	N
$\Sigma_{AC}^+$	L	U	→	N

(L+U+0+1+2)	0	(N+L+0+1+2+A+B+C+G+H+I)	→	0
(L+U+0+1+2)	1	(N+L+0+1+2+A+B+C+G+H+I)	→	2
(L+U+0+1+2)	1	(N+L+0+1+2+A+B+C+G+H+I)	→	2
A	(N+L)	$\Sigma_{AC}^+$	→	G
(N+0+1+2)	A	(N+L)	→	1
G	(N+L)	$\Sigma_{AC}^+$	→	U
(N+0+1+2)	G	(N+L)	→	2
B	(N+L)	$\Sigma_{AC}^+$	→	U
(N+0+1+2)	B	(N+L)	→	0
C	(N+L)	$\Sigma_{AC}^+$	→	H
(N+0+1+2)	C	(N+L)	→	0
H	(N+L)	$\Sigma_{AC}^+$	→	I
(N+0+1+2)	H	(N+L)	→	0
I	(N+L)	$\Sigma_{AC}^+$	→	U
(N+0+1+2)	I	(N+L)	→	0
(L+0+1+2)	(0+1+2)	U	→	U

Tabla 5.18: Reglas de transición del autómata celular equivalente al sistema tag  $0 \rightarrow 12, 1 \rightarrow 0, 2 \rightarrow 000; P = 2$ .

Del cual se muestran las siguientes simulaciones: la primera con la cadena inicial 00000 y la segunda con una cadena inicial aleatoria.

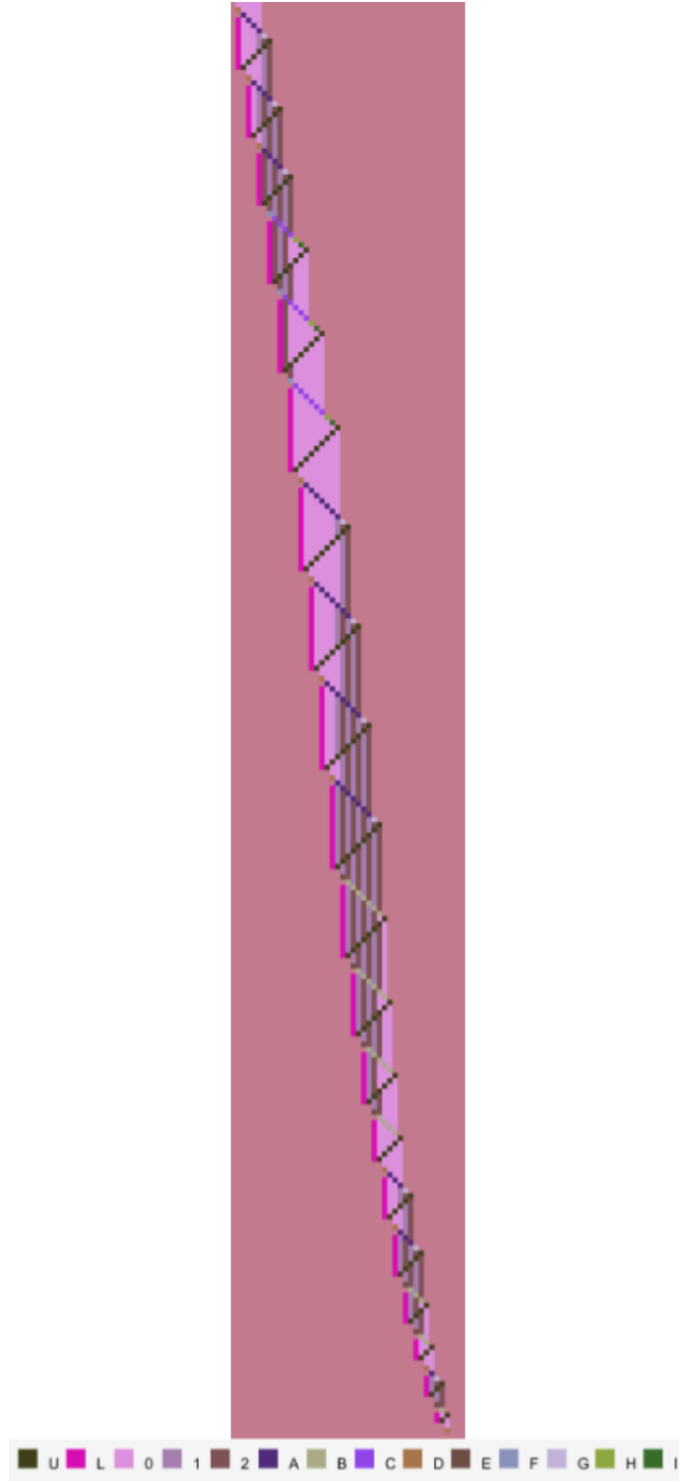


Figura 5.8: Primeras 275 evoluciones con la cadena inicial 00000 en un arreglo de 45 celdas.

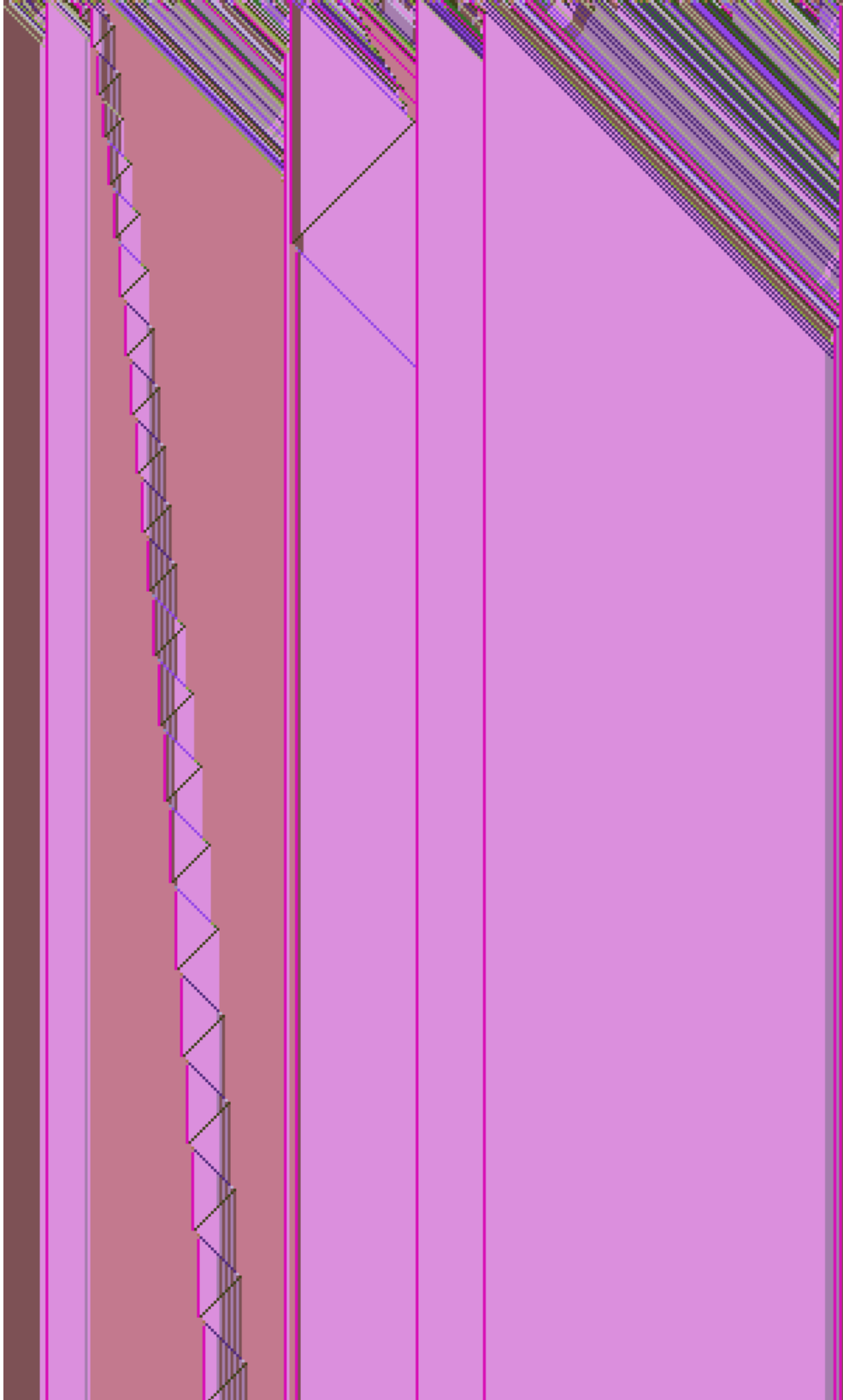


Figura 5.9: Primeras 500 evoluciones con una cadena inicial aleatoria en un arreglo de 300 celdas.

# Capítulo 6

## Desarrollo de un simulador

Como se vio en los capítulos 4 y 5 simular los sistemas tag y sus autómatas celulares equivalentes podría ser una tarea que lleve mucho tiempo a mano, pero la computación actual ha desarrollado plataformas que pueden ayudar a la simulación de dichos sistemas. Hasta ahora la herramienta más utilizada para simular sistemas tag y autómatas celulares es WolframAlpha desarrollada por Wolfram en su propio lenguaje llamado Mathematica. No hay una plataforma dedicada a la simulación y análisis de los sistemas tag y sus autómatas celulares equivalentes por lo que, resultado de esta investigación, se puede proponer un simulador dedicado a la tarea de simular sistemas tag y su análisis. Así que de manera breve se describirán el análisis, diseño e implementación del simulador utilizado para demostrar la funcionalidad del algoritmo propuesto en la sección 5.3.

## 6.1. Análisis

### 6.1.1. Requerimientos

#### Requerimientos Funcionales

En principio, un simulador debe reproducir el funcionamiento de un sistema tag. El simulador que se propone será capaz de reproducir el funcionamiento de cualquier sistema tag con su autómata celular equivalente. El simulador debe basarse en la naturaleza y modelos del sistema tag y los autómatas celulares para reproducirlos y con base en las salidas de este se verificará su funcionamiento.

El simulador será capaz de cumplir con los requerimientos funcionales y no funcionales que se especifican a continuación.

- **RF1.** Introducción de la definición de un sistema tag cualquiera, generar el autómata celular equivalente y producir las transiciones a partir de una cadena inicial.
- **RF2.** El usuario debe poder exportar un archivo JSON que contenga la definición del autómata celular que simule algún sistema tag y abrir cualquier archivo exportado.
- **RF3.** La cadena inicial puede ser especificada por el usuario o generarse una aleatoria según una longitud dada por el usuario.
- **RF4.** Las transiciones deben poder ser exportadas como un archivo de texto.
- **RF5.** Las transiciones deben ser reproducidas en un espacio bidimensional para su visualización.
- **RF6.** La visualización gráfica de las transiciones se podrá exportar como un archivo de imagen (png, jpg, tiff).

- **RF7.** El simulador proporcionará valores de análisis de sistemas dinámicos como la entropía y frecuencias de los símbolos y hacer una gráfica para cada uno.

### Requerimientos no Funcionales

- **RNF1.** Para la visualización gráfica se podrá cambiar la escala de las figuras, con o sin bordes que representan cada carácter.
- **RNF2.** Debe ser posible cambiar el color asignado a cada símbolo del alfabeto del sistema tag o el del autómata celular.
- **RNF3.** La interfaz gráfica debe ser limpia y fácil de manejar.
- **RNF4.** Debe ser eficiente al momento de realizar la simulación gráfica.
- **RNF5.** El lenguaje de programación a utilizar será Java con el framework Processing.

### 6.1.2. Reglas de Negocio

- **RN1.** La definición del sistema tag se debe introducir utilizando una sintaxis específica.
- **RN2.** La extensión del arreglo de celdas y el número de evoluciones simuladas deben ser finitos y especificados por el usuario.

### 6.1.3. Arquitectura del simulador

El diagrama de bloques para el simulador se presenta en la siguiente figura:



Figura 6.1: Diagrama de bloques del simulador.

#### 6.1.4. Tecnologías utilizadas

##### Java

Java es un lenguaje de programación y una plataforma informática comercializada por primera vez en 1995 por Sun Microsystems. Hay muchas aplicaciones y sitios web que no funcionarán a menos que tenga Java instalado y cada día se crean más. Java es rápido, seguro y fiable. Desde portátiles hasta centros de datos, desde consolas para juegos hasta supercomputadoras, desde teléfonos móviles hasta Internet, Java está en todas partes.

##### Processing

Processing es un lenguaje de programación y entorno de desarrollo integrado de código abierto basado en Java, de fácil utilización, y que sirve como medio para la enseñanza y producción de proyectos multimedia e interactivos de diseño digital. Fue iniciado por Ben Fry y Casey Reas, ambos miembros de Aesthetics and Computation Group del MIT Media Lab dirigido por John Maeda. Al programar en Processing, todas las clases adicionales definidas serán tratadas como clases internas cuando el código se traduce en puro Java antes de compilar. Esto significa que el uso de variables estáticas y métodos de las clases está prohibido a menos que se indique específicamente a Processing que quiere el código en modo puro Java.

### **G4P (Librería)**

La biblioteca G4P proporciona una amplia colección de controles GUI 2D para Processing así como el manejo de ventanas múltiples. Esta librería es extensa pero sencilla de utilizar.

### **Grafica (Librería)**

Gráfica es una biblioteca de graficado, simple y configurable para Processing. Con esta, puede crear fácilmente gráficas 2D que disfrutarán de las capacidades interactivas completas de Processing. Puede crear gráficas simples, diagramas de dispersión e histogramas.

## **6.2. Diseño**

Aunque los requerimientos no representan un software muy robusto es necesario definir al menos los diagramas de clases y casos de uso.

### **6.2.1. Diagrama de clases**

El diagrama de clases describe la estructura de un sistema mostrando las clases del sistema, sus atributos, operaciones (o métodos), y las relaciones entre los objetos.

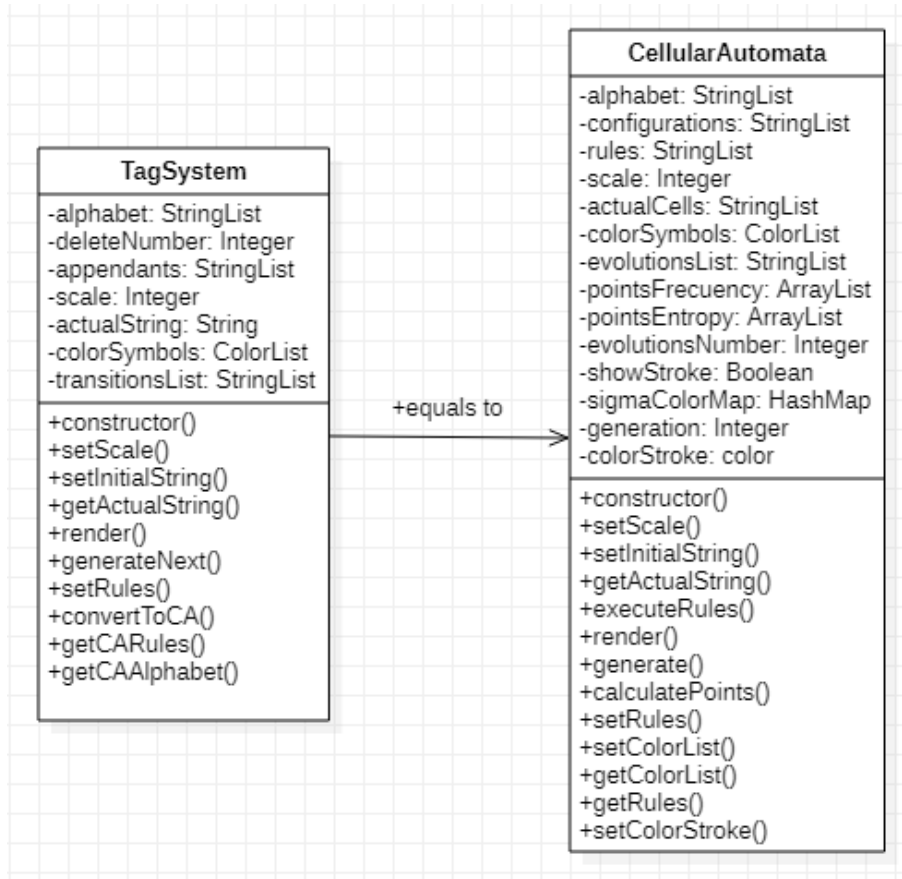


Figura 6.2: Diagrama de clases de TagSystem (Sistema Tag) y CellularAutomata (Autómata Celular).

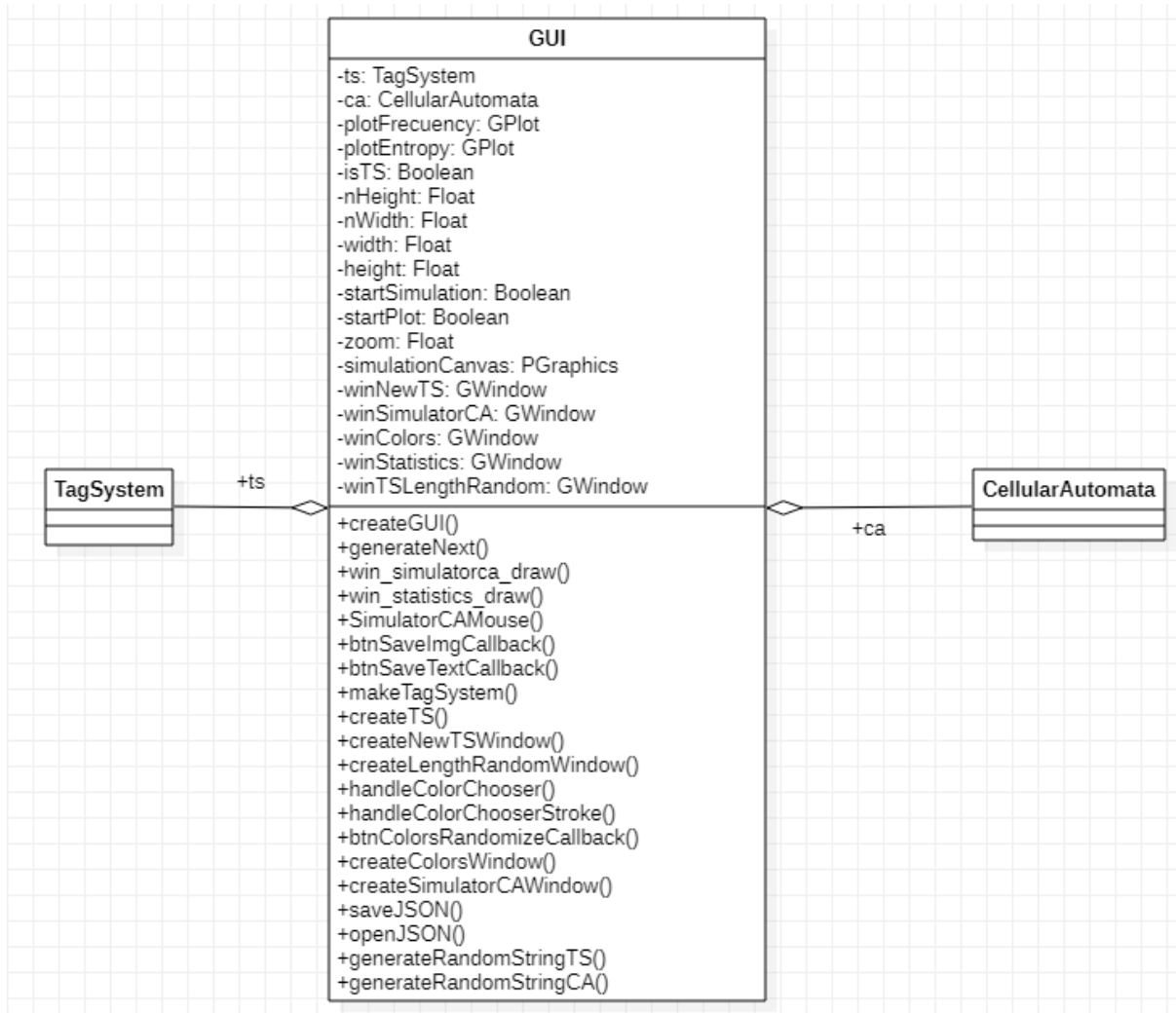


Figura 6.3: Diagrama de clases del simulador.

### 6.2.2. Diagrama de Casos de Uso

El diagrama de casos de uso define la naturaleza de un caso de uso; sin embargo, una notación gráfica puede solo dar una vista general simple de un caso de uso o un conjunto de casos de uso.

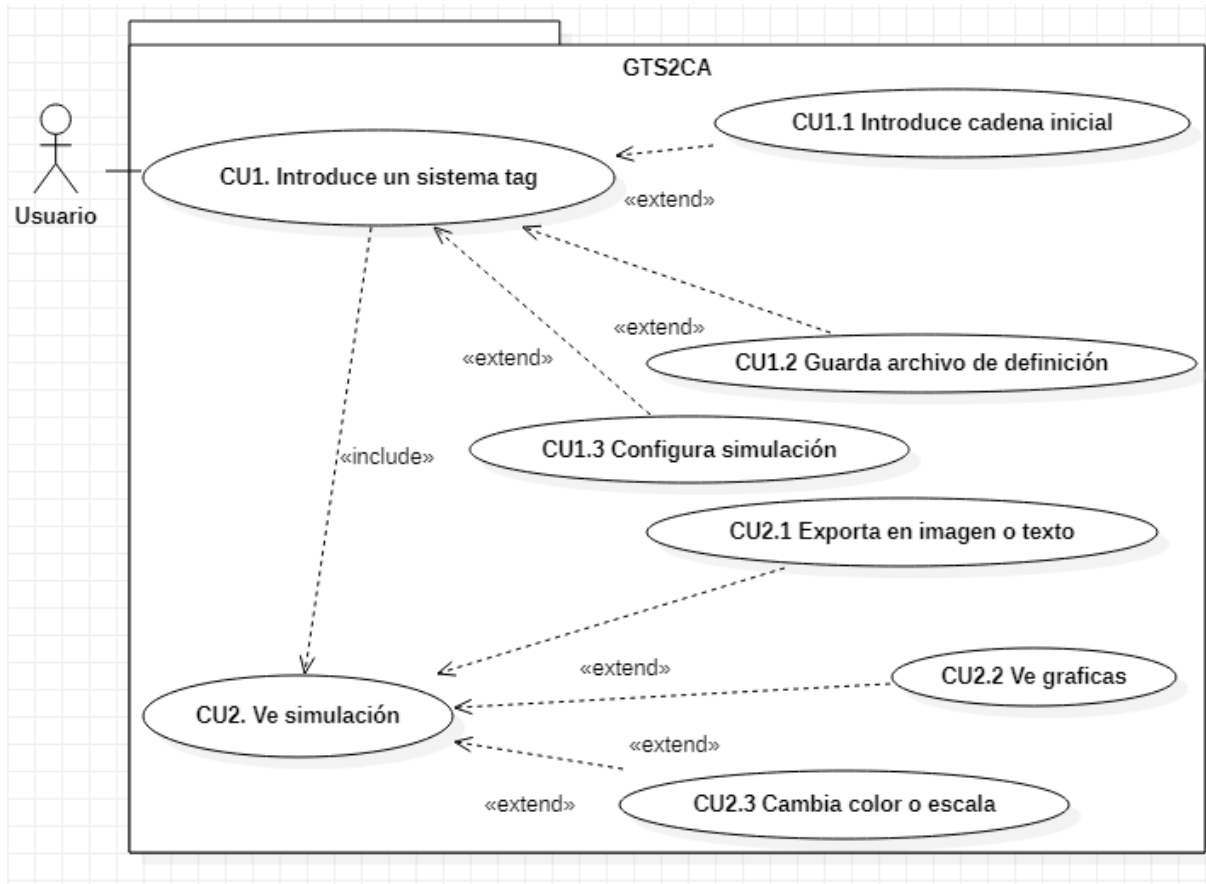


Figura 6.4: Diagrama de casos de uso del simulador.

- **CU1. Introduce un sistema tag.** El usuario final introduce la definición de un sistema tag en una ventana que recibirá los dos datos: las reglas de producción y el número de borrado. También será posible que abra un archivo JSON de un sistema tag guardado previamente.
  - **CU1.1 Introduce cadena inicial.** En una caja de texto, el usuario introducirá una cadena inicial por tres métodos: escribir una cadena inicial arbitraria, generar una cadena aleatoria con el alfabeto del sistema tag o generar una cadena inicial aleatoria con el alfabeto del autómata celular.
  - **CU1.2 Guardar archivo JSON de definición.** Después de introducir una definición de sistema tag el usuario puede guardar un archivo JSON con

la definición del sistema tag y el autómata celular equivalente.

- **CU1.3 Configura simulación.** El usuario introducirá el número de evoluciones a generar, la extensión del arreglo de celdas.
- **CU2. Ve simulación.** Una vez introducida una definición de sistema tag y una cadena inicial, se podrá iniciar la simulación, la cual tendrá lugar en una ventana de visualización gráfica.
  - **CU2.1 Exporta en imagen o texto.** El usuario puede exportar la simulación que se está visualizando en un archivo de texto o imagen, tiene la libertad de nombrarlos y elegir la ubicación del archivo en su sistema de archivos.
  - **CU2.2 Ve gráficas.** Una vez iniciada la simulación, el usuario puede visualizar las gráficas de entropía y frecuencia de cada símbolo del autómata celular en una gráfica sencilla a lo largo de las evoluciones simuladas.
  - **CU2.3 Cambia color o escala.** Antes o durante la simulación el usuario puede cambiar los colores de cada símbolo del autómata celular, cambiar la escala de cada celda, elegir si cada celda tendrá bordes o no.

## 6.3. Implementación

Para mostrar el resultado de la implementación de los requisitos funcionales, requisitos no funcionales, reglas de negocio y casos de uso, se mostrarán las pantallas de la interfaz gráfica del simulador GTS2CA con la explicación de cada componente de esta.

### 6.3.1. Pantalla inicial

La pantalla principal del simulador es la primera ventana que se mostrará al momento de abrir el programa GTS2CA, la cual contiene accesos a todas las funcionalidades.

dades principales de este.

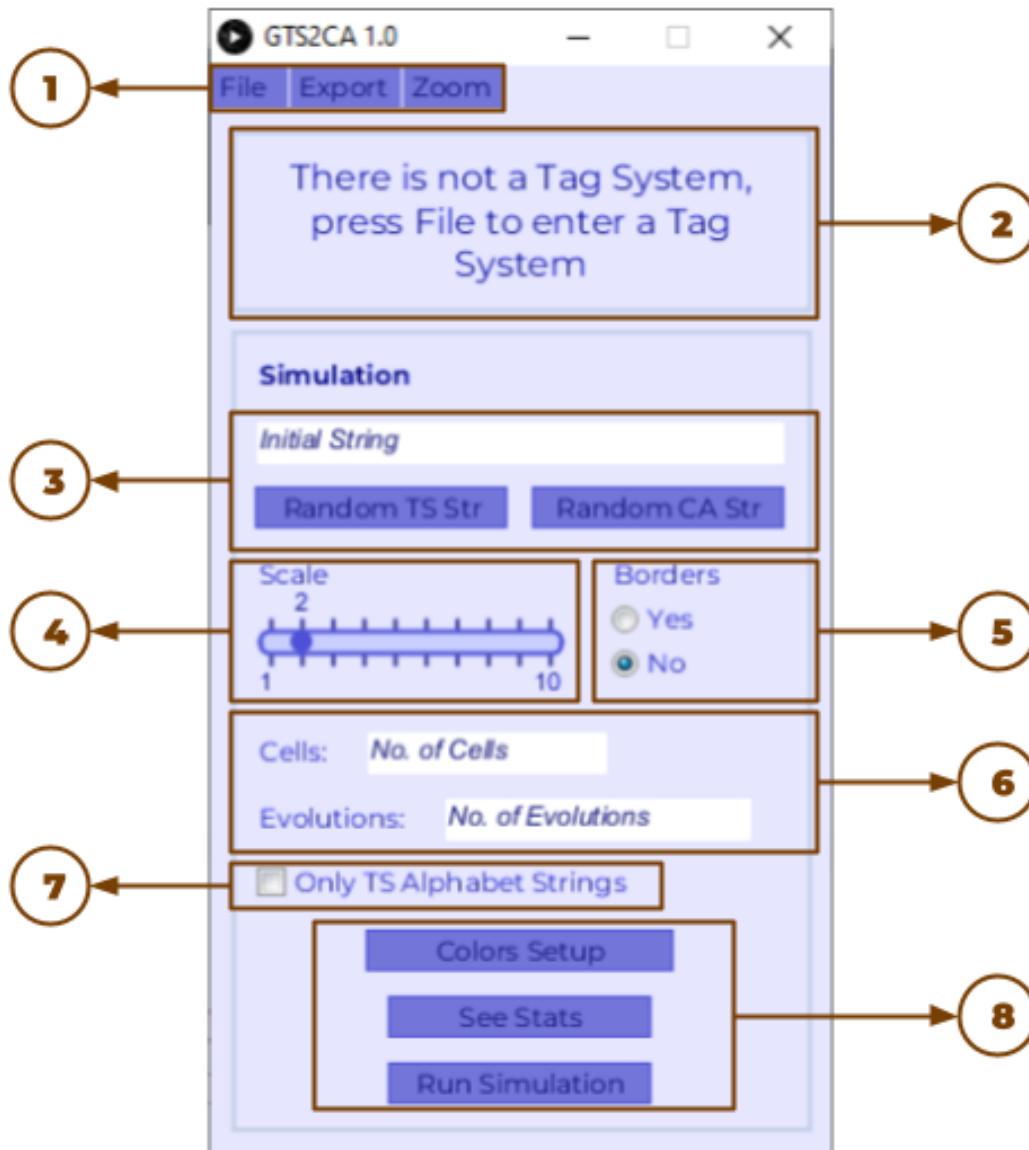


Figura 6.5: Pantalla principal del simulador GTS2CA.

1. Panel de pestañas
2. Mensaje principal
3. Caja de introducción de cadena inicial
4. Configuración de escala

5. Configuración de visualización de bordes
6. Configuración del espacio de celdas y evoluciones
7. Casilla para activar la visualización solo de cadenas del sistema tag
8. Grupo de botones de simulación

### 6.3.2. Panel de Pestañas

En la parte superior izquierda de la pantalla principal se encuentra este pequeño panel que consta de tres pestañas en las cuales se despliegan un conjunto de botones por cada una referente a funciones específicas que se describen a continuación.

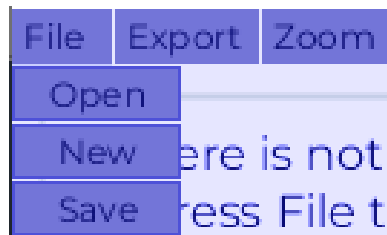


Figura 6.6: Pestaña “File” del simulador GTS2CA.

- El botón “Open” se utiliza para abrir un archivo JSON que contiene la definición de un sistema tag y su autómatas celular equivalente. Al presionarlo, se abrirá una ventana para buscar a través del directorio de archivos.
- El botón “New” abrirá una ventana donde se introducirán los datos del sistema tag (reglas de producción y número de borrado). Cada regla de producción se introduce con una sintaxis específica:  $\sigma_i \rightarrow A_i$ . Las reglas de producción se separan con comas:  $\sigma_1 \rightarrow A_1, \sigma_2 \rightarrow A_2, \dots, \sigma_n \rightarrow A_n$ .

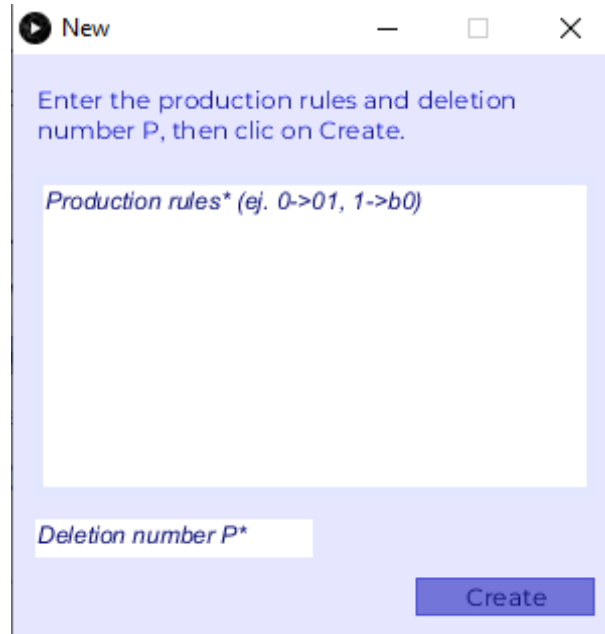


Figura 6.7: Ventana “New” del simulador GTS2CA.

- El botón “Save” se utiliza para guardar en un archivo JSON, la definición de un sistema tag y su autómata celular equivalente. Al presionarlo, se abrirá una ventana para seleccionar la carpeta y el nombre con el que se guardará. La estructura del archivo JSON guardado será la siguiente:

```
{
  "ca": {
    "Colors": [ "..."],
    "Sigma": [ "..."],
    "Rules": [ "..."]
  },
  "ts": {
    "P": "...",
    "Sigma": [ "..."],
    "Rules": [ "..."]
  }
}
```

Figura 6.8: Estructura del archivo JSON guardado.

Las llaves "ca" y "ts" contienen la definición del autómata celular y el sistema tag en arreglos. En la definición de ca el contenido es:

- "Colores": arreglo de los colores asignados a cada símbolo del alfabeto del autómata celular.
- "Sigma": arreglo del alfabeto del autómata celular.
- "Rules": arreglo de las reglas de transición del autómata.

La definición de "ts" es la siguiente:

- "P": número de borrado del sistema tag.
- "Sigma": arreglo del alfabeto del sistema tag.
- "Rules": arreglo de las reglas de producción del sistema tag.

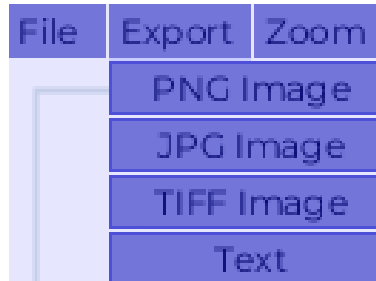


Figura 6.9: Pestaña “Export” del simulador GTS2CA.

La pestaña “Export” despliega cuatro botones de los cuales los primeros tres son para exportar una imagen en los formatos: PNG, JPG y TIFF, de la simulación. El cuarto botón es para exportar un archivo de texto CSV que contiene cada celda de cada evolución, separadas por comas.

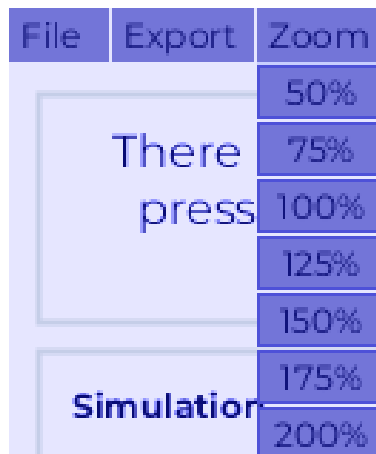


Figura 6.10: Pestaña “Zoom” del simulador GTS2CA.

La pestaña “Zoom” contiene siete opciones de acercamiento para visualizar la imagen de la simulación.

### 6.3.3. Mensaje principal

A continuación se tiene una zona donde hay un mensaje principal el cual indica si hay un sistema tag cargado al programa o no lo hay.

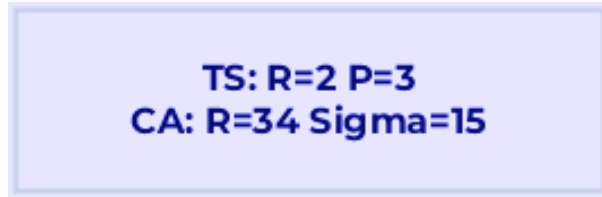


Figura 6.11: Mensaje principal cuando hay un sistema tag cargado.

Cuando hay un sistema tag cargado en el simulador el mensaje principal contiene el número de reglas de producción y número de borrado de este y debajo el número de reglas de transición y número de símbolos en el alfabeto del autómeta celular equivalente.

#### 6.3.4. Caja de introducción de cadena inicial

La caja de texto que se muestra en esta zona sirve para introducir una cadena inicial arbitraria o bien, con los botones *Random TS Str* o *Random CA Str* se pueden generar cadenas aleatorias utilizando el alfabeto del sistema tag solamente o el de su autómeta celular equivalente, respectivamente.

Para generar una cadena aleatoria utilizando solamente el alfabeto del sistema tag, el programa pedirá, mediante una ventana, introducir un número que será la extensión de dicha cadena para generarla.

#### 6.3.5. Configuración de escala

Para configurar el tamaño de cada celda de la simulación gráfica, se tiene un deslizador (Slider) que aumenta o disminuye dicha escala. La modificación de la escala también modifica el tamaño de la imagen de exportación debido a que se cambia el tamaño del espacio de simulación proporcionalmente a la escala. El deslizador tiene un rango de 1 a 10 donde cada valor representa el tamaño de la celda en pixeles. Por defecto se establece en 2 pixeles.

### 6.3.6. Configuración de visualización de bordes

Del lado derecho del deslizador para configurar la escala, se encuentran unos botones radiales (RadioButton) agrupados como un botón palanca (ToggleButton). Al momento de configurar la visualización de bordes para que cada celda sea rodeada por un borde lineal solo hay dos estados posibles: con bordes o sin bordes. Así que este botón es justo uno de los que ofrece la solución de elegir solo un estado exclusivo del otro. Al elegir “Yes” se activa la visualización de bordes y No para desactivarla. Por defecto el valor es “No”.

### 6.3.7. Configuración del espacio de celdas y evoluciones

Esta zona provee de dos cajas de texto (TextField) en las que la primera (Cells) se introduce el número de celdas que tendrá el autómata celular y la segunda (Evolutions) es el número de evoluciones que se simularán. Por defecto los valores en estas cajas de texto son: 300 y 1000, respectivamente.

### 6.3.8. Casilla para activar la visualización solo de cadenas del sistema tag

Cuando esta casilla está activada se descartarán las evoluciones que contengan símbolos auxiliares y los símbolos de control  $\{L, U\}$ , es decir, únicamente se visualizarán las cadenas que contengan símbolos del alfabeto del sistema tag.

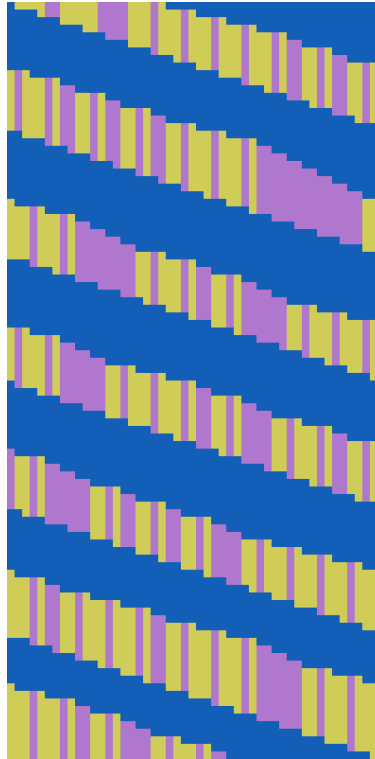


Figura 6.12: Simulación cuando está activada la visualización solo de cadenas del sistema tag.

### 6.3.9. Grupo de botones de simulación

En la parte inferior de la pantalla principal se encuentran tres botones relacionados con la simulación y el análisis de los datos generados.

- El botón “Colors Setup”, al presionar este botón se abrirá una ventana donde encontraremos algunas opciones de configuración de los colores de la simulación. El primero es un selector desplegable donde se selecciona el símbolo del autómeta celular al cual queremos cambiar el color, justo al lado derecho de este selector se encuentra el botón “Change” que abrirá una ventana para seleccionar el color. Debajo se encuentra la sección de bordes con otro botón “Change” el cual permite cambiar el color de los bordes. El penúltimo botón es “Randomize colors” el cual cambia todos los colores de todos los símbolos

de manera aleatoria. Al terminar de configurar los colores se presiona el botón “Ok”.

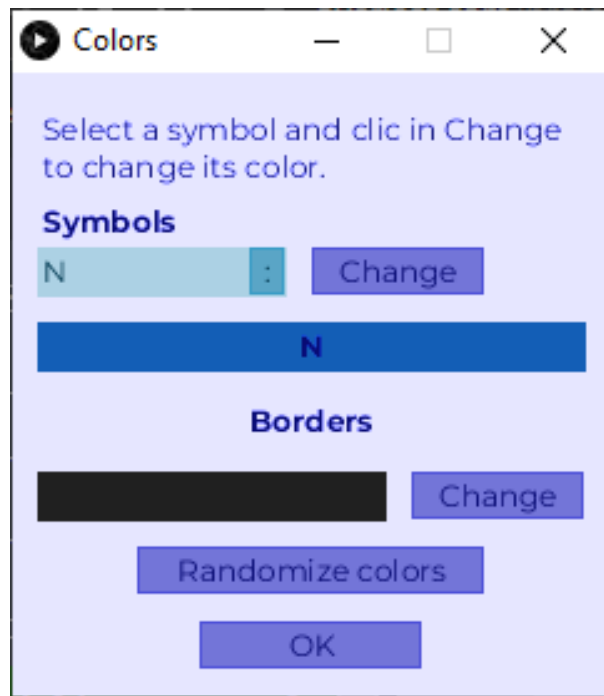


Figura 6.13: Ventana “Colors” del simulador GTS2CA.

- El botón “See Stats” se utiliza para abrir la ventana de estadísticas de la simulación. La ventana de estadísticas muestra una gráfica de frecuencia en las que se visualiza la frecuencia con la que aparece cada símbolo y debajo, una segunda gráfica en la que se muestra la entropía de Shannon de cada evolución. La entropía de Shannon se calcula utilizando la formula:

$$H = \sum_{i=1}^k -\frac{n_i}{N} \log_2 \frac{n_i}{N}$$

Donde:

- $H$  es la entropía de Shannon.
- $k$  es el número de símbolos en el alfabeto.

- $n_i$  es el número de veces que aparece el  $i$ -ésimo símbolo en la cadena.
- $N$  es el número de símbolos total en la cadena.

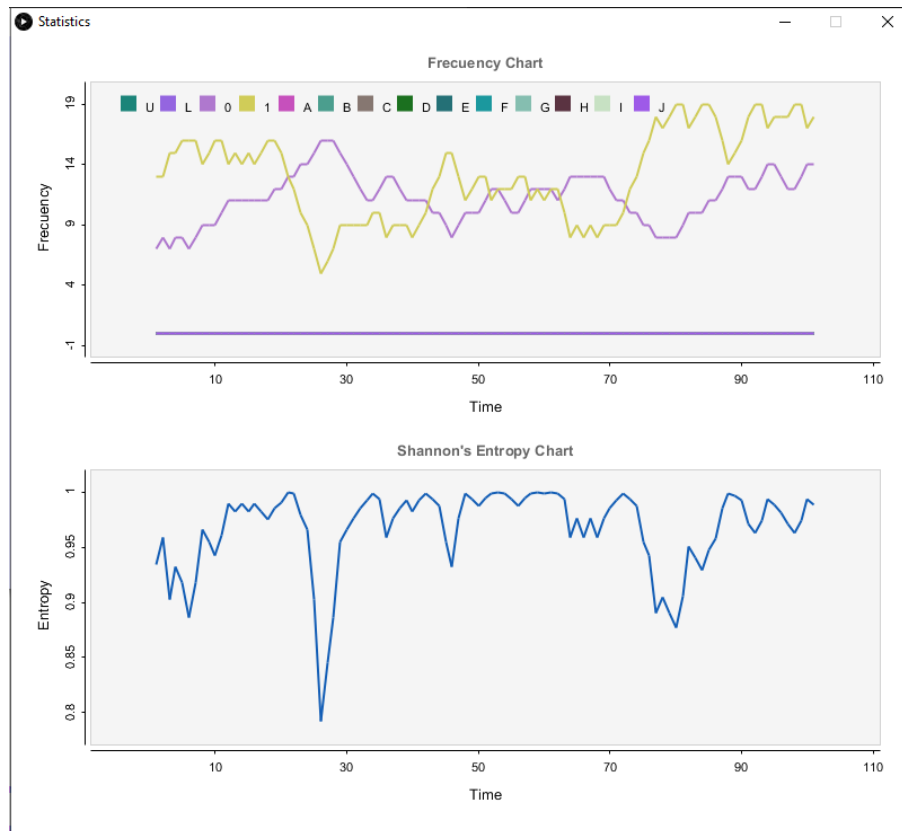


Figura 6.14: Ventana de estadísticas del simulador GTS2CA.

- El botón "Run Simulation" iniciará la simulación en una ventana de simulación. En la ventana de simulación se pueden utilizar dos eventos del ratón: arrastrar (Mouse Drag) y la rueda del ratón (Mouse Wheel). El evento arrastrar permite desplazar la imagen generada por el simulador en todas las direcciones para visualizar zonas con mayor detalle y el evento de la rueda del ratón permite aplicar un Zoom instantáneo a la imagen generada, hacia arriba es para agrandar la imagen y hacia abajo es para encogerla.

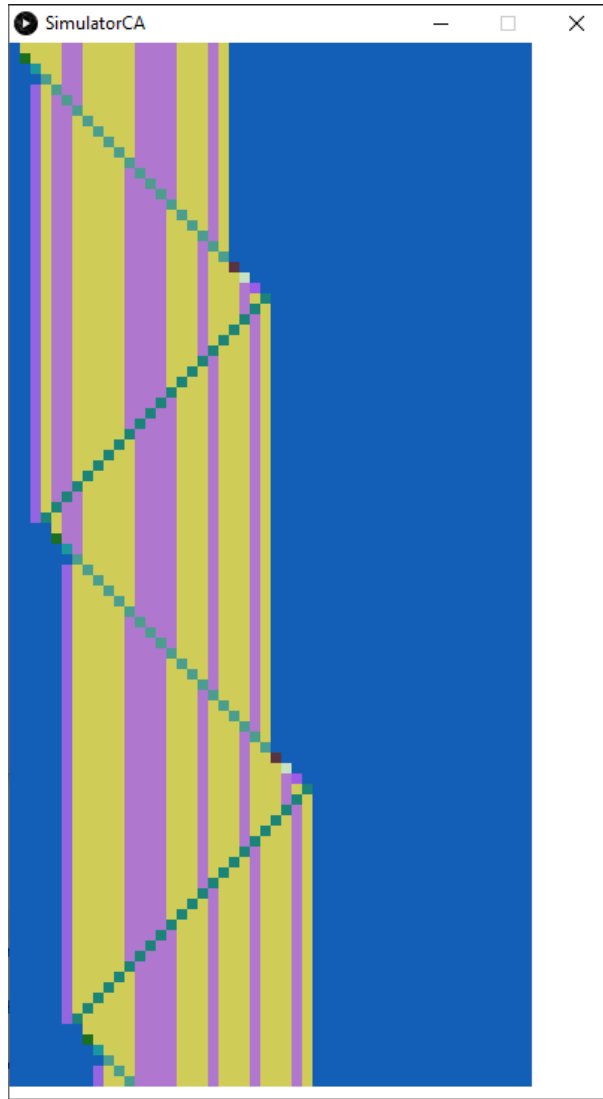


Figura 6.15: Ventana de simulación.

El código fuente del simulador se encuentra en los Anexos al final este documento. En los Anexos también se tiene un enlace a un repositorio de GitHub en el cual están los archivos del código fuente que en el futuro tendrán mantenimiento y actualizaciones.

# Capítulo 7

## Exploración de los Autómatas

### Celulares que simulan Sistemas Tag

Con el desarrollo de un simulador que cumple con las necesidades de este trabajo terminal y los fundamentos teóricos desarrollados en los primeros capítulos se explorarán los autómatas celulares equivalentes a algunos sistemas tag para demostrar el funcionamiento del algoritmo propuesto en la sección 5.3 y algunas características que pueden ser observadas de estos como sistemas dinámicos discretos.

#### 7.1. Exploración

En esta sección se presentan algunos ejemplos simulados de sistemas tag y sus autómatas celulares equivalentes. Los ejemplos a continuación son sistemas tag de alfabetos binarios o ternarios con  $P = 1$ ,  $P = 2$  o  $P = 3$ .

##### 7.1.1. Sistema Tag de las Cadenas de Fibonacci

El sistema tag descrito en la sección 4.4 que produce cadenas de Fibonacci mediante:

$$0 \rightarrow 01, 1 \rightarrow 0$$

$$P = 1$$

Cuyas cadenas generadas se obtienen de la fórmula original:

$$f(0) = 0$$

$$f(1) = 01$$

$$f(n) = f(n-1) + f(n-2)$$

Una vez introducido al algoritmo de la sección 5.3 se obtuvo un autómata celular de 23 reglas de transición y un alfabeto de 8 símbolos, a continuación muestran algunas de las simulaciones con cadenas del sistema tag y condiciones iniciales aleatorias. En la figura 7.1 se observa el mecanismo por el cual el autómata celular genera las cadenas del sistema tag. La longitud de las cadenas va en aumento porque por cada símbolo borrado se añade uno o dos. Esto se demuestra en la figura 7.2 donde se ve el crecimiento en la longitud de las cadenas del sistema tag sin visualizar los pasos intermedios.

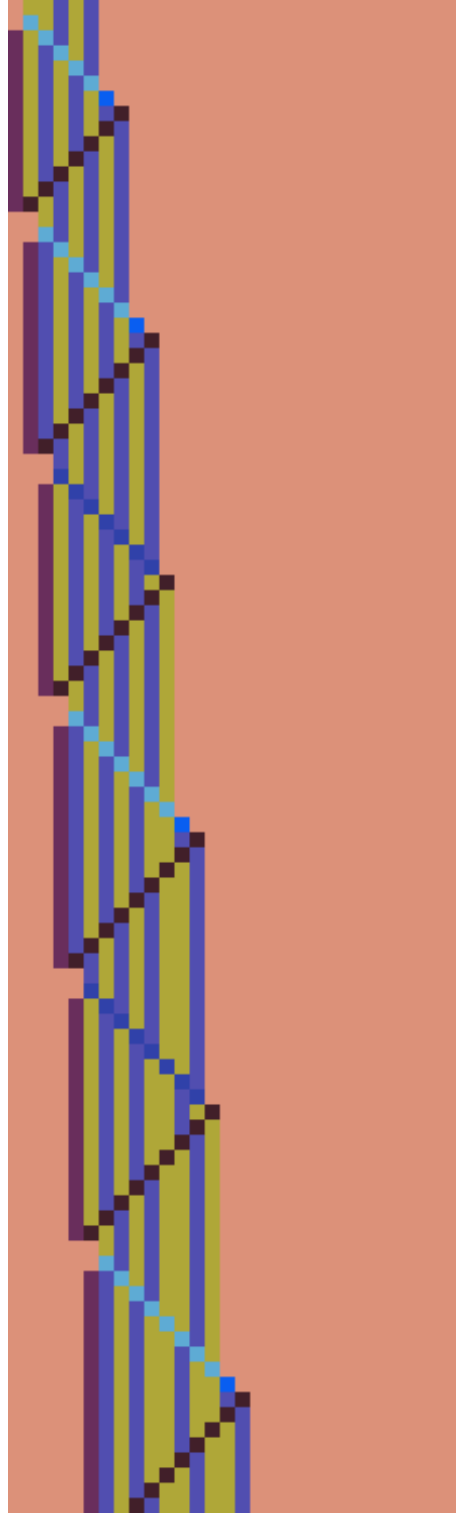


Figura 7.1: Autómata celular equivalente con cadena inicial 00101 en un arreglo de 30 celdas y 100 evoluciones.

Al quitar los pasos intermedios del autómata celular para el cálculo de las cadenas generadas por este sistema tag se obtiene:

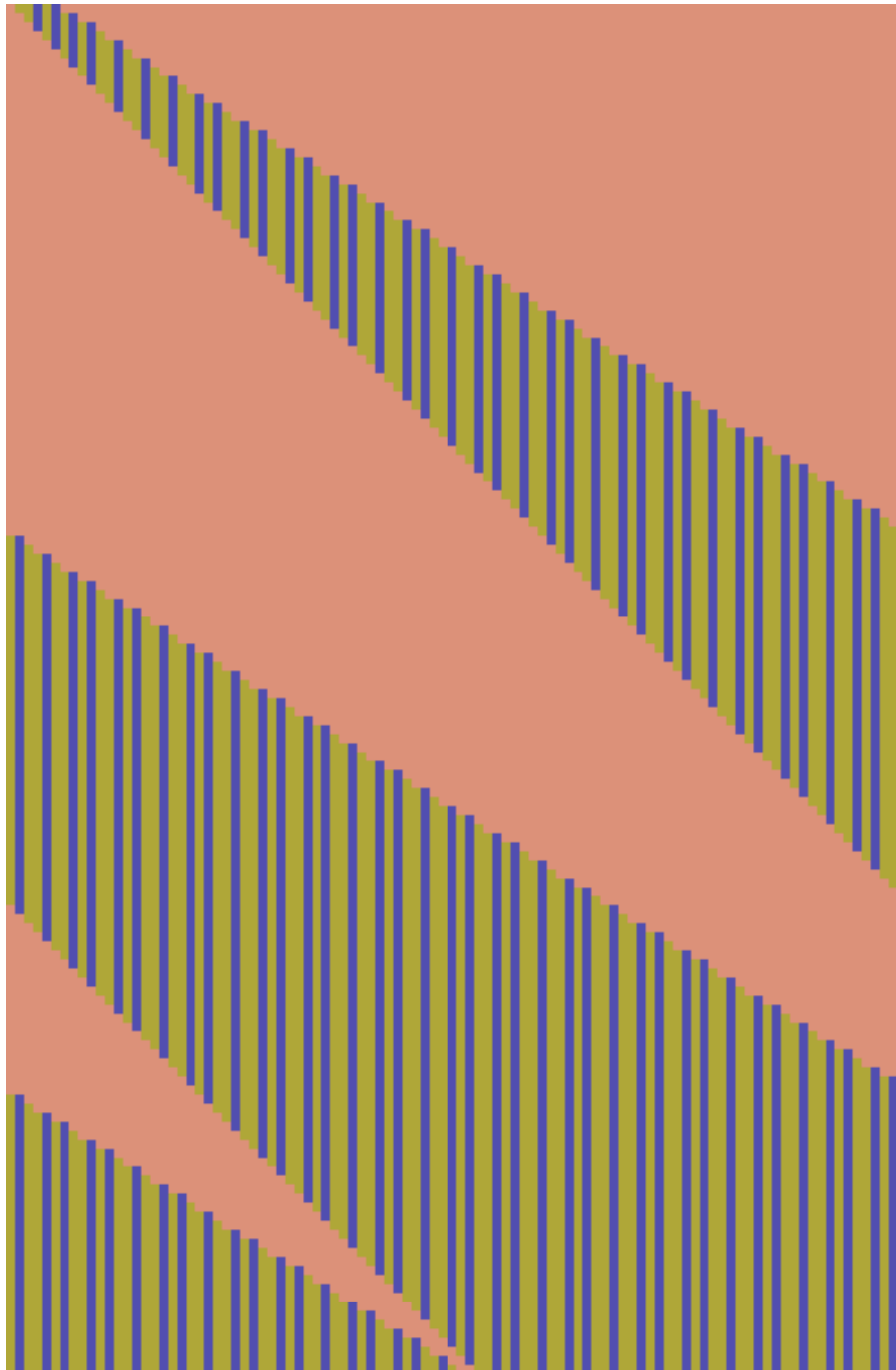


Figura 7.2: Simulación sin pasos intermedios de la cadena inicial 00101 en un arreglo de 100 celdas, 16017 evoluciones y 152 cadenas generadas.

Con condiciones iniciales aleatorias en el autómata celular se puede observar que en algunas ocasiones se notan múltiples patrones similares a los de introducir una cadena del sistema tag:



Figura 7.3: Condiciones iniciales aleatorias en el autómata celular equivalente en un arreglo de 300 celdas y 500 evoluciones.

### 7.1.2. Sistemas Tag con $P = 2$ y Tres Símbolos

Stephen Wolfram en su artículo *After 100 Years, Can We Finally Crack Post's Problem of Tag? A Story of Computational Irreducibility, and More* (Después de 100 años, ¿podemos finalmente resolver el problema de las etiquetas de Post? Una historia de irreductibilidad computacional y más) [12] presenta algunos ejemplos de sistemas tag con  $P = 2$  y  $\Sigma_{TS} = \{0, 1, 2\}$ . Las reglas de producción de cada uno son las siguientes:

a)  $0 \rightarrow 0, 1 \rightarrow 02, 2 \rightarrow 211$

b)  $0 \rightarrow 0, 1 \rightarrow 01, 2 \rightarrow 212$

c)  $0 \rightarrow 0, 1 \rightarrow 22, 2 \rightarrow 102$

Cuyos autómatas celulares equivalentes calculados tienen características iguales: 38 reglas y 15 símbolos. Los alfabetos calculados son equivalentes, pero difieren en su comportamiento debido a que varias reglas de transición son distintas. A continuación se muestran algunas simulaciones de cada uno:

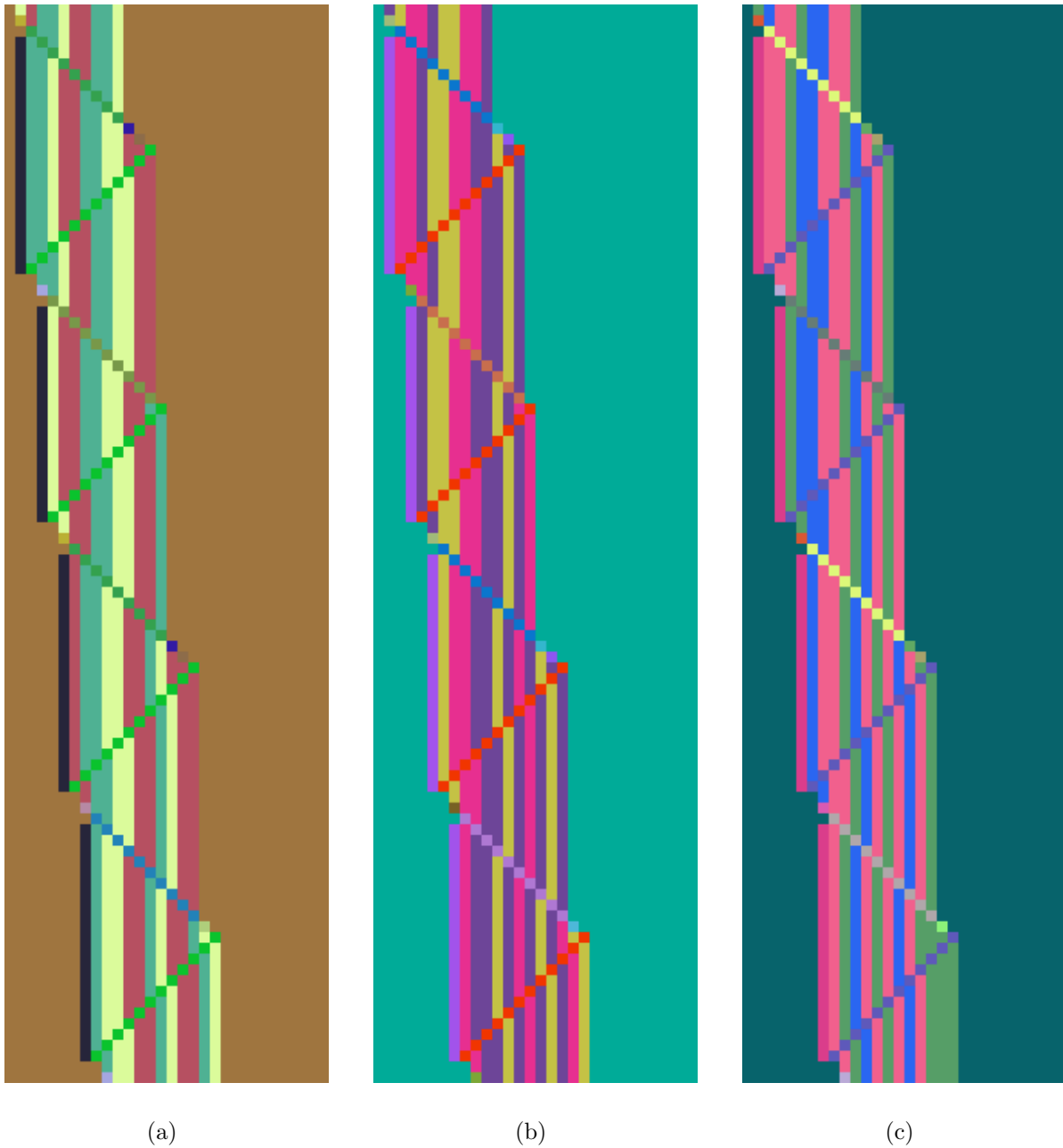


Figura 7.4: Autómatas celulares equivalentes con cadena inicial 2100211002 en un arreglo de 30 celdas y 100 evoluciones.

En la Figura 7.4 se puede observar que cada autómatas celular hace un cálculo diferente para la misma cadena 2100211002 aunque b) y c) presentan patrones muy similares.

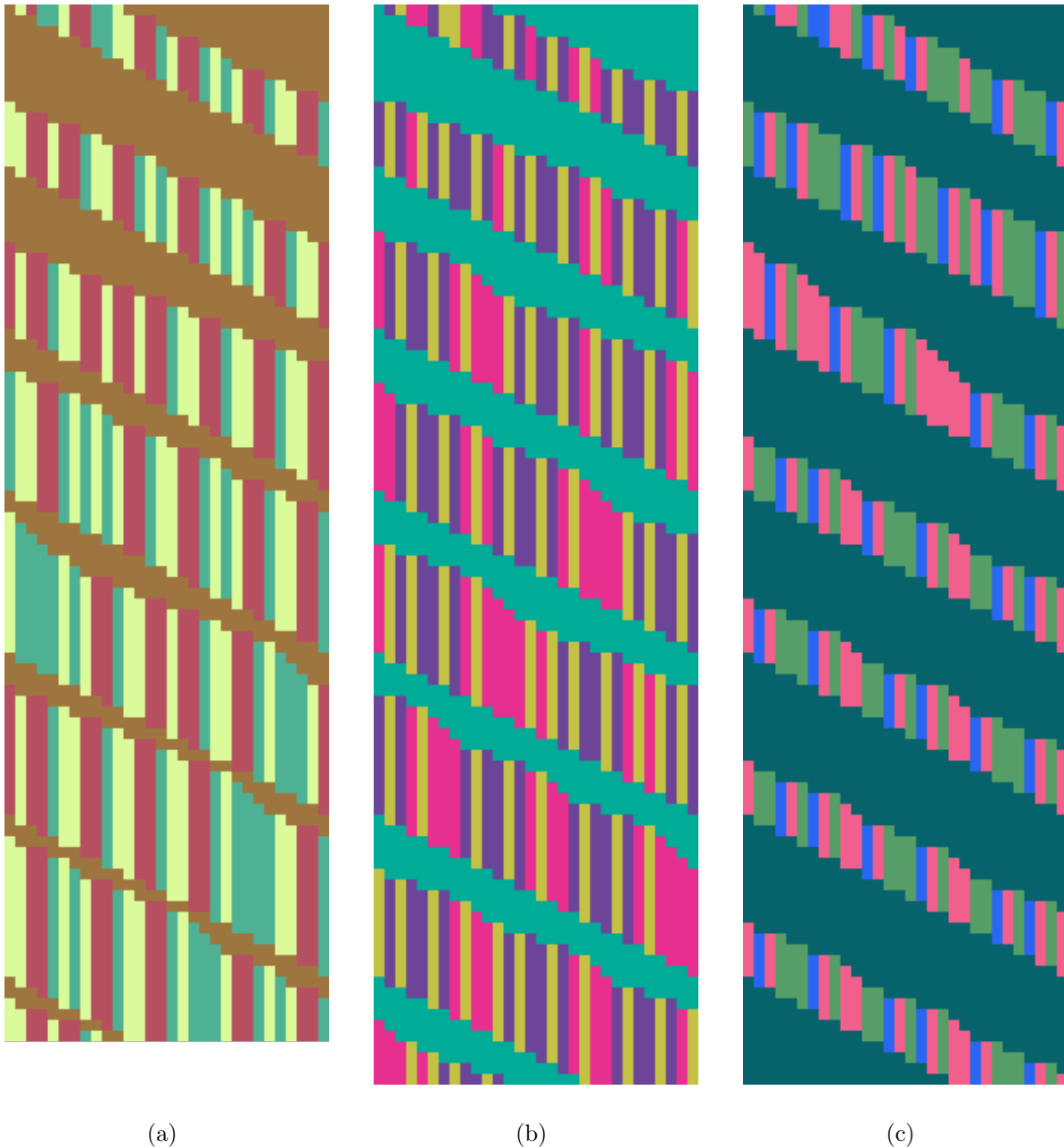
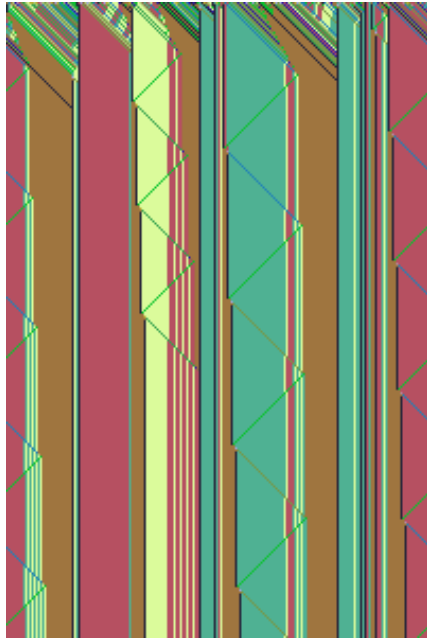


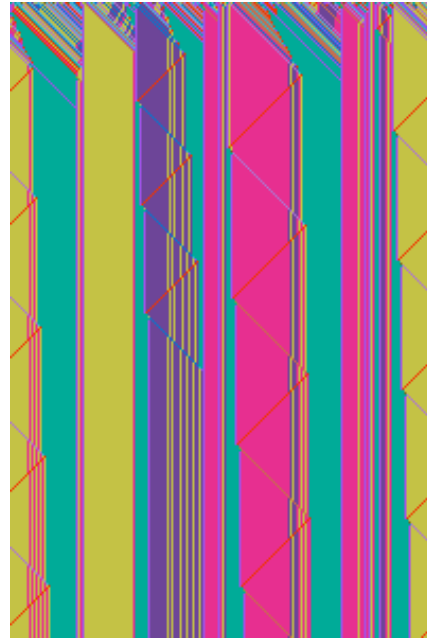
Figura 7.5: Cadenas generadas de cada sistema tag con la cadena inicial 2100211002 en un arreglo de 30 celdas: a) 4452 evoluciones y 95 cadenas, b) 4281 evoluciones y 100 cadenas, c) 2661 evoluciones y 100 cadenas.

En la Figura 7.5 las simulaciones muestran el cálculo que cada sistema tag realiza sobre la misma cadena 2100211002, los cuales corresponden a la generación de cadenas diferentes demostrando que los autómatas celulares que corresponden a cada

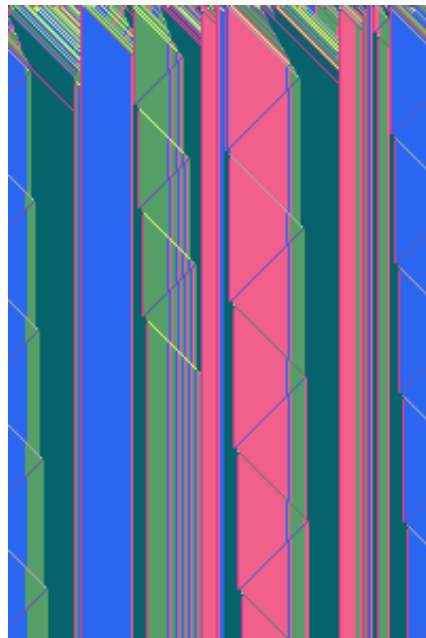
uno, en realidad generan cadenas distintas a pesar de que en los pasos intermedios muestren un comportamiento muy semejante entre sí.



(a)



(b)



(c)

Figura 7.6: Cada autómata celular comparte las mismas condiciones iniciales aleatorias en un arreglo de 200 celdas y 300 evoluciones.

En las mismas condiciones iniciales aleatorias se desarrollan comportamientos muy semejantes, pero en varias estructuras los patrones son distintos, este fenómeno es posible debido a la definición de cada sistema tag mostrado porque presentan muchas similitudes.

### 7.1.3. Sistema Tag de la Máquina de Turing Universal de Wolfram más pequeña

En la sección 4.7 se define un sistema tag que produce los movimientos del cabezal de una máquina de Turing universal de dos estados y tres colores. Este sistema tag es de número de borrado  $P = 2$  y las reglas de producción son:

$$\begin{aligned}
 &0 \rightarrow 32, 1 \rightarrow 65, 2 \rightarrow 11, 3 \rightarrow 0, 4 \rightarrow, 5 \rightarrow 00, 6 \rightarrow 11, 7 \rightarrow 00, 8 \rightarrow ba, 9 \rightarrow ed, a \rightarrow 9999, \\
 &b \rightarrow 8, c \rightarrow 8, d \rightarrow 8, e \rightarrow 9999, f \rightarrow 8888, g \rightarrow ji, h \rightarrow ml, i \rightarrow 99hh, j \rightarrow ggoooo, k \rightarrow ggoo, \\
 &l \rightarrow ggoooo, m \rightarrow 9999h, n \rightarrow, o \rightarrow rq, p \rightarrow ut, q \rightarrow p, r \rightarrow oooo, s \rightarrow oooo, t \rightarrow oooo, \\
 &u \rightarrow p, v \rightarrow o
 \end{aligned}$$

Se calculó un autómata celular de 364 reglas de transición y un alfabeto de 149 símbolos, a continuación muestran algunas de las simulaciones con cadenas del sistema tag y condiciones iniciales aleatorias:

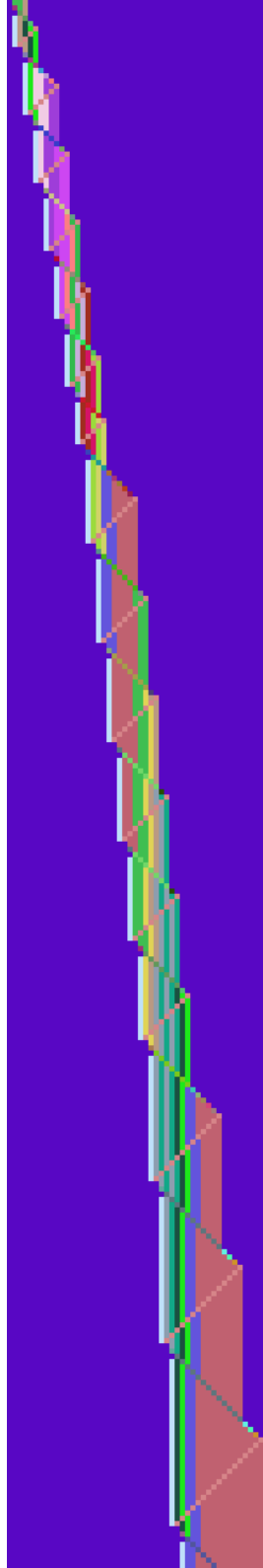


Figura 7.7: Autómata celular equivalente con cadena inicial  $00i$  en un arreglo de 50 celdas y 300 evoluciones.

Al quitar los pasos intermedios del autómata celular para el cálculo de las cadenas generadas por este sistema tag se observan bloques de cadenas donde se repiten uno o dos símbolos que representan el movimiento del cabezal de la máquina de Turing en una dirección tal como se presenta en la figura 7.8:

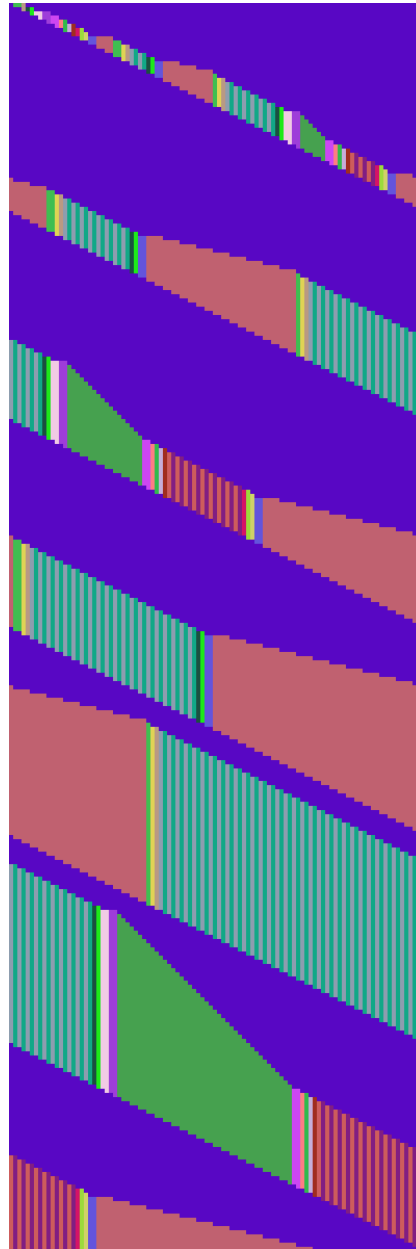


Figura 7.8: Cadenas generadas del sistema tag con la cadena inicial  $00i$  en un arreglo de 100 celdas y 300 cadenas generadas en 29897 evoluciones.

Debido a que este autómata celular tiene un alfabeto amplio y las reglas de transición son mínimas comparadas con el número de reglas posibles con este alfabeto:

$$C_T = |\Sigma|^{2r+1} = 149^{2(1)+1} = 149^3 = 3,307,949$$

$$R_T = |\Sigma|^{C_T} = 149^{3,307,949}$$

Es difícil encontrar un comportamiento complejo con condiciones iniciales aleatorias, las exploraciones realizadas resultan en configuraciones homogéneas. La búsqueda de condiciones iniciales que resulten en un comportamiento complejo esta más allá de los alcances de este trabajo. Pero su funcionamiento con cadenas del alfabeto del sistema tag ha sido demostrado por la exploración realizada.



Figura 7.9: Condiciones iniciales aleatorias en el autómata celular equivalente en un arreglo de 300 celdas y 500 evoluciones.

## 7.2. Propiedades

### 7.2.1. Computación Paralela

Una de las principales ventajas de calcular autómatas celulares equivalentes a sistemas tag es que los autómatas celulares pueden ampliar el arreglo de celdas y el espacio de evolución que teóricamente pueden ser infinitos, aunque son limitados por la memoria de dispositivo haciéndolos finitos en la práctica. Esto implica que se pueden introducir múltiples cadenas en el alfabeto del sistema tag separadas por el símbolo del espacio nulo  $N$ . La configuración de las condiciones iniciales se realiza mediante la expresión regular:

$$(\Sigma_{TS}^+(\Sigma_{TS}^+)^*N(N^*))^n$$

Donde:

- $\Sigma_{TS}$  es el alfabeto del sistema tag.
- $N$  es el símbolo del espacio nulo.
- $n$  es el número de cadenas a calcular.

A continuación se presentan algunos ejemplos donde se aplica este método de paralelización del sistema tag:

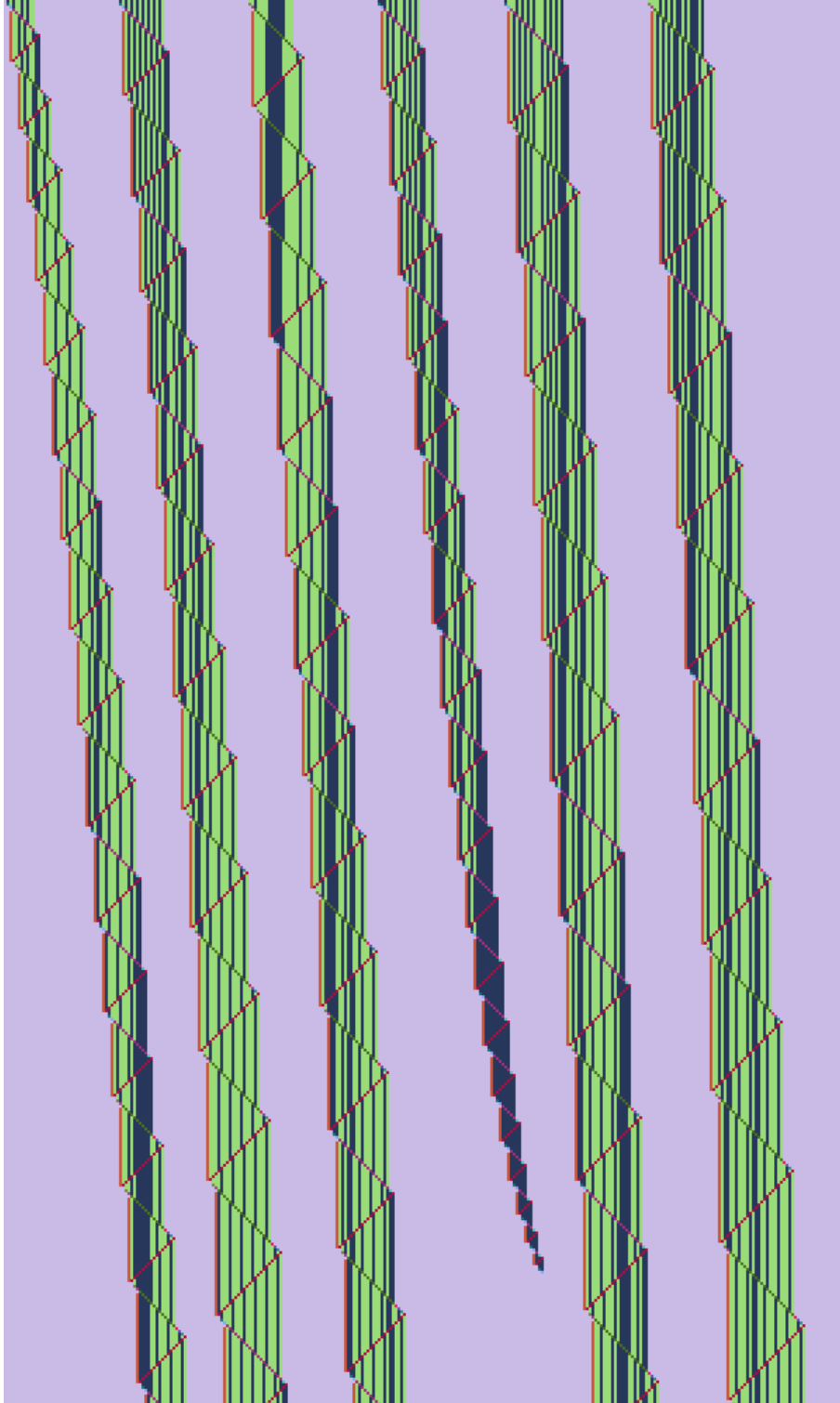


Figura 7.10: Autómata celular equivalente al sistema tag de la sección 4.8 calculando paralelamente 6 cadenas (0101101011, 0101010101010101, 1101111000000111, 000101011010101, 011101010101110101010, 11110101010010100010).

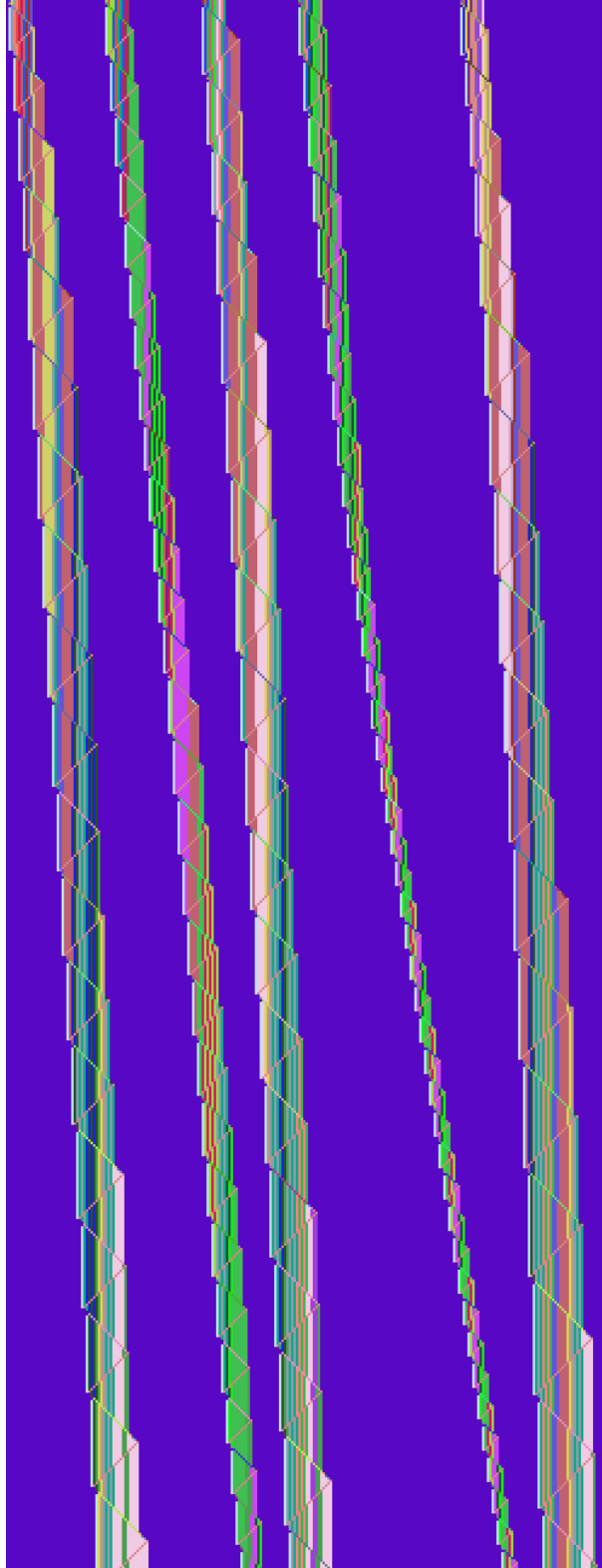


Figura 7.11: Autómata celular de la subsección 7.1.3 calculando paralelamente 5 cadenas (*c8ref6o7lg*, *5o557fq76s*, *lkcd02r9eq*, *0npe73200i*, *gfbjtienh9*).

### 7.2.2. Gráficas de Frecuencia y Entropía de Shannon

Las gráficas de frecuencia son aquellas que muestran el número de veces que aparece un símbolo en cada evolución. Es decir, es una gráfica bidimensional donde en el eje  $x$  es el número de evoluciones y el eje  $y$  es la frecuencia de los símbolos.

La entropía de Shannon calcula la cantidad de información que hay en una cadena de símbolos, el número resultante indica el número de bits que se necesitan para codificar dicha información. Se calcula con la fórmula:

$$H = \sum_{i=1}^k -\frac{n_i}{N} \log_2 \frac{n_i}{N}$$

Donde:

- $H$  es la entropía de Shannon.
- $k$  es el número de símbolos en el alfabeto.
- $n_i$  es el número de veces que aparece el  $i$ -ésimo símbolo en la cadena.
- $N$  es el número de símbolos total en la cadena.

En la gráfica de la entropía de Shannon se observa como cambia  $H$  por cada evolución. A continuación se muestran algunos ejemplos de estas gráficas.

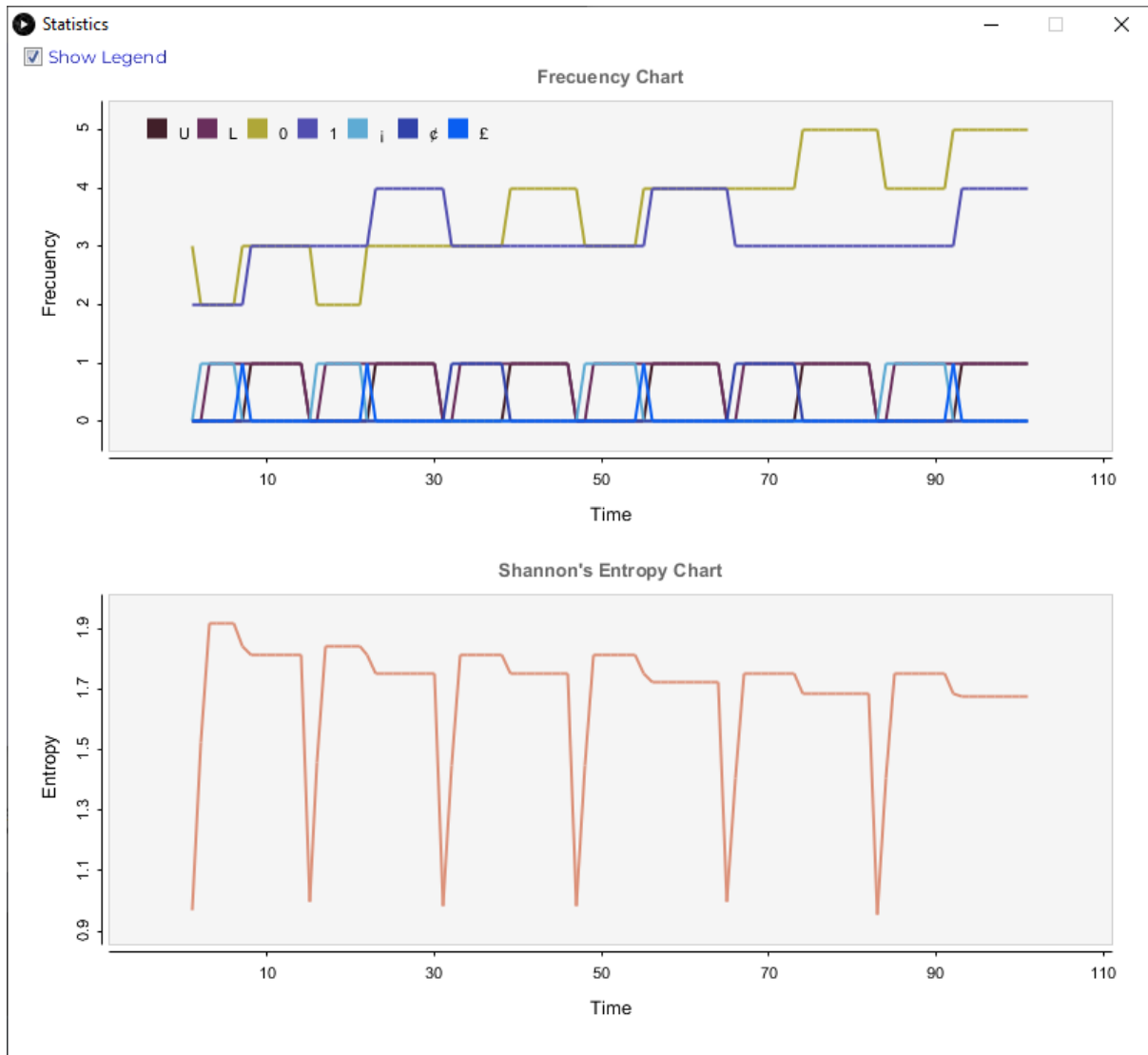


Figura 7.12: Gráficas de las evoluciones mostradas en la figura 7.1.

Como se observa en la figura 7.1 se obtuvieron 6 cadenas del sistema tag. En la gráfica de frecuencia de la figura 7.12 se tienen el número se observa que los símbolos del alfabeto del sistema tag son los que más fluctúan a través de las evoluciones simuladas, pero estas fluctuaciones son saltos escalonados debido a que durante el proceso permanecen en número hasta que se borran y añaden las cadenas adjuntas. En la gráfica de entropía de la misma figura se observan picos convexos hacia abajo en las evoluciones donde se obtuvieron las cadenas del sistema tag, esto sucede por-

que los símbolos auxiliares del autómata celular aumentan la entropía, pero cuando resultan solo las cadenas del sistema tag el número de símbolos en el espacio disminuye y así mismo la cantidad de información. Esto se observa en las gráficas que presentan en la siguiente figura (Figura 7.13) donde solo se obtuvieron las cadenas del sistema tag sin los pasos intermedios donde se muestra la entropía únicamente de estas cadenas.

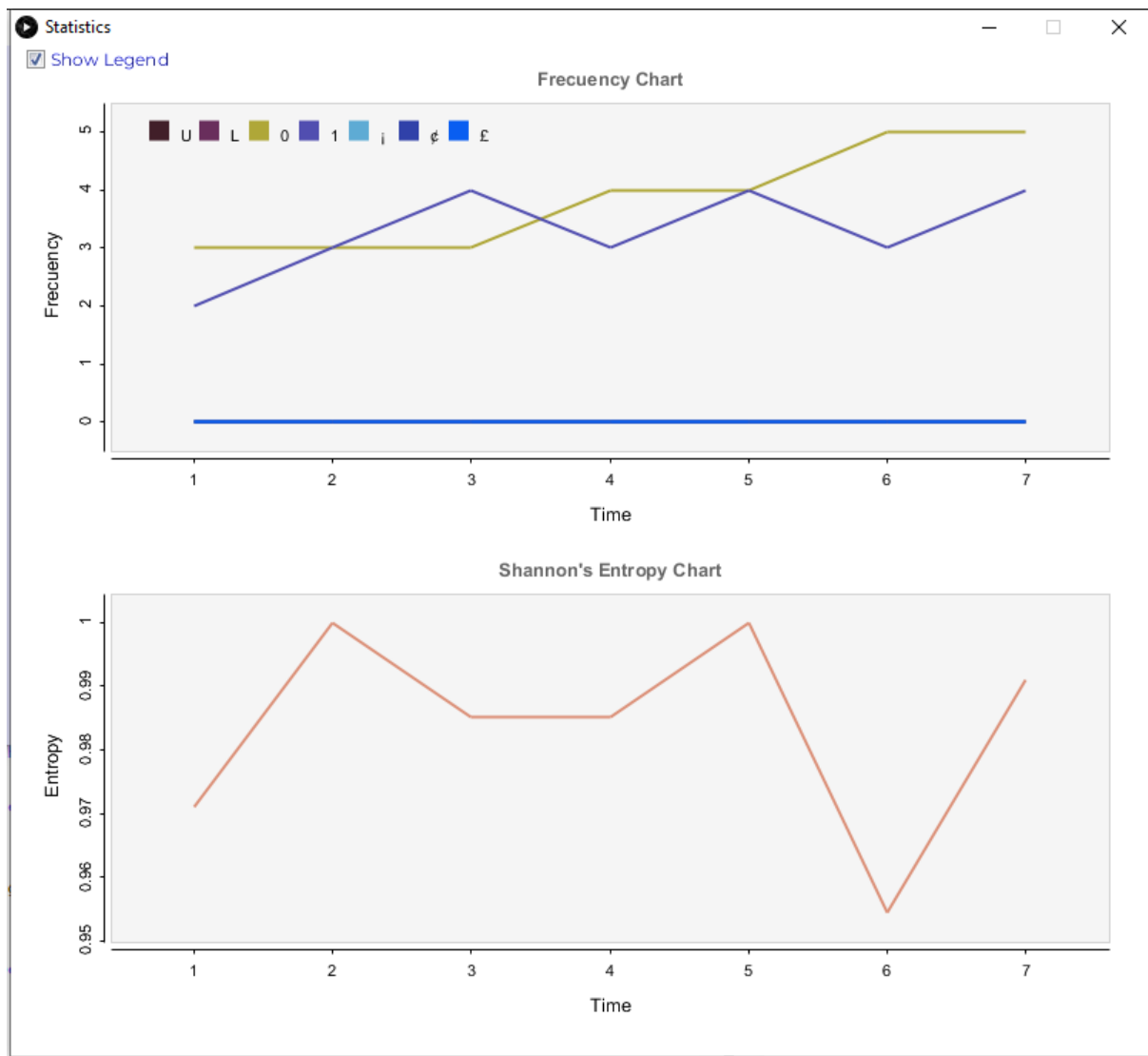


Figura 7.13: Gráficas de las cadenas del sistema tag generadas en la simulación de la figura 7.1.

Otro ejemplo de esto se puede ver en las gráficas de las evoluciones simuladas en la figura 7.7 aunque los picos en la entropía son menos notables en algunas zonas debido a que el sistema tag tiene un mayor número de símbolos que pueden aparecer en el espacio de evoluciones del autómata celular.

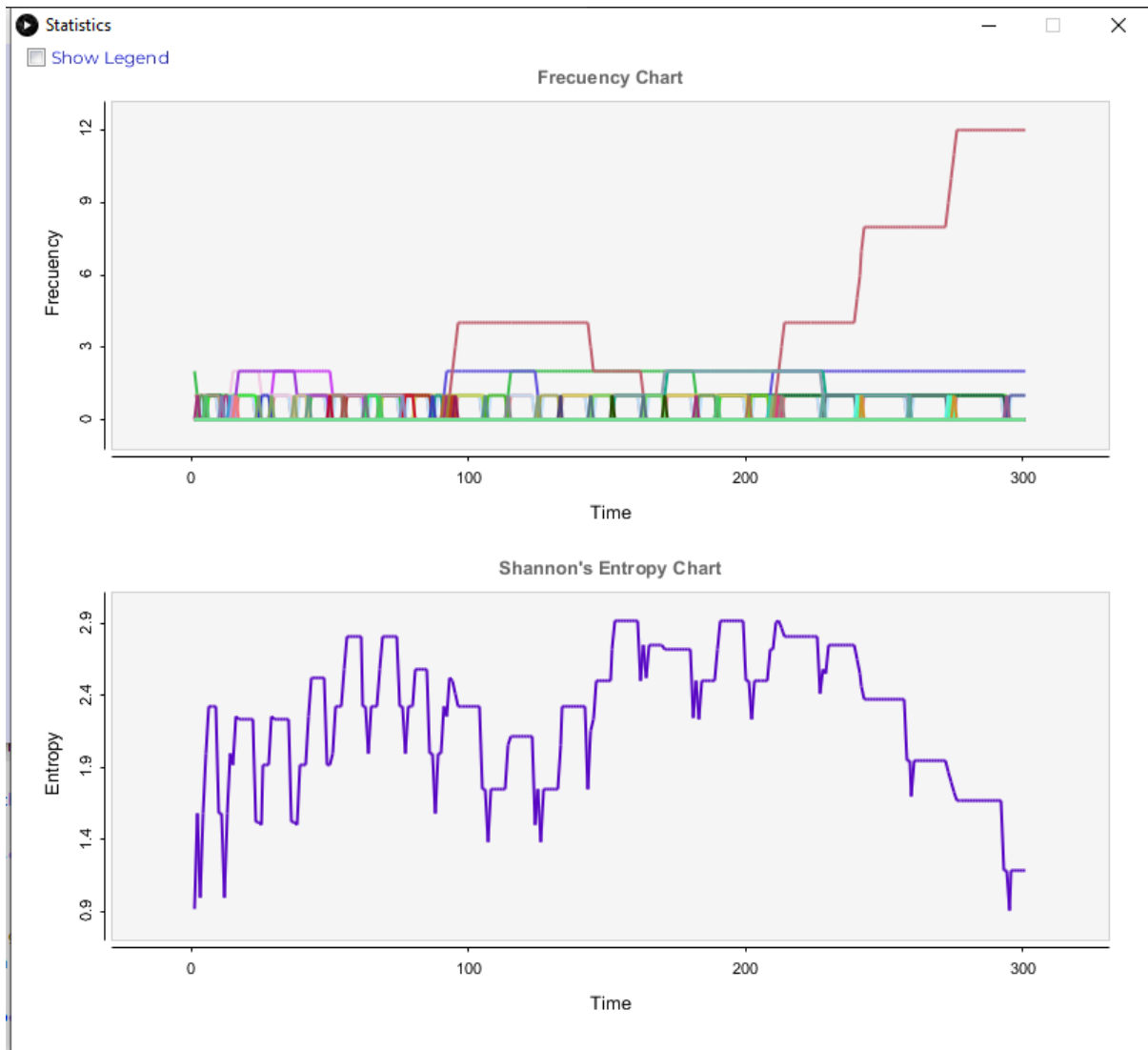


Figura 7.14: Gráficas de las evoluciones mostradas en la figura 7.7.

En las siguientes figuras se muestran las gráficas generadas por las simulaciones de las figuras 7.10 y 7.11 donde se calculan cadenas de sus respectivos sistemas tag en paralelo, en estos no se encuentra un patrón evidente como en las anteriores. Esto

sucede porque no hay una sincronización en el cálculo de cada una de las cadenas, sino que cada cadena se calcula de manera independiente, así que a lo largo de las evoluciones, la frecuencia de cada símbolo es más fluctuante que en el cálculo de una cadena individual.

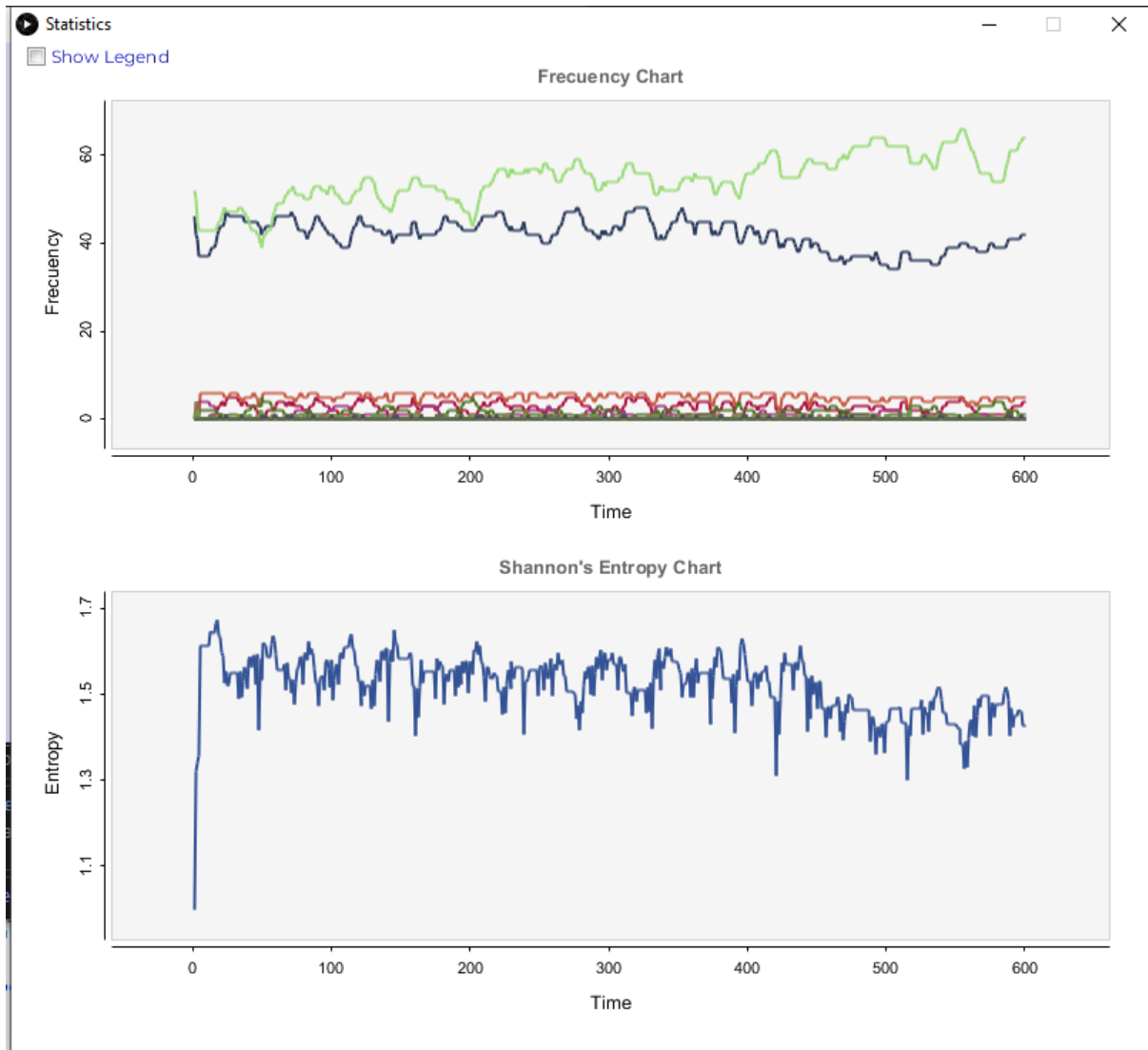


Figura 7.15: Gráficas de las evoluciones mostradas en la figura 7.10.

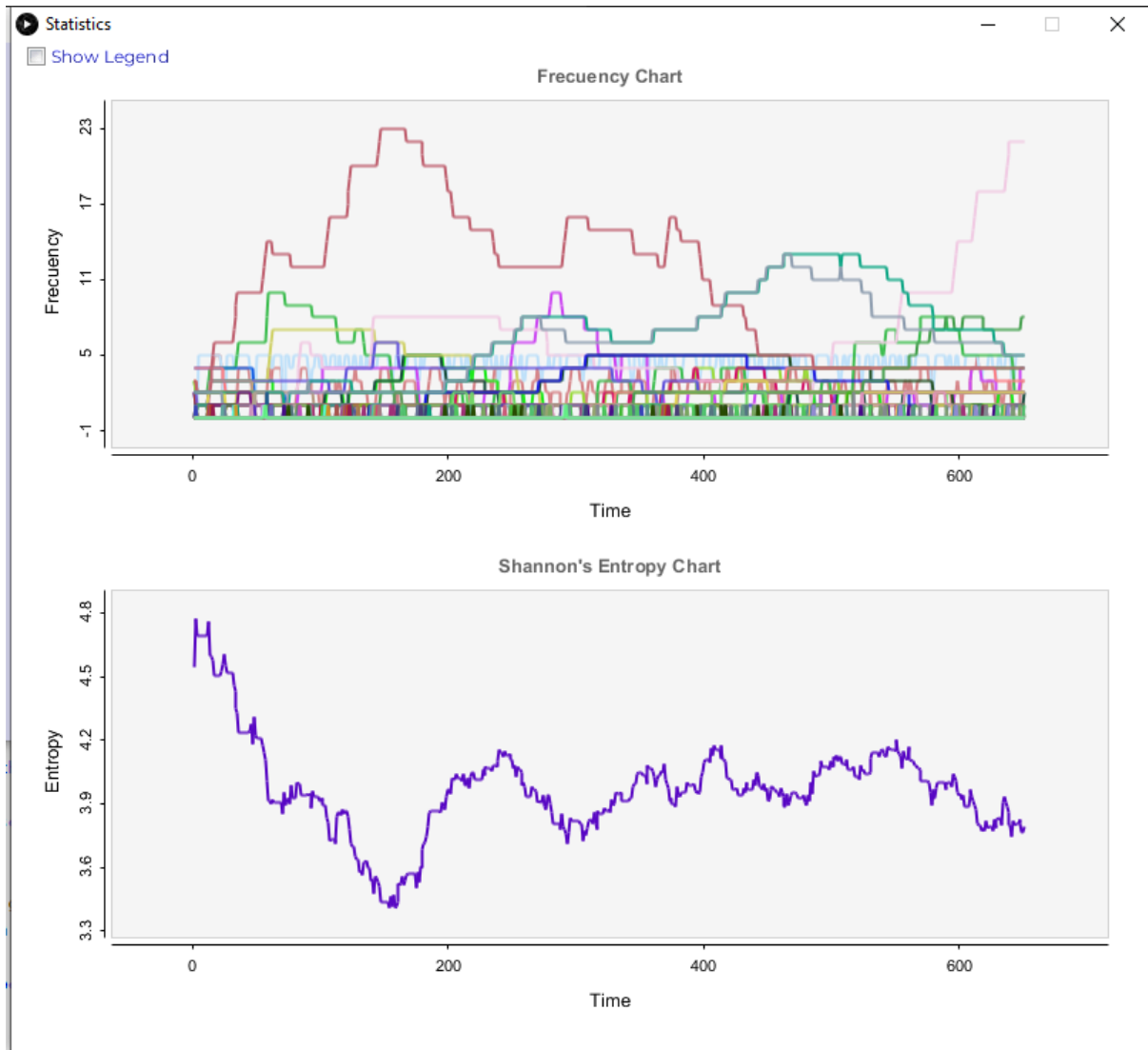


Figura 7.16: Gráficas de las evoluciones mostradas en la figura 7.11.

### 7.2.3. Computación No Convencional

La computación no convencional trata de quitar el prejuicio que hay sobre el concepto de computadora como un aparato con componentes específicos. Más allá de los componentes físicos, la esencia de la computación es que un mecanismo que muestra un comportamiento complejo se puede construir sin recurrir a componentes cada vez más complejos. Al considerar un conjunto de bloques o elementos, ca-

da uno capaz de calcular una función simple, tal que la salida de cualquiera de estos pueda ser usada como la entrada de otro. Un fenómeno tal como la función de transición de un autómata celular que utiliza los valores de las celdas cercanas a la celda central y junto con esta calcular el valor siguiente.

Las computadoras convencionales usualmente hacen la tarea del procesamiento en serie, es decir, cada tarea se realiza después de otra, pero en la computación no convencional es cada vez más común obtener métodos de paralelización para el cálculo de funciones como se vio en la subsección 7.2.1, esos autómatas celulares son capaces de calcular múltiples cadenas de un solo sistema tag de manera simultánea. Este conjunto de autómatas celulares que simulan sistemas tag pueden ser programados en una máquina de autómatas celulares, esta máquina puede sintetizar diferentes arquitecturas de autómatas celulares de varias dimensiones, por supuesto, los unidimensionales que se trabajaron a lo largo de esta investigación, este enfoque se ha denominado *Materia Programable*, este concepto fue acuñado por Tommaso Toffoli y Norman Margolus en su investigación sobre la creación de un procesador basado en el concepto de autómatas celulares llamado CAM-8 [17] el cual puede procesar millones de celdas y consta de pocos componentes, principalmente una memoria de almacenamiento dinámico y otra de almacenamiento estático. CAM-8 es una malla tridimensional de módulos (similar a un búfer) que lleva a cabo un cálculo paralelo a gran escala. Esta clase de máquinas aún no han sido exploradas en su espectro de computación que es aproximadamente tres órdenes de magnitud mayor a las computadoras convencionales.

Por lo tanto, el conjunto de autómatas celulares que simulan al menos los sistemas tag con número de borrado  $P = 2$  que son capaces de computación universal pueden ser programados en arquitecturas de este tipo, siendo así un modelo de computación no convencional basado en autómatas celulares.

# Capítulo 8

## Conclusiones y Trabajo futuro

### 8.1. Conclusiones

Al desarrollo del trabajo terminal se obtuvieron respuestas a las preguntas que se habían formulado en el Planteamiento del Problema.

- ¿Qué configuraciones de sistemas tag se pueden convertir en reglas de autómatas celulares?

Conforme al desarrollo del capítulo 5 se encontró un algoritmo que puede calcular un autómata celular equivalente a un sistema tag arbitrario. Así que cualquier sistema tag con un borrado constante de símbolos y verificación del primer símbolo de la cadena para añadir la cadena adjunta es candidato a tener un autómata celular equivalente. Esto también quedó demostrado mediante la implementación de este algoritmo en el simulador desarrollado en el capítulo 6. Aunque la generación de las cadenas de esta clase de autómatas podría ser optimizado para utilizar menos evoluciones.

- ¿Cómo sería el proceso de conversión?

El proceso de conversión parece sencillo en la idea general, pero no es una tarea

trivial debido a que el punto más importante de este es establecer las reglas de transición para el autómata celular y como se vio deben ser modeladas muchas reglas para que el autómata celular funcione correctamente. Este proceso está detallado en los ejemplos expuestos en el capítulo 5 donde se explica cómo se generan reglas que pueden resultar en un mecanismo de borrado y concatenación de las cadenas adjuntas del sistema tag mediante de dos tipos de símbolos: auxiliares y de control (banderas). Así mismo se encontró un método heurístico para realizar este proceso explicado en el mismo capítulo.

- ¿Qué características se pueden obtener del análisis de sistemas tag como sistemas dinámicos discretos?

Durante el desarrollo del capítulo 7 se encontró que un sistema tag se puede analizar en el espacio de los autómatas celulares, algo que les provee de una característica muy notable porque es posible aplicar métodos de análisis de sistemas dinámicos discretos a estos. En el espacio de los autómatas celulares, las cadenas de los sistemas tag presentan un corrimiento a la derecha en un número constante de cadenas igual al número de borrado de estos. Y se necesitan varias evoluciones para calcular cada cadena que sucede a otra.

- ¿Qué características tienen los autómatas celulares que simulan sistemas tag?

Los autómatas celulares que simulan sistemas tag son capaces de generar todas las cadenas de un sistema tag dada una cadena inicial en su espacio de evoluciones presentando puntos en donde la entropía es proporcional a la de las transiciones del sistema tag. Así mismo son capaces de calcular en paralelo varias cadenas del sistema tag que simulan. En condiciones iniciales aleatorias pueden presentar patrones similares a los generados en el cálculo de cadenas del sistema tag o converger a estados homogéneos, hasta el momento no se han encontrado otra clase de patrones. Pueden ser adaptados en arquitecturas

de computación no convencional basada en autómatas celulares.

Se demostró la factibilidad del estudio debido a que es posible realizar observaciones importantes y destacables sobre el sistema tag, aunque es un sistema sencillo en su funcionamiento, es capaz de realizar tareas muy complejas y es enigmático debido a que no se ha encontrado la manera de optimizar la manera de analizarlo, posiblemente porque no hay una atención especial sobre este, pero está dotado de un buen potencial de computación.

El prototipo de un simulador desarrollado para hacer más eficiente la tarea de analizar la dinámica espacial de los sistemas tag en autómatas celulares sirvió para comprobar una hipótesis que ha surgido desde que se planteó este trabajo terminal: existe un algoritmo tal que dada una definición de un sistema tag cualquiera devuelve un autómata celular equivalente. Cuya respuesta es positiva, aunque no se cataloga como el algoritmo definitivo, sino un indicio de lo que podría ser un método de conversión heurístico.

## 8.2. Trabajo Futuro

Los objetivos siguientes son propuestos para alcanzar a futuro:

- Implementar más funciones en el simulador tales como simulación de evoluciones ilimitada, exportación en PDF de las gráficas, etc.
- Realizar más conversiones de sistemas tag a autómatas celulares equivalentes para estudiar su dinámica espacial.
- Analizar el comportamiento de más autómatas celulares equivalentes a sistemas tag.

- Optimizar el algoritmo que calcula los autómatas celulares equivalentes para que usen un alfabeto menor y menos evoluciones para el cálculo de cadenas de su sistema tag.
- Crear una librería de las funciones utilizadas en el simulador para que pueda ser usada libremente.

# Bibliografía

- [1] Cooke J., and Minsky M. (1963). Universality of TAG Systems with  $P=2$ . AI Memos 52, MIT, MA.
- [2] Cook M. (2004). Universality in Elementary Cellular Automata. *Complex Systems*, vol. 15. pp. 1–40.
- [3] De Mol L. (2008). Tag Systems and Collatz-Like Functions, *Theoretical Computer Science*, vol. 390, pp. 92–101.
- [4] Lothaire, M. (2011). Algebraic Combinatorics on Words, *Encyclopedia of Mathematics and Its Applications*, 90, Cambridge University Press.
- [5] Minsky M. (1961). Recursive Unsolvability of Post’s Problem of ”Tag” and other Topics in Theory of Turing Machines. *the Annals of Mathematics*, 2nd ser., Vol. 74, No. 3.
- [6] Neary, Turlough and Woods, Damien. (2009). Four Small Universal Turing Machines. *Fundam. Inform.* 91. 123-144. 10.3233/FI-2009-0036.
- [7] Neary T., and Cook M. (2018). Generalized Tag Systems. In *Reachability Problems*, LNCS, vol. 11123, pp. 103–116.
- [8] Post E. (1943). Formal reductions of the general combinatorial decision problem. *Am. J. Math.* 65(2), pp. 197–215.

- 
- [9] Von Neumann J. (1966). *Theory of Self-Reproducing Automata*. University of Illinois Press, Urbana.
- [10] Wang H. (1963). Tag systems and lag systems. *Math. Ann.* 152(4), pp. 65–74.
- [11] Wolfram S. (2002). *A New Kind of Science*. Wolfram Media, Inc.
- [12] Wolfram S. (2021). After 100 Years, Can We Finally Crack Post’s Problem of Tag? A Story of Computational Irreducibility, and More. *Stephen Wolfram Writings*.
- [13] Martínez J. Sergio, Mendoza M. Iván, Genaro J. Martínez and Shigeru Ninagawa, Universal One-dimensional Cellular Automata Derived from Turing Machines. *IJUC* 14.2, p. 121-138.
- [14] Reyes M. C. Z., y Peralta R. E. F. (2019). Caracterización de las evoluciones fractales de los autómatas celulares elementales. Escuela Superior de Cómputo, Instituto Politécnico Nacional, Tesis de Ingeniería.
- [15] Rogozhin, Yu. (1996). Small Universal Turing Machines, *Theoret. Comput. Sci.* 168, 215–240.
- [16] Russell B., and Whitehead N. A. (1910). *Principia Mathematica*. Cambridge University Press.
- [17] Toffoli, Tommaso, and Margolus, Norman, “Programmable matter,” *Physica D* 47 (1991), 263–272.
- [18] Smith A. (2007). Universality of Wolfram’s 2, 3 Turing Machine. *Complex Systems journal*.

# Capítulo 9

## Glosario

En este último apartado se muestran las definiciones de algunos de los términos o acrónimos presentes en el documento, a fin de facilitar al lector la total comprensión del mismo.

- **Alfabeto.** Es un conjunto finito no vacío, cuyos elementos se denominan letras o símbolos. Denotamos un alfabeto arbitrario con la letra  $\Sigma$ .
- **Complemento Booleano.** Es una operación unitaria cuya aplicación resulta en la negación lógica de un valor. El complemento de 0 es 1 y viceversa.
- **Computación No Convencional.** Es un conjunto de áreas de la ciencia que buscan la implementación de computación basada en el hecho de que la computación es un proceso por el cual los datos son manipulados: adquiriéndolos (entrada), transformándolos (haciendo cálculos) y transfiriéndolos (salida), es decir, cualquier forma de procesamiento ocurrida, ya sea de manera natural o manipulada por algún medio como: computadoras de reacción difusión, algoritmos genéticos, autómatas celulares, computadoras cuánticas, etc.
- **Computación Paralela.** Es una forma de cómputo en la que muchas instrucciones se ejecutan simultáneamente, operando sobre el principio de que pro-

blemas grandes, a menudo se pueden dividir en unos más pequeños, que luego son resueltos simultáneamente (en paralelo).

- **Computación Universal.** En la teoría de la computabilidad, se dice que un sistema de reglas de manipulación de datos (como el conjunto de instrucciones de una computadora, un lenguaje de programación o un autómata celular) es Turing completo o computacionalmente universal si se puede usar para simular cualquier máquina de Turing.
- **Diagramas de Atractores.** Es un conjunto de valores hacia los cuales un sistema tiende a evolucionar, dada una gran variedad de condiciones iniciales en el sistema.
- **Diagramas de De Bruijn.** Es una gráfica en donde los nodos son secuencias de símbolos de algún alfabeto y las ligas de los nodos describen como tales secuencias pueden traslapar para formar otras secuencias.
- **Evolución de un autómata celular.** Es una transición que resulta en una configuración global del autómata celular.
- **Expresión regular.** Es una forma de representar los lenguajes regulares, y se construye utilizando caracteres del alfabeto sobre el cual se define el lenguaje.
- **Heurística.** En computación, dos objetivos fundamentales son encontrar algoritmos con buenos tiempos de ejecución y buenas soluciones, usualmente las óptimas. Una heurística es un algoritmo que abandona uno o ambos objetivos; por ejemplo, normalmente encuentran buenas soluciones, aunque no hay pruebas de que la solución no pueda ser arbitrariamente errónea en algunos casos; o se ejecuta razonablemente rápido, aunque no existe tampoco prueba de que siempre será así. Las heurísticas generalmente son usadas cuando no

existe una solución óptima bajo las restricciones dadas (tiempo, espacio, etc.), o cuando no existe del todo.

- **Lenguaje de programación.** Es una herramienta que permite desarrollar software o programas para computadora. Los lenguajes de programación son empleados para diseñar e implementar programas encargados de definir y administrar el comportamiento de los dispositivos físicos y lógicos de una computadora.
- **Modelo Computacional.** Es un modelo matemático en las ciencias de la computación que requiere extensos recursos computacionales para estudiar el comportamiento de un sistema complejo por medio de la simulación por computadora.
- **Morfología Matemática.** Es una teoría y técnica para el análisis y tratamiento de las estructuras geométricas, basada en la teoría de conjuntos, teoría de retículos, topología y funciones aleatorias.
- **Patrón fenotípico.** Es un conjunto de rasgos o características observables.
- **Símbolo.** Es una entidad abstracta que no se puede definir, la cual normalmente son letras, dígitos, caracteres. Los símbolos pueden estar formados por varias letras o caracteres.

# Capítulo 10

## Anexos

En esta sección se encontrarán los anexos del Trabajo Terminal 2020-B100 relacionados con el desarrollo del simulador. El código fuente del prototipo de simulador se encuentra disponible en el siguiente repositorio de GitHub: <https://github.com/DerAlanBaruch/gts2ca>.

### 10.1. Clase del Sistema Tag

```
1 class GTS {
2     String[][] rules;
3     int p, l;
4     String actual;
5     color[] cr = {#77E6D9, #E58860};
6     String[] e;
7     int c = 0;
8     int t = 0;
9     int tt = 0;
10    int m = 0;
11    int scl = 1;
12    int y = 0;
13    StringList caRules = new StringList();
14    String[] ect = {"N", "U", "L"};
15    StringList eca = new StringList(ect);
16    StringList productionRules;
17    int randomLen = 10;
18
19    GTS(int _p, String[] _e) {
```

```
20     p = _p;
21     e = _e;
22     l = e.length;
23     rules = new String[p][l];
24     initRules();
25 }
26
27 GTS(int _p) {
28     p = _p;
29 }
30
31 GTS() {
32 }
33
34 void setMode(int _m) {
35     m = _m;
36 }
37
38 void setRandomLen(int _rlen) {
39     randomLen = _rlen;
40 }
41
42 StringList getCARules() {
43     return caRules;
44 }
45
46 StringList getCAAlpha() {
47     return eca;
48 }
49
50 StringList getRules() {
51     return productionRules;
52 }
53
54 String randomInitialString() {
55     String randomInit = "";
56     for (int i = 0; i < randomLen; i++) {
57         randomInit = randomInit + e[int(random(e.length))];
58     }
59     return randomInit;
60 }
61
62 void setRules(StringList _productionRules) {
63     productionRules = _productionRules;
64 }
```

```
65
66 void initRules() {
67     for (int i = 0; i < p; i++) {
68         for (int j = 0; j < l; j++) {
69             rules[i][j] = "";
70         }
71     }
72 }
73
74 void setScale(int _s) {
75     scl = _s;
76 }
77
78 void initColors() {
79     float n = parseFloat(l) - 2.0;
80     cr[0] = color(255, 255, 255);
81     cr[cr.length - 1] = color(0, 0, 0);
82     if (n > 0) {
83         float a = 255.0/(n + 1.0);
84         for (int i = 1; i < cr.length - 1; i++) {
85             cr[i] = color(int(i*a), int(i*a), int(i*a));
86         }
87     }
88 }
89
90 String[] getSymbols() {
91     return e;
92 }
93
94 void setSymbols(String[] _e) {
95     e = _e;
96     l = e.length;
97     rules = new String[p][l];
98     initRules();
99 }
100
101 void setAppendat(int i, int j, String a) {
102     rules[i][j] = a;
103 }
104
105 void printRules() {
106     for (int i = 0; i < p; i++) {
107         printArray(rules[i]);
108     }
109 }
```

```
110
111 void setInitialString(String init) {
112     actual = init;
113 }
114
115 String getActualString() {
116     return actual;
117 }
118
119 int getMode() {
120     return m;
121 }
122
123 void generate() {
124     if (actual.length() >= 1) {
125         String cs = actual.substring(0, 1);
126         if (m == 0) {
127             if (c == 0 && actual.length() >= p) {
128                 tt = tt + 1;
129                 y = tt;
130                 for (int i = 0; i < e.length; i++) {
131                     if (e[i].equals(cs)) {
132                         actual = actual.substring(p, actual.length()) +
133                             ↵ rules[c][i];
134                     }
135                 }
136             } else {
137                 y = t;
138                 for (int i = 0; i < e.length; i++) {
139                     if (e[i].equals(cs)) {
140                         actual = actual.substring(1, actual.length()) + rules[c][i];
141                     }
142                 }
143             }
144             t = t + 1;
145             c = t % p;
146         }
147     }
148
149 float entropy() {
150     float n = 0.0;
151     float pr = 0.0;
152     float en = 0.0;
153     for (int j = 0; j < e.length; j++) {
```

```
154     for (int i = 0; i < actual.length(); i++) {
155         if (str(actual.charAt(i)).equals(e[j])) {
156             n = n + 1.0;
157         }
158     }
159     pr = n/parseFloat(actual.length());
160     en = en + log(pow(1/pr, pr))/log(1);
161     n = 0.0;
162 }
163 return en;
164 }
165
166 boolean halt() {
167     if (actual.length() < 1 || y*scl > height) {
168         return true;
169     }
170     return false;
171 }
172
173 int getSteps() {
174     return y;
175 }
176
177 color[] getColors() {
178     return cr;
179 }
180
181 String getRulesString() {
182     String ru = "" + p + "-";
183     for (int i = 0; i < p; i++) {
184         for (int j = 0; j < l; j++) {
185             ru = ru + "(" + i + "," + e[j] +")->" + rules[i][j] + ",";
186         }
187     }
188     return ru;
189 }
190
191 void convertToCA() {
```

```

192 String[] dic = {"ı", "ç", "f", "œ", "¥", "ı", "§", "¨", "©", "≡",
↳ "«", "¬", "®", "ˆ", "°", "±", "²", "³", "´", "µ", "¶", "·", "¸",
↳ "¹", "º", "»", "¼", "½", "¾", "¿", "À", "Á", "Â", "Ã", "Ä", "Å",
↳ "Æ", "Ç", "È", "É", "Ê", "Ë", "Ì", "Í", "Î", "Ï", "Ñ", "Ò",
↳ "Ó", "Ô", "Õ", "Ö", "×", "Ø", "Ù", "Ú", "Û", "Ü", "Ý", "ß",
↳ "à", "â", "ã", "ä", "å", "æ", "ç", "è", "é", "ê", "ë", "ì", "í",
↳ "î", "ï", "ñ", "ò", "ó", "ô", "õ", "ö", "÷", "ø", "ù", "ú",
↳ "û", "ü", "ý", "ÿ", "Ā", "ā", "Ă", "ă", "A", "a", "Ĉ", "ĉ",
↳ "Ċ", "ċ", "Č", "č", "Ď", "ď", "Đ", "đ", "Ē", "ē", "Ĕ",
↳ "ĕ", "Ė", "ė"};
193 StringList ets = new StringList(e);
194 StringList ep = new StringList();
195 StringList es = new StringList();
196 StringList ea = new StringList();
197
198 int ic = 0;
199 int ia = 0;
200 eca.append(ets);
201 for (int i = 0; i < l; i++) {
202     es.appendUnique(dic[ic]);
203     ic = ic + 1;
204 }
205
206 for (int i = 0; i < l*(p - 1); i++) {
207     ep.appendUnique(dic[ic]);
208     ic = ic + 1;
209 }
210
211 for (int i = 0; i < rules[0].length; i++) {
212     for (int j = 0; j < rules[0][i].length() - 1; j++) {
213         ea.appendUnique(dic[ic]);
214         ic = ic + 1;
215     }
216 }
217
218 eca.append(es);
219 eca.append(ep);
220 eca.append(ea);
221
222 if (ep.size() > 0)
223     caRules.append("N[" + join(ep.array(), "") + "].{1}->N");
224 caRules.append(".{1}N[" + join(es.array(), "") + "]->L");
225 caRules.append(".{1}L[" + join(ets.array(), "") + "]->L");
226 caRules.append("NN[NL" + join(ets.array(), "") + join(ep.array(), "")
↳ + "]->N");

```

```

227 caRules.append("[U" + join(ets.array(), "") + join(ep.array(), "") +
    ↪ "[NL]->N");
228 caRules.append("[L" + join(ets.array(), "") + "]" +
    ↪ join(ets.array(), "") + "U->U");
229 caRules.append("LU[" + join(ets.array(), "") + "]->N");
230 caRules.append(".{1}LU->N");
231
232 for (int i = 0; i < ets.size(); i++) {
233     caRules.append("[LU" + join(ets.array(), "") + "]" + ets.get(i) +
    ↪ "[NL" + join(ets.array(), "") + join(es.array(), "") +
    ↪ join(ea.array(), "") + "]->" + ets.get(i));
234 caRules.append(".{1}[" + join(es.array(), "") + "]" + ets.get(i) +
    ↪ "->" + ets.get(i));
235 caRules.append(ets.get(i) + "U.{1}->" + ets.get(i));
236 if (ep.size() > 0)
237     caRules.append("N" + ets.get(i) + ".{1}->" + ep.get(i));
238 else
239     caRules.append("N" + ets.get(i) + ".{1}->" + es.get(i));
240 }
241
242 StringList eps = new StringList(ep);
243 eps.append(es);
244 for (int i = 0; i < ep.size(); i++) {
245     caRules.append(eps.get(i) + ".{2}->" + eps.get(i + 1));
246 }
247 for (int i = 0; i < es.size(); i++) {
248     caRules.append(es.get(i) + "[" + join(ets.array(), "") + "].{1}->"
    ↪ + es.get(i));
249 }
250
251 int k = 0;
252 for (int i = 0; i < rules[0].length; i++) {
253     if (rules[0][i].length() > 0) {
254         for (int j = 0; j < rules[0][i].length(); j++) {
255             if (j == 0) {
256                 if (rules[0][i].length() == 1) caRules.append(es.get(i) +
    ↪ "[NL].{1}" + "->U");
257                 else caRules.append(es.get(i) + "[NL].{1}" + "->" +
    ↪ ea.get(k));
258                 caRules.append("N" + join(ets.array(), "") + "]" + es.get(i)
    ↪ + "[NL]" + "->" + rules[0][i].charAt(j));
259             } else {
260                 if (j == rules[0][i].length() - 1) caRules.append(ea.get(k) +
    ↪ "[NL].{1}" + "->U");

```

```

261         else caRules.append(ea.get(k) + "[NL].{1}" + "->" + ea.get(k
    ↪ + 1));
262         caRules.append("[N" + join(ets.array(), "") + "]" + ea.get(k
    ↪ + "[NL]" + "->" + rules[0][i].charAt(j));
263         k++;
264     }
265 }
266 } else {
267     caRules.append(es.get(i) + "[NL].{1}" + "->N");
268     caRules.append("[N" + join(ets.array(), "") + "]" + es.get(i) +
    ↪ "[NL]" + "->U");
269 }
270 }
271
272     println(eca);
273     println(caRules);
274 }
275 }

```

## 10.2. Clase del Autómata Celular

```

1  import java.util.Map;
2  import grafica.*;
3
4  class CA {
5      ArrayList<GPointsArray> pointsFrecuency = new
    ↪ ArrayList<GPointsArray>();
6      GPointsArray pointsEntropy = new GPointsArray();
7      PGraphics pg;
8      String[] cells;
9      int generation = 0;
10     int scl = 1;
11     String init;
12     String[] e;
13     color[] ce;
14     StringList all = new StringList();
15     StringList allTS = new StringList();
16     int h;
17     int evolutions = 0;
18     boolean showStroke = false;
19     String imgPath = "";
20     String[] ets;
21     StringList rules = new StringList();
22     ArrayList<String[]> rulesList = new ArrayList<String[]>();

```

```
23     color colorStroke = color(32);
24     HashMap<String, Integer> sigmaColor = new HashMap<String, Integer>();
25     boolean onlyTS = false;
26
27     CA() {
28     }
29
30     CA(StringList _rules, StringList alpha) {
31         e = alpha.array();
32         rules = _rules;
33         for (int i = 0; i < rules.size(); i++) {
34             String[] ru = rules.get(i).split("->");
35             rulesList.add(ru);
36         }
37     }
38
39     void setETS(String[] _ets) {
40         ets = _ets;
41     }
42
43     void setPGraphics(PGraphics _pg) {
44         pg = _pg;
45     }
46
47     void setOnlyTS(boolean _ots) {
48         onlyTS = _ots;
49     }
50
51     String[] getAlpha() {
52         return e;
53     }
54
55     color[] getAlphaColors() {
56         return ce;
57     }
58
59     void setAlphaColors(color[] _ce) {
60         ce = _ce;
61         makeSigmaColorHash();
62     }
63
64     String executeRules (String strp, String a) {
65         for (String[] rule : rulesList) {
66             if (match(strp, rule[0]) != null) {
67                 return rule[1];

```

```
68     }
69     }
70     return a;
71 }
72
73 String randomInitialString() {
74     String randomInit = "";
75     for (int i = 0; i < cells.length; i++) {
76         randomInit = randomInit + e[int(random(e.length))];
77     }
78     return randomInit;
79 }
80
81 void initialize(String _init, int _w, int _h) {
82     all = new StringList();
83     all.clear();
84     allTS = new StringList();
85     allTS.clear();
86     cells = new String[_w];
87     init = _init;
88     generation = 0;
89     evolutions = 0;
90     h = _h;
91     if (cells.length > init.length()) {
92         cells[0] = "N";
93         for (int i = 1; i < init.length() + 1; i++) {
94             cells[i] = str(init.charAt(i - 1));
95         }
96         for (int i = init.length() + 1; i < cells.length; i++) {
97             cells[i] = "N";
98         }
99     } else {
100         for (int i = 0; i < cells.length; i++) {
101             cells[i] = str(init.charAt(i));
102         }
103     }
104 }
105
106 void generatePoints() {
107     pointsFrecuency = new ArrayList<GPointsArray>();
108     pointsEntropy = new GPointsArray();
109     for (int i = 0; i < e.length; i++) {
110         pointsFrecuency.add(new GPointsArray());
111     }
112 }
```

```

113     StringList toAll = new StringList();
114     if (onlyTS) toAll = allTS;
115     else toAll = all;
116     int allSize = toAll.size();
117     for (int j = 0; j < allSize; j++) {
118         StringList cArray = new StringList(split(toAll.get(j), ","));
119         IntDict tally = cArray.getTally();
120         float h = 0.0;
121         for (int k = 0; k < e.length; k++) {
122             GPointsArray gpf = pointsFrecuency.get(k);
123             if (tally.containsKey(e[k])) {
124                 gpf.add(j + 1, tally.get(e[k]));
125                 if (!e[k].equals("N")) {
126                     float p;
127                     if (tally.containsKey("N"))
128                         p = float(tally.get(e[k]))/float(cells.length -
129                             ↪ tally.get("N"));
130                     else
131                         p = float(tally.get(e[k]))/float(cells.length);
132                     h = h - p*log(p)/log(2);
133                 } else {
134                     gpf.add(j + 1, 0);
135                 }
136             }
137             pointsEntropy.add(j + 1, h);
138         }
139     }
140
141     ArrayList<GPointsArray> getGPointsFrecuency() {
142         return pointsFrecuency;
143     }
144
145     GPointsArray getGPointsEntropy() {
146         return pointsEntropy;
147     }
148
149     void generate() {
150         String stringcells = join(cells, ",");
151         evolutions++;
152         if (onlyTS) {
153             if (match(join(cells, ""), "[N" + join(ets, "") +
154                 ↪ "]" + cells.length + "]") != null) {
155                 allTS.append(stringcells);
156                 generation++;
157             }
158         }
159     }

```

```
156     println(evolution);
157     }
158     } else {
159         all.append(stringcells);
160         generation++;
161     }
162     String[] nextgen = new String[cells.length];
163     //println(join(cells, "&")+ "\\ \\ \\ \\ \\hline");
164     for (int i = 0; i < cells.length; i++) {
165         String left = cells[(cells.length + i - 1) % cells.length];
166         String right = cells[(i + 1) % cells.length];
167         nextgen[i] = executeRules(left + cells[i] + right, left);
168     }
169     for (int i = 0; i < cells.length; i++) {
170         cells[i] = nextgen[i];
171     }
172 }
173
174 PGraphics getPG() {
175     return pg;
176 }
177
178 int getEvolutions() {
179     return evolution;
180 }
181
182 void setScale(int _scl) {
183     scl = _scl;
184 }
185
186 void setShowStroke(boolean _show) {
187     showStroke = _show;
188 }
189
190 void setImgPath(String _path) {
191     imgPath = _path;
192 }
193
194 void saveEvolutions() {
195     saveStrings("frame-" + frameCount + ".txt", all.array());
196 }
197
198 void setColorStroke(color _cs) {
199     colorStroke = _cs;
200 }
```

```
201
202     color getColorStroke() {
203         return colorStroke;
204     }
205
206     void makeSigmaColorHash() {
207         for (int j = 0; j < e.length; j++) {
208             sigmaColor.put(e[j], ce[j]);
209         }
210     }
211
212     StringList getAllStrings() {
213         StringList toAll = new StringList();
214         if (onlyTS) toAll = allTS;
215         else toAll = all;
216         return toAll;
217     }
218
219     PGraphics render() {
220         int ge = 0;
221         StringList toAll = new StringList();
222         if (onlyTS) toAll = allTS;
223         else toAll = all;
224         int allSize = toAll.size();
225         pg = createGraphics(cells.length*scl, h*scl);
226         pg.beginDraw();
227         for (int j = 0; j < allSize; j++) {
228             String[] cArray = split(toAll.get(j), ",");
229             for (int i = 0; i < cArray.length; i++) {
230                 if (scl > 1) {
231                     pg.fill(sigmaColor.get(cArray[i]));
232                     if (showStroke)
233                         pg.stroke(colorStroke);
234                     else pg.noStroke();
235                     pg.rect(i*scl, ge*scl, scl, scl);
236                 } else {
237                     pg.set(i, ge, sigmaColor.get(cArray[i]));
238                 }
239             }
240             ge++;
241         }
242         pg.endDraw();
243         return pg;
244     }
245
```

```
246 void reset() {
247     pointsFrecuency = new ArrayList<GPointsArray>();
248     pointsEntropy = new GPointsArray();
249     pg = null;
250     generation = 0;
251     all = new StringList();
252 }
253
254 boolean finished() {
255     if (generation > h) {
256         return true;
257     } else {
258         return false;
259     }
260 }
261 }
```

### 10.3. Código de la Interfaz Gráfica

```
1 import g4p_controls.*;
2 import java.util.*;
3 import grafica.*;
4 GTS gts;
5 CA ca = null;
6 boolean onetime = false;
7 boolean onetimePlot = true;
8 float posX = 0;
9 float posY = 0;
10 float dzoomX = 0;
11 float dzoomY = 0;
12 boolean toDrag = false;
13 PGraphics pg, pg1, pg12;
14 float zoom = 0;
15 float nh = 1400;
16 float h = nh;
17 float nw = 350;
18 float w = nw;
19 boolean isTS = false;
20 String[] alpha;
21 color[] alphaColors;
22 int selectedColor = 0;
23 PGraphics pgSimulator;
24 int sclValue = 1;
25 GPlot plotFrecuency;
```

```
26 GPlot plotEntropy;
27 GPointsArray gpe;
28 ArrayList<GPointsArray> gpaList = new ArrayList<GPointsArray>();
29
30 java.awt.Font bold16 = new java.awt.Font("Montserrat",
    ↪ java.awt.Font.BOLD, 16);
31 java.awt.Font bold12 = new java.awt.Font("Montserrat",
    ↪ java.awt.Font.BOLD, 12);
32 java.awt.Font plain16 = new java.awt.Font("Montserrat",
    ↪ java.awt.Font.PLAIN, 16);
33 java.awt.Font plain12 = new java.awt.Font("Montserrat",
    ↪ java.awt.Font.PLAIN, 12);
34
35 void settings() {
36     size(280, 490, JAVA2D);
37 }
38
39 GWindow winNewTS = null, winSimulatorCA = null, winColors = null,
    ↪ winStatistics = null, winTSLengthRandom = null;
40 GTextArea txal;
41 GTextField txf1, txf2, txf3, txfw, txfh;
42 GSlider sdr1;
43 GToggleGroup togG1Options, togGSptions;
44 GOption grp1_a, grp1_b, grp1_c, grp1_d;
45 GDropList cdl;
46 GLabel label3color, label1principal;
47 GView viewSimulator;
48 GButton btnSaveImgPNG, btnSaveImgTIFF, btnSaveImgTXT, btnSaveImgJPG;
49 GPanel filePrincipal, saveImg, zoomPanel;
50 GCheckbox cbx1, cbx2;
51
52 void setup() {
53     createGUI();
54 }
55
56 void draw() {
57     background(230, 230, 255);
58     noFill();
59     strokeWeight(2);
60     stroke(197, 206, 232);
61     rect(10, 30, 260, 80);
62     rect(10, 120, 260, 360);
63 }
64
65 void win_newts_draw(PApplet appc, GWinData data) {
```

```
66     appc.background(230, 230, 255);
67 }
68
69 void win_colors_draw(PApplet appc, GWinData data) {
70     appc.background(230, 230, 255);
71 }
72
73 void generateNext() {
74     while (onetime && !ca.finished()) {
75         ca.generate();
76         ca.generatePoints();
77     }
78     onetime = false;
79 }
80
81 void win_simulatorca_draw(PApplet appc, GWinData data) {
82     appc.background(255);
83     if (!ca.finished()) {
84         pg = ca.render();
85     }
86     appc.image(pg, posX, posY, w*(1+zoom), h*(1+zoom));
87 }
88
89 void win_statistics_draw(PApplet appc, GWinData data) {
90     appc.background(255);
91     appc.frameRate(5);
92     float[] legendX = new float[alpha.length - 1];
93     float[] legendY = new float[alpha.length - 1];
94     int lY = 0;
95     for (int i = 0; i < legendX.length; i++) {
96         legendX[i] = 0.07 + 0.05*(i % 20);
97         legendY[i] = 0.92 - 0.05*lY;
98         if (i % 20 == 19) lY++;
99     }
100     gpaList = ca.getGPointsFrecuency();
101     gpe = ca.getGPointsEntropy();
102     if (onetimePlot) {
103         plotFrecuency = new GPlot(appc);
104         plotFrecuency.setPos(0, 0);
105         plotFrecuency.setOuterDim(800, (displayHeight - 80) / 2);
106         plotEntropy = new GPlot(appc);
107         plotEntropy.setPos(0, (displayHeight - 80) / 2);
108         plotEntropy.setOuterDim(800, (displayHeight - 80) / 2);
109         plotFrecuency.setTitleText("Frecuency Chart");
110         plotFrecuency.getXAxis().setAxisLabelText("Time");
```

```
111     plotFrecuency.getYAxis().setAxisLabelText("Frecuency");
112     plotEntropy.setTitleText("Shannon's Entropy Chart");
113     plotEntropy.getXAxis().setAxisLabelText("Time");
114     plotEntropy.getYAxis().setAxisLabelText("Entropy");
115     plotFrecuency.activatePanning();
116     plotFrecuency.activateZooming(1.2f, CENTER, CENTER);
117     plotEntropy.activatePanning();
118     plotEntropy.activateZooming(1.2f, CENTER, CENTER);
119
120     plotEntropy.setPoints(gpe);
121     plotEntropy.setLineColor(alphaColors[0]);
122     plotEntropy.setLineWidth(2);
123     plotFrecuency.setPoints(gpaList.get(1));
124     plotFrecuency.setLineColor(alphaColors[1]);
125     plotFrecuency.setLineWidth(2);
126     for (int i = 2; i < gpaList.size(); i++) {
127         plotFrecuency.addLayer(alpha[i], gpaList.get(i));
128         plotFrecuency.getLayer(alpha[i]).setLineColor(alphaColors[i]);
129         plotFrecuency.getLayer(alpha[i]).setLineWidth(2);
130     }
131     onetimePlot = false;
132 }
133 plotEntropy.setPoints(gpe);
134 plotFrecuency.setPoints(gpaList.get(1));
135 for (int i = 2; i < gpaList.size(); i++) {
136     plotFrecuency.getLayer(alpha[i]).setPoints(gpaList.get(i));
137 }
138 plotFrecuency.beginDraw();
139 plotFrecuency.drawBox();
140 plotFrecuency.drawXAxis();
141 plotFrecuency.drawYAxis();
142 plotFrecuency.drawTitle();
143 plotFrecuency.drawLines();
144 if (cbx2.isSelected())
145     plotFrecuency.drawLegend((new
146         ↪ StringList(alpha)).getSubset(1).array(), legendX, legendY);
146 plotFrecuency.endDraw();
147 plotEntropy.beginDraw();
148 plotEntropy.drawBox();
149 plotEntropy.drawXAxis();
150 plotEntropy.drawYAxis();
151 plotEntropy.drawTitle();
152 plotEntropy.drawLines();
153 plotEntropy.endDraw();
154 }
```

```
155
156 public void SimulatorCAMouse(PApplet appc, GWinData data, MouseEvent
    ↪ event) {
157     switch(event.getAction()) {
158     case MouseEvent.PRESS:
159         if (!toDrag) {
160             dzoomX = appc.mouseX - posX;
161             dzoomY = appc.mouseY - posY;
162             toDrag = true;
163         }
164         break;
165     case MouseEvent.RELEASE:
166         if (toDrag) {
167             toDrag = false;
168         }
169         break;
170     case MouseEvent.WHEEL:
171         float e = event.getCount();
172         if (e > 0 && float(nf(zoom, 0, 1)) < 2) {
173             zoom = zoom + 0.1;
174         }
175         if (e < 0 && float(nf(zoom, 0, 1)) > -0.5) {
176             zoom = zoom - 0.1;
177         }
178         if (posX + w*(1+zoom) < 1.0)
179             posX = appc.width - w*(1+zoom);
180         if (posY + h*(1+zoom) < 1.0)
181             posY = appc.height - h*(1+zoom);
182         break;
183     case MouseEvent.DRAG:
184         if ((appc.mouseY - dzoomY) < 1.0 && (appc.mouseY - dzoomY +
    ↪ h*(1+zoom)) > appc.height) posY = appc.mouseY - dzoomY;
185         else {
186             if ((appc.mouseY - dzoomY) > 1.0)
187                 posY = 0.0;
188             else if (h*(1+zoom) >= appc.height)
189                 posY = appc.height - h*(1+zoom);
190         }
191         if ((appc.mouseX - dzoomX) < 1.0 && (appc.mouseX - dzoomX +
    ↪ w*(1+zoom)) > appc.width) posX = appc.mouseX - dzoomX;
192         else {
193             if ((appc.mouseX - dzoomX) > 1.0)
194                 posX = 0.0;
195             else if (w*(1+zoom) >= appc.width)
196                 posX = appc.width - w*(1+zoom);
```

```
197     }
198     break;
199 }
200 }
201
202 void btnNewTSCallback(GButton source, GEvent event) {
203     if (winNewTS == null) {
204         createNewTSWindow();
205     } else {
206         winNewTS.setVisible(!winNewTS.isVisible());
207         winNewTS = null;
208     }
209 }
210
211 void btnSaveImgCallback(GButton source, GEvent event) {
212     String ext = "";
213     if (source == btnSaveImgPNG) ext = ".png";
214     if (source == btnSaveImgTIFF) ext = ".tiff";
215     if (source == btnSaveImgJPG) ext = ".jpg";
216     String imgPath = G4P.selectOutput("Save image as...", ext, "Image
    ↪ files");
217     if (ca != null && imgPath != null) {
218         if (imgPath.trim().toLowerCase().endsWith(ext))
219             ca.render().save(imgPath);
220         else
221             ca.render().save(imgPath + ext);
222     }
223     saveImg.setCollapsed(true);
224 }
225
226 void btnSaveTextCallback(GButton source, GEvent event) {
227     String imgPath = G4P.selectOutput("Save text as...", ".csv", "CSV
    ↪ files");
228     if (ca != null && imgPath != null) {
229         if (imgPath.trim().toLowerCase().endsWith(".csv"))
230             saveStrings(imgPath, ca.getAllStrings().array());
231         else
232             saveStrings(imgPath + ".csv", ca.getAllStrings().array());
233     }
234     saveImg.setCollapsed(true);
235 }
236
237 void btnLengthRandomCallback(GButton source, GEvent event) {
238     if (winTSLengthRandom == null) {
239         createLengthRandomWindow();
```

```
240     } else {
241         winTSLengthRandom.close();
242         winTSLengthRandom = null;
243     }
244 }
245
246 void btnSimulatorCACallback(GButton source, GEvent event) {
247     if (winSimulatorCA == null) {
248         createSimulatorCAWindow();
249     } else {
250         winSimulatorCA.close();
251     }
252 }
253
254 void closeSimulatorCACallback(GWindow window) {
255     winSimulatorCA = null;
256     onetime = false;
257     println("Simulator closed");
258 }
259
260 void closeStatisticsCallback(GWindow window) {
261     winStatistics = null;
262     onetimePlot = true;
263     println("Statistics closed");
264 }
265
266 void closeRandomTSCallback(GWindow window) {
267     winTSLengthRandom = null;
268 }
269
270 void btnStatisticsCallback(GButton source, GEvent event) {
271     if (winStatistics == null) {
272         createStatisticsWindow();
273     } else {
274         winStatistics.close();
275     }
276 }
277
278 void btnColorsCallback(GButton source, GEvent event) {
279     if (winColors == null) {
280         createColorsWindow();
281     } else {
282         winColors.setVisible(!winColors.isVisible());
283         winColors = null;
284     }
}
```

```
285 }
286
287 GTS makeTagSystem(String[] eb, int p, String[] rs) {
288     printArray(eb);
289     printArray(rs);
290     GTS gts = new GTS(p, eb);
291     for (int i = 0; i < eb.length; i++) {
292         gts.setAppendat(0, i, rs[i]);
293     }
294     gts.convertToCA();
295     println(gts.getRulesString());
296     return gts;
297 }
298
299 void createTS(GButton source, GEvent event) {
300     String prodRulesStr = txa1.getText().replace(" ", "");
301     println(prodRulesStr);
302     int p = int(txf1.getText().trim());
303     println(p);
304     if (prodRulesStr != "" && p != 0) {
305         String[] rs = prodRulesStr.split(",");
306         StringList sigma = new StringList();
307         StringList appendants = new StringList();
308         StringList prodRulesList = new StringList();
309         for (int i = 0; i < rs.length; i++) {
310             prodRulesList.append(rs[i].trim());
311             String[] rn = rs[i].split("->");
312             sigma.append(rn[0].trim());
313             if (rn.length > 1)
314                 appendants.append(rn[1].trim());
315             else
316                 appendants.append("");
317         }
318         pg = null;
319         ca = null;
320         gts = makeTagSystem(sigma.array(), p, appendants.array());
321         gts.setRules(prodRulesList);
322         ca = new CA(gts.getCARules(), gts.getCAAlpha());
323         String tsMsg = "TS: R=" + appendants.array().length + " P=" + p;
324         String caMsg = "CA: R=" + gts.getCARules().size() + " Sigma=" +
            ↪ gts.getCAAlpha().size();
325         StringBuilder s = new StringBuilder();
326         s.append(tsMsg + "\n");
327         s.append(caMsg);
328         label1principal.setText(s.toString());
```

```
329     println(s.toString());
330     label1principal.setTextBold();
331     ca.setETS(gts.getSymbols());
332     alpha = ca.getAlpha();
333     float diff = 1.0 / float(alpha.length);
334     IntList alphaColorList = new IntList();
335     for (int i = 0; i < alpha.length; i++) {
336         alphaColorList.append(lerpColor(color(int(random(255))),
337             ↪ int(random(255)), int(random(255))), color(int(random(255))),
338             ↪ int(random(255)), int(random(255))), i*diff));
339     }
340     alphaColors = alphaColorList.array();
341     ca.setAlphaColors(alphaColorList.array());
342     isTS = true;
343     winNewTS.setVisible(false);
344     winNewTS = null;
345 } else {
346     G4P.showMessage(this, "Please, enter the production rules and
347     ↪ deletion number P", "Data missed", G4P.ERROR_MESSAGE);
348 }
349 }
350
351 void createNewTSWindow() {
352     winNewTS = GWindow.getWindow(this, "New", 50, 50, 300, 290, JAVA2D);
353     winNewTS.setActionOnClose(G4P.HIDE_WINDOW);
354     winNewTS.addDrawHandler(this, "win_newts_draw");
355     GLabel label1 = new GLabel(winNewTS, 10, 10, 280, 40);
356     label1.setTextAlign(GAlign.LEFT, GAlign.MIDDLE);
357     label1.setText("Enter the production rules and deletion number P, then
358     ↪ clic on Create.");
359     label1.setOpaque(false);
360     label1.setFont(new java.awt.Font("Montserrat", java.awt.Font.PLAIN,
361     ↪ 12));
362     txal = new GTextArea(winNewTS, 10, 60, 280, 160);
363     txal.setPromptText("Production rules* (ej. 0->01, 1->b0)");
364     txal.setText("");
365     txfl = new GTextField(winNewTS, 10, 230, 140, 20);
366     txfl.setPromptText("Deletion number P*");
367     txfl.setText("");
368     GButton submit = new GButton(winNewTS, 200, 260, 90, 20);
369     submit.setText("Create");
370     submit.addEventHandler(this, "createTS");
371     filePrincipal.setCollapsed(true);
372 }
373
374 }
```

```
369 void createLengthRandomWindow() {
370     if (isTS) {
371         winTSLengthRandom = GWindow.getWindow(this, "Length of String", 50,
372             ↪ 50, 200, 120, JAVA2D);
373         winTSLengthRandom.setActionOnClose(G4P.CLOSE_WINDOW);
374         winTSLengthRandom.addDrawHandler(this, "win_newts_draw");
375         winTSLengthRandom.addOnCloseHandler(this, "closeRandomTSCallback");
376         GLabel label1 = new GLabel(winTSLengthRandom, 10, 10, 180, 40);
377         label1.setTextAlign(GAlign.LEFT, GAlign.MIDDLE);
378         label1.setText("Enter a length for the random TS string:");
379         label1.setOpaque(false);
380         label1.setFont(new java.awt.Font("Montserrat", java.awt.Font.PLAIN,
381             ↪ 12));
382         tx3 = new GTextField(winTSLengthRandom, 10, 60, 180, 20);
383         tx3.setPromptText("Length*");
384         tx3.setText("");
385         GButton submit = new GButton(winTSLengthRandom, 100, 90, 90, 20);
386         submit.setText("OK");
387         submit.addEventHandler(this, "generateRandomStringTS");
388     } else {
389         G4P.showMessage(this, "There is not a cellular automata, create new
390             ↪ or open some one in File", "Cellular automata missed",
391             ↪ G4P.ERROR_MESSAGE);
392     }
393 }
394
395 public void handleColorChooser(GButton button, GEvent event) {
396     alphaColors[selectedColor] = G4P.selectColor();
397     ca.setAlphaColors(alphaColors);
398     pg = ca.render();
399     pg1.beginDraw();
400     pg1.background(alphaColors[selectedColor]);
401     pg1.endDraw();
402 }
403
404 public void handleColorChooserStroke(GButton button, GEvent event) {
405     color colorStroke = G4P.selectColor();
406     ca.setColorStroke(colorStroke);
407     pg = ca.render();
408     pg12.beginDraw();
409     pg12.background(colorStroke);
410     pg12.endDraw();
411 }
412
413 void btnColorsRandomizeCallback(GButton source, GEvent event) {
```

```
410 float diff = 1.0 / float(alpha.length);
411 IntList alphaColorList = new IntList();
412 for (int i = 0; i < alpha.length; i++) {
413     alphaColorList.append(lerpColor(color(int(random(255))),
414     ↪ int(random(255)), int(random(255))), color(int(random(255))),
415     ↪ int(random(255)), int(random(255))), i*diff));
414 }
415 alphaColors = alphaColorList.array();
416 ca.setAlphaColors(alphaColorList.array());
417 pg1.beginDraw();
418 pg1.background(alphaColors[selectedColor]);
419 pg1.endDraw();
420 pg = ca.render();
421 }
422
423 void btnColorsOkCallback(GButton source, GEvent event) {
424     winColors.close();
425     winColors = null;
426 }
427
428 void alphaChooser(GDropList droplist, GEvent event) {
429     selectedColor = cdl.getSelectedIndex();
430     label3color.setText(alpha[selectedColor]);
431     label3color.setTextBold();
432     pg1.beginDraw();
433     pg1.background(alphaColors[selectedColor]);
434     pg1.endDraw();
435 }
436
437 void createColorsWindow() {
438     if (isTS) {
439         winColors = GWindow.getWindow(this, "Colors", 50, 50, 240, 250,
440         ↪ JAVA2D);
441         winColors.setActionOnClose(G4P.CLOSE_WINDOW);
442         winColors.addDrawHandler(this, "win_colors_draw");
443         GLabel label1 = new GLabel(winColors, 10, 10, 220, 40);
444         label1.setTextAlign(GAlign.LEFT, GAlign.MIDDLE);
445         label1.setText("Select a symbol and clic in Change to change its
446         ↪ color.");
447         label1.setOpaque(false);
448         label1.setFont(plain12);
449         GLabel label2 = new GLabel(winColors, 10, 50, 220, 20);
450         label2.setTextAlign(GAlign.LEFT, GAlign.MIDDLE);
451         label2.setText("Symbols");
452         label2.setOpaque(false);
```

```
451     label2.setFont(bold12);
452     label2.setTextBold();
453     cdl = new GDropList(winColors, 10, 70, 100, 140, 6, 15);
454     cdl.setItems(alpha, 0);
455     cdl.setLocalColorScheme(5);
456     cdl.addEventHandler(this, "alphaChooser");
457     GButton btnColor = new GButton(winColors, 120, 70, 70, 20, "Change");
458     btnColor.addEventHandler(this, "handleColorChooser");
459     GView view = new GView(winColors, 10, 100, 220, 20, JAVA2D);
460     label3color = new GLabel(winColors, 10, 100, 220, 20);
461     label3color.setTextAlign(GAlign.CENTER, GAlign.MIDDLE);
462     selectedColor = 0;
463     label3color.setText(alpha[selectedColor]);
464     label3color.setOpaque(false);
465     label3color.setFont(bold12);
466     label3color.setTextBold();
467     pg1 = view.getGraphics();
468     pg1.beginDraw();
469     pg1.background(alphaColors[selectedColor]);
470     pg1.endDraw();
471
472     GLabel label3stroke = new GLabel(winColors, 10, 130, 220, 20);
473     label3stroke.setTextAlign(GAlign.CENTER, GAlign.MIDDLE);
474     label3stroke.setText("Borders");
475     label3stroke.setOpaque(false);
476     label3stroke.setFont(bold12);
477     label3stroke.setTextBold();
478     GButton btnColorStroke = new GButton(winColors, 160, 160, 70, 20,
479     ↪ "Change");
480     btnColorStroke.addEventHandler(this, "handleColorChooserStroke");
481     GView viewStroke = new GView(winColors, 10, 160, 140, 20, JAVA2D);
482     pg12 = viewStroke.getGraphics();
483     pg12.beginDraw();
484     pg12.background(ca.getColorStroke());
485     pg12.endDraw();
486
487     GButton randomize = new GButton(winColors, 50, 190, 140, 20);
488     randomize.setText("Randomize colors");
489     randomize.addEventHandler(this, "btnColorsRandomizeCallback");
490
491     GButton submit = new GButton(winColors, 75, 220, 90, 20);
492     submit.setText("OK");
493     submit.addEventHandler(this, "btnColorsOkCallback");
494 } else {
```

```
494     G4P.showMessage(this, "There is not a cellular automata, create new
    ↪ or open some one in File", "Cellular automata missed",
    ↪ G4P.ERROR_MESSAGE);
495 }
496 }
497
498 void createSimulatorCAWindow() {
499     if (isTS) {
500         if (txf2.getText() != "") {
501             nh = float(txfh.getText());
502             nw = float(txfw.getText());
503             println(nh);
504             println(nw);
505             winSimulatorCA = GWindow.getWindow(this, "SimulatorCA", 280, 0,
    ↪ displayWidth/2 - 280, displayHeight - 60, JAVA2D);
506             winSimulatorCA.setActionOnClose(G4P.CLOSE_WINDOW);
507             winSimulatorCA.performCloseAction();
508             h = nh*sdr1.getValueI();
509             w = nw*sdr1.getValueI();
510             ca.setScale(sdr1.getValueI());
511             ca.initialize(txf2.getText(), int(nw), int(nh));
512             ca.setOnlyTS(cbx1.isSelected());
513             posX = 0;
514             posY = 0;
515             dzoomX = 0;
516             dzoomY = 0;
517             zoom = 0;
518             onetime = true;
519             thread("generateNext");
520             println("Init Simulator");
521             winSimulatorCA.addDrawHandler(this, "win_simulatorca_draw");
522             winSimulatorCA.addMouseListener(this, "SimulatorCAMouse");
523             winSimulatorCA.addOnCloseHandler(this, "closeSimulatorCACallback");
524         } else {
525             G4P.showMessage(this, "Enter a initial string or generate a random
    ↪ initial string", "Initial string missed", G4P.ERROR_MESSAGE);
526         }
527     } else {
528         G4P.showMessage(this, "There is not a cellular automata, create new
    ↪ or open some one in File", "Cellular automata missed",
    ↪ G4P.ERROR_MESSAGE);
529     }
530 }
531
532 void createStatisticsWindow() {
```

```
533     if (isTS) {
534         if (txf2.getText() != "") {
535             winStatistics = GWindow.getWindow(this, "Statistics", 280, 0, 800,
                    ↪ displayHeight - 60, JAVA2D);
536             winStatistics.setActionOnClose(G4P.CLOSE_WINDOW);
537             cbx2 = new GCheckbox(winStatistics, 10, 0, 160, 20, "Show Legend");
538             cbx2.setSelected(false);
539             onetimePlot = true;
540             winStatistics.addDrawHandler(this, "win_statistics_draw");
541             winStatistics.addOnCloseHandler(this, "closeStatisticsCallback");
542         } else {
543             G4P.showMessage(this, "Enter a initial string or generate a random
                    ↪ initial string", "Initial string missed", G4P.ERROR_MESSAGE);
544         }
545     } else {
546         G4P.showMessage(this, "There is not a cellular automata, create new
                    ↪ or open some one in File", "Cellular automata missed",
                    ↪ G4P.ERROR_MESSAGE);
547     }
548 }
549
550 public void sdr1CallBack(GSlider slider, GEvent event) {
551     if (ca != null && event.getType().trim().equals("RELEASED") &&
                    ↪ sclValue != sdr1.getValueI()) {
552         ca.setScale(sdr1.getValueI());
553         h = nh*sdr1.getValueI();
554         w = nw*sdr1.getValueI();
555         sclValue = sdr1.getValueI();
556         pg = ca.render();
557     }
558 }
559
560 public void handleToggleControlEvents(GOption option, GEvent event) {
561     if (ca != null) {
562         if (grp1_a.isSelected())
563             ca.setShowStroke(true);
564         if (grp1_b.isSelected())
565             ca.setShowStroke(false);
566         pg = ca.render();
567     }
568 }
569
570 void saveJSON(GButton button, GEvent event) {
571     JSONObject newJSON = new JSONObject();
572     JSONObject tsJSON = new JSONObject();
```

```
573     JSONObject caJSON = new JSONObject();
574     tsJSON.setInt("P", gts.p);
575
576     JSONArray tsSigma = new JSONArray();
577     for (int i = 0; i < gts.getSymbols().length; i++)
578         tsSigma.setString(i, gts.getSymbols()[i]);
579     tsJSON.setJSONArray("Sigma", tsSigma);
580
581     JSONArray tsRules = new JSONArray();
582     for (int i = 0; i < gts.getRules().size(); i++)
583         tsRules.setString(i, gts.getRules().get(i));
584     tsJSON.setJSONArray("Rules", tsRules);
585
586     JSONArray caSigma = new JSONArray();
587     for (int i = 0; i < ca.getAlpha().length; i++)
588         caSigma.setString(i, ca.getAlpha()[i]);
589     caJSON.setJSONArray("Sigma", caSigma);
590
591     JSONArray caColors = new JSONArray();
592     for (int i = 0; i < alphaColors.length; i++)
593         caColors.setInt(i, alphaColors[i]);
594     caJSON.setJSONArray("Colors", caColors);
595
596     JSONArray caRules = new JSONArray();
597     for (int i = 0; i < gts.getCARules().size(); i++)
598         caRules.setString(i, gts.getCARules().get(i));
599     caJSON.setJSONArray("Rules", caRules);
600
601     newJSON.setJSONObject("ts", tsJSON);
602     newJSON.setJSONObject("ca", caJSON);
603     String pathName = G4P.selectOutput("Save as JSON...", ".json", "JSON
604     ↪ Files");
605     if (pathName != null) {
606         if (pathName.trim().toLowerCase().endsWith(".json"))
607             saveJSONObject(newJSON, pathName);
608         else
609             saveJSONObject(newJSON, pathName + ".json");
610     }
611     filePrincipal.setCollapsed(true);
612 }
613
614 void openJSON(GButton button, GEvent event) {
615     JSONObject newJSON = new JSONObject();
616     JSONObject tsJSON = new JSONObject();
617     JSONObject caJSON = new JSONObject();
```

```
617
618 String pathName = G4P.selectInput("Open JSON...", ".json", "JSON
    ↪ Files");
619
620 if (pathName != null) {
621     if (ca != null) ca.reset();
622
623     if (pathName.trim().endsWith(".json")) {
624         newJSON = loadJSONObject(pathName);
625
626         if (!newJSON.isNull("ts") && !newJSON.isNull("ca")) {
627             tsJSON = newJSON.getJSONObject("ts");
628
629             if (winSimulatorCA != null) {
630                 winSimulatorCA.close();
631                 winSimulatorCA = null;
632             }
633
634             if (winNewTS != null) {
635                 winNewTS.close();
636                 winNewTS = null;
637             }
638
639             if (winColors != null) {
640                 winColors.close();
641                 winColors = null;
642             }
643
644             if (winStatistics != null) {
645                 winStatistics.close();
646                 winStatistics = null;
647             }
648
649             onetime = true;
650
651             int p = tsJSON.getInt("P");
652
653             JSONArray tsSigma = new JSONArray();
654             tsSigma = tsJSON.getJSONArray("Sigma");
655
656             JSONArray tsRules = new JSONArray();
657             tsRules = tsJSON.getJSONArray("Rules");
658
659             String[] rs = tsRules.getStringArray();
660             StringList appendants = new StringList();
```

```
661     StringList prodRulesList = new StringList();
662
663     for (int i = 0; i < rs.length; i++) {
664         prodRulesList.append(rs[i].trim());
665         String[] rn = rs[i].split("->");
666         if (rn.length > 1)
667             appendants.append(rn[1].trim());
668         else
669             appendants.append("");
670     }
671     pg = null;
672     ca = null;
673     gts = makeTagSystem(tsSigma.getStringArray(), p,
674         ↪ appendants.array());
675     gts.setRules(prodRulesList);
676
677     caJSON = newJSON.getJSONObject("ca");
678
679     JSONArray caSigma = new JSONArray();
680     caSigma = caJSON.getJSONArray("Sigma");
681
682     JSONArray caRules = new JSONArray();
683     caRules = caJSON.getJSONArray("Rules");
684
685     JSONArray caColors = new JSONArray();
686     caColors = caJSON.getJSONArray("Colors");
687
688     ca = new CA(new StringList(caRules.getStringArray()), new
689         ↪ StringList(caSigma.getStringArray()));
690     String tsMsg = "TS: R=" + appendants.array().length + " P=" + p;
691     String caMsg = "CA: R=" + gts.getCARules().size() + " Sigma=" +
692         ↪ gts.getCAAlpha().size();
693     StringBuilder s = new StringBuilder();
694     s.append(tsMsg + "\n");
695     s.append(caMsg);
696     label1principal.setText(s.toString());
697     println(s.toString());
698     label1principal.setTextBold();
699     ca.setETS(gts.getSymbols());
700     alpha = ca.getAlpha();
701     alphaColors = caColors.getIntArray();
702     ca.setAlphaColors(alphaColors);
703     isTS = true;
704 } else {
```

```
702     G4P.showMessage(this, "This JSON file doesn't have required
       ↪ fields.", "No Data in JSON", G4P.ERROR_MESSAGE);
703     }
704     } else {
705     G4P.showMessage(this, "File type not supported.", "JSON missed",
       ↪ G4P.ERROR_MESSAGE);
706     }
707     }
708     filePrincipal.setCollapsed(true);
709 }
710
711 void generateRandomStringTS(GButton button, GEvent event) {
712     gts.setRandomLen(int(txf3.getText()));
713     txf2.setText(gts.randomInitialString());
714     winTSLengthRandom.close();
715     winTSLengthRandom = null;
716 }
717
718 void generateRandomStringCA(GButton button, GEvent event) {
719     nh = float(txfh.getText());
720     nw = float(txfw.getText());
721     ca.initialize(txf2.getText(), int(nw), int(nh));
722     txf2.setText(ca.randomInitialString());
723 }
724
725 void btnZoomCallback(GButton button, GEvent event) {
726     zoom = float(button.tag)/100;
727     zoomPanel.setCollapsed(true);
728 }
729
730 void createGUI() {
731     G4P.messagesEnabled(false);
732     G4P.setGlobalColorScheme(GCScheme.BLUE_SCHEME);
733     G4P.setMouseOverEnabled(false);
734     G4P.setDisplayFont("Montserrat", G4P.BOLD, 12);
735     surface.setTitle("GTS2CA 1.0");
736     surface.setLocation(0, 0);
737
738     GButton.useRoundCorners(false);
739
740     filePrincipal = new GPanel(this, 0, 0, 35, 20);
741     filePrincipal.setText("File    ...");
742     filePrincipal.setCollapsed(true);
743     filePrincipal.setDraggable(false);
744     GButton btnOpenTswindow = new GButton(this, 0, 20, 60, 20);
```

```
745 btnOpenTswindow.setText("Open");
746 btnOpenTswindow.addEventHandler(this, "openJSON");
747 GButton btnNewTswindow = new GButton(this, 0, 40, 60, 20);
748 btnNewTswindow.setText("New");
749 btnNewTswindow.addEventHandler(this, "btnNewTSCallback");
750 GButton btnSaveTswindow = new GButton(this, 0, 60, 60, 20);
751 btnSaveTswindow.setText("Save");
752 btnSaveTswindow.addEventHandler(this, "saveJSON");
753 filePrincipal.addControl(btnNewTswindow);
754 filePrincipal.addControl(btnSaveTswindow);
755 filePrincipal.addControl(btnOpenTswindow);
756
757 saveImg = new GPanel(this, 36, 0, 50, 20);
758 saveImg.setText("Export    ...");
759 saveImg.setCollapsed(true);
760 saveImg.setDraggable(false);
761 btnSaveImgPNG = new GButton(this, 0, 20, 100, 20);
762 btnSaveImgPNG.setText("PNG Image");
763 btnSaveImgPNG.addEventHandler(this, "btnSaveImgCallback");
764 btnSaveImgJPG = new GButton(this, 0, 40, 100, 20);
765 btnSaveImgJPG.setText("JPG Image");
766 btnSaveImgJPG.addEventHandler(this, "btnSaveImgCallback");
767 btnSaveImgTIFF = new GButton(this, 0, 60, 100, 20);
768 btnSaveImgTIFF.setText("TIFF Image");
769 btnSaveImgTIFF.addEventHandler(this, "btnSaveImgCallback");
770 btnSaveImgTXT = new GButton(this, 0, 80, 100, 20);
771 btnSaveImgTXT.setText("Text");
772 btnSaveImgTXT.addEventHandler(this, "btnSaveTextCallback");
773 saveImg.addControl(btnSaveImgPNG);
774 saveImg.addControl(btnSaveImgJPG);
775 saveImg.addControl(btnSaveImgTIFF);
776 saveImg.addControl(btnSaveImgTXT);
777
778 zoomPanel = new GPanel(this, 87, 0, 45, 20);
779 zoomPanel.setText("Zoom    ...");
780 zoomPanel.setCollapsed(true);
781 zoomPanel.setDraggable(false);
782
783 GButton[] btnZoom = new GButton[7];
784 for (int i = 0; i < 7; i++) {
785     btnZoom[i] = new GButton(this, 0, 20 + i*20, 45, 20);
786     btnZoom[i].setText(str(50 + i*25) + "%");
787     btnZoom[i].addEventHandler(this, "btnZoomCallback");
788     btnZoom[i].tag = str(-50 + i*25);
789     zoomPanel.addControl(btnZoom[i]);
```

```
790     }
791
792     label1principal = new GLabel(this, 20, 40, 240, 60);
793     label1principal.setTextAlign(GAlign.CENTER, GAlign.MIDDLE);
794     label1principal.setText("There is not a Tag System, press File to enter
795     ↪ a Tag System");
796     label1principal.setFont(plain16);
797
798     GLabel label21 = new GLabel(this, 20, 130, 100, 20);
799     label21.setTextAlign(GAlign.LEFT, GAlign.MIDDLE);
800     label21.setText("Simulation");
801     label21.setOpaque(false);
802     label21.setTextBold();
803
804     tx2 = new GTextField(this, 20, 160, 240, 20);
805     tx2.setPromptText("Initial String");
806     tx2.setText("");
807
808     GButton btnRandomTS = new GButton(this, 20, 190, 115, 20);
809     btnRandomTS.setText("Random TS Str");
810     btnRandomTS.addEventHandler(this, "btnLengthRandomCallback");
811
812     GButton btnRandomCA = new GButton(this, 145, 190, 115, 20);
813     btnRandomCA.setText("Random CA Str");
814     btnRandomCA.addEventHandler(this, "generateRandomStringCA");
815
816     int l2sx = 20, l2sy = 220;
817     GLabel label2 = new GLabel(this, l2sx, l2sy, 70, 20);
818     label2.setTextAlign(GAlign.LEFT, GAlign.MIDDLE);
819     label2.setText("Scale");
820     label2.setOpaque(false);
821
822     sdr1 = new GSlider(this, l2sx, l2sy, 140, 80, 10);
823     sdr1.setLimits(2, 1, 10);
824     sdr1.setLocalColorScheme(6);
825     sdr1.setOpaque(false);
826     sdr1.setNbrTicks(10);
827     sdr1.setShowLimits(true);
828     sdr1.setShowValue(true);
829     sdr1.setShowTicks(true);
830     sdr1.setStickToTicks(true);
831     sdr1.setEasing(10);
832     sdr1.setRotation(0.0, GControlMode.CENTER);
833     sdr1.addEventHandler(this, "sdr1CallBack");
```

```
834     int l3tx = 180, l3ty = 220;
835     GLabel label3 = new GLabel(this, l3tx, l3ty, 70, 20);
836     label3.setTextAlign(GAlign.LEFT, GAlign.MIDDLE);
837     label3.setText("Borders");
838     label3.setOpaque(false);
839
840     togG1Options = new GToggleGroup();
841     grp1_a = new GOption(this, l3tx, l3ty + 20, 120, 20);
842     grp1_a.setTextAlign(GAlign.LEFT, GAlign.MIDDLE);
843     grp1_a.setText("Yes");
844     grp1_a.addEventHandler(this, "handleToggleControlEvents");
845     grp1_b = new GOption(this, l3tx, l3ty + 40, 120, 20);
846     grp1_b.setTextAlign(GAlign.LEFT, GAlign.MIDDLE);
847     grp1_b.setText("No");
848     grp1_b.addEventHandler(this, "handleToggleControlEvents");
849     togG1Options.addControl(grp1_a);
850     togG1Options.addControl(grp1_b);
851     grp1_b.setSelected(true);
852
853     GLabel label4 = new GLabel(this, 20, 300, 50, 20);
854     label4.setTextAlign(GAlign.LEFT, GAlign.MIDDLE);
855     label4.setText("Cells:");
856     label4.setOpaque(false);
857     txfw = new GTextField(this, 70, 300, 110, 20);
858     txfw.setPromptText("No. of Cells");
859     txfw.setText("300");
860
861     GLabel label5 = new GLabel(this, 20, 330, 90, 20);
862     label5.setTextAlign(GAlign.LEFT, GAlign.MIDDLE);
863     label5.setText("Evolutions:");
864     label5.setOpaque(false);
865     txfh = new GTextField(this, 105, 330, 140, 20);
866     txfh.setPromptText("No. of Evolutions");
867     txfh.setText("1000");
868
869     cbx1 = new GCheckbox(this, 20, 360, 180, 18, "Only TS Alphabet
870     ↪ Strings");
871     cbx1.setSelected(false);
872
873     GButton btnColors = new GButton(this, 70, 390, 140, 20);
874     btnColors.setText("Colors Setup");
875     btnColors.addEventHandler(this, "btnColorsCallback");
876
877     GButton btnStatistics = new GButton(this, 80, 420, 120, 20);
878     btnStatistics.setText("See Stats");
```

```
878     btnStatistics.addEventHandler(this, "btnStatisticsCallback");
879
880     GButton btnSimulatorCA = new GButton(this, 80, 450, 120, 20);
881     btnSimulatorCA.setText("Run Simulation");
882     btnSimulatorCA.addEventHandler(this, "btnSimulatorCACallback");
883 }
```